

524
042 /2



საქართველოს სსრ მეცნიერებათა აკადემიის

გ მ ა გ ვ ი

ტომ III № 10

СООБЩЕНИЯ

АКАДЕМИИ НАУК ГРУЗИНСКОЙ ССР

ТОМ III № 10

BULLETIN

OF THE ACADEMY OF SCIENCES OF THE GEORGIAN SSR

Vol. III No 10

0809000 1942 ТБИЛИСИ
TBILISSI

მისამართის დაფუძნების საკითხები—СОДЕРЖАНИЕ—CONTENTS

მათემატიკის დაფუძნების საკითხები—ВОПРОСЫ ОБОСНОВАНИЯ МАТЕМАТИКИ— PROBLEMS OF THE FOUNDATION OF MATHEMATICS

Л. Е. Хвистек. Об аксиоме Цермело и ее роли в современной литературе	981
*Л. ბისი ბეგი. ცერმელოს აქსიომა და მისი როლი თანამდებოვე პასუმატიკაში	984
*L. Chwistek. Sur l'axiome de Zermelo et son rôle dans les mathématiques contemporaines.	985
Н. И. Мусхелишвили. Системы сингулярных интегральных уравнений с ядрами типа Каши.	987
*Б. ზუსნელი ზვილი. ზონგულარულ ინტეგრალურ განტოლებათა სისტემები კოშის ტიპის გულებით.	994
George Chogoshvili. Behaviour of some topological invariants on level surfaces 995	
*გომარგი ჭოლოშვილი. ზოგ ტოპოლოგიურ ინვარიანტთა ქცევისათვის დონის ფართულებები.	998
III. E. Микеладзе. Формулы квадратур с разностями	1001
*შ. შიგელაძე. მექანიკური კვადრატურების ფორმულები სხვაობებით	1003

მისამართის ფიზიკა—ФИЗИКА—PHYSICS

Ю. А. Сикорский. Зависимость диэлектрических потерь от характера электропроводности кристаллов.	1005
*ი. სიკორსკი. დეფლექტორიული დანაკარგების დამოკიდებულება კრისტალების ელექტროგამტარებლობის ხასათისაგან	1010

მათემატიკა—ГЕОФИЗИКА—GEOPHYSICS

Е. И. Бюс. О предвестниках землетрясения по наблюдениям Мольденгауза на реке Катерининского источника в Боржоми.	1013
*ე. ბუსი. მიწისძვრის წინასწარმატებელი ნიშნების შესახებ მოლდენგაურის მიერ ბორჯომის (გვარერინის) მინერალური წყაროს რეკომენდაციების დაკვირვებათ მიუღებით	1016
*E. Büs. On the «precursors» of earthquakes according to Moldenhauer's observations on the Catherine-Spring in Borjomi (Georgia)	1016

მისამართის ტექნიკა—ТЕХНИКА—TECHNICS

А. Г. Назаров и К. М. Хуберян. К расчету каркасов маскировочных сетей	1019
*ა. ნაზაროვი და კ. ხუბერიანი. შემნიღბავი კარკასის ბალის სტატიური ანგარიშის შისათვები	1025

მისამართის ქიმია—CHEMISTRY

Р. И. Аглазе. Возникновение гальванических пар при электролизе $MnSO_4$	1027
*რ. აგლაძე. მეტალური მანგანიუმის ელექტროლიზით მოქების დროს ნორმალური პროცესის დარღვევის მიხედვის ანალიზი	1032

*ვარსკვლავით აღნიშნული სათაური გეუთების წინა ჭერილის რეზუმეს ან თარგმანს.

*Заглавие, отмеченное звездочкой, относится к рецензии или к переводу предшествующей статьи.

*A title marked with an asterisk applies to a summary or translation of the preceding article.

ВОПРОСЫ ОБОСНОВАНИЯ МАТЕМАТИКИ

Л. Б. ХВИСТЕК

ОБ АКСИОМЕ ЦЕРМЕЛО И ЕЕ РОЛИ В СОВРЕМЕННОЙ
МАТЕМАТИКЕ

Одним из самых главных вопросов в области обоснования современной математики является вопрос относительно так называемой аксиомы Цермело. По этой аксиоме любому множеству множеств соответствует множество элементов выбранных по одному из этих множеств. Но мы не имеем вообще способа для построения этого множества ресурсами классической теории множеств и не можем рассчитывать, что когда-либо это можно будет сделать. Это положение беспокоит математиков с самого начала формулировки аксиомы Цермело. Вопросы, неразрешимые с помощью ресурсов данной системы, были и раньше но существования неконструируемых предметов никто открыто не признавал, хотя ими и пользовались.

Где-то доказано, что неразрешимые вопросы встречаются и в арифметике натуральных чисел. Но они не имеют ничего общего с неконструируемостью.

Заметим, что теория множеств без аксиомы Цермело допускает, как это доказано применением метода Скolem'a, такую интерпретацию, из которой вытекает, что все ее элементы конструируемы. Это очень интересно, потому что в этой теории есть несчетные множества.

Пусть C будет система, в которой конструируемость точно определена. Мы примем следующую интерпретацию теорем этой системы. Мы будем говорить не о каких-либо множествах, а лишь о множествах конструируемых в системе C . Тогда наш континuum будет счетным множеством, но все-таки он будет счетным вне системы C . В самой системе C он будет несчетным, потому что мы можем доказать в системе C отсутствие эквивалентности между совокупностями действительных и натуральных чисел. С точки зрения нашей интерпретации это отсутствие относится, конечно, к эквивалентностям, конструируемым в системе C и, таким образом, нет никакого противоречия.

В случае же принятия аксиомы Цермело мы должны признать существование отношений, не конструируемых в системе C , как это следует из

независимости аксиомы Цермело от других аксиом теории множеств. Эта независимость доказана иерусалимским профессором А. Френкелем.

Получается, что признание аксиомы Цермело в области классической теории множеств может привести к идеалистической точке зрения. С другой стороны, если мы полностью отвергнем аксиому Цермело, получится какая-то жалкая математика, в которой даже некоторые основные теоремы анализа не найдут места. Так мы, например, никогда не докажем эквивалентности определений непрерывности по Коши и Гейне и т. д. Вместе с тем, многие интересные теории, вытекающие из аксиомы Цермело, надо будет совершенно отбросить. Это, конечно, невозможно и нам надо искать выхода из этого положения.

Вышеуказанные трудности довели Гильберта до крайнего формализма. Но он не опустил рук перед трудностями и поставил вопрос о доказательстве непротиворечивости соответствующей теории. Чтобы решить этот вопрос, надо было пользоваться интуитивным подходом к математическим выражениям. С этим была связана новая область математики, так называемая метаматематика. Гильберту и его школе не удалось решить поставленной задачи при помощи элементарных средств, которыми хотели пользоваться. Эта задача решена Гёдлем при помощи вспомогательной модели, в которой мы можем доказать аксиому Цермело. Но работа Гёделя предполагает существование множества порядковых чисел, которое включает неконструируемые элементы.

Все-таки мы теперь знаем, что теория множеств с аксиомой Цермело непротиворечива, если непротиворечива модель Гёделя, но так как эта модель построена с помощью множества неконструируемых множеств, мы можем сомневаться относительно непротиворечивости этой модели. С другой стороны, отсутствие противоречия не решает нашего вопроса. Мы можем строить сколько угодно непротиворечивых теорий, которые не только не приближают нас к познанию действительности, но прямо мешают этому познанию. Это верно и в области теории множеств.

Следуя Уайтхеду и Расселю, мы предположим существование некоторых элементарных предметов, т. н. индивидуумов. Мы будем строить множества индивидуумов, множества этих множеств и т. д. Пользуясь аксиомами Уайтхеда и Расселя, мы можем доказать, что индивидуумы существуют, но ничего больше. Но, чтобы получить арифметику целых чисел, нам понадобится какая-либо дополнительная гипотеза. По Уайтхеду и Расселю, кардинальное число есть множество множеств, между которыми существует взаимно однозначное соответствие. Это определение снабжает нас числом 0 и числом 1, но если наши числа представляют множества множеств индивидуумов, мы не можем доказать, что 2 не есть нулевое множество. Будем называть рекурсивным такое множество, которое содержит 0, а также содержит $n+1$, если оно содержит n .

Общая часть всех рекурсивных множеств является множеством индуктивных чисел. Эти числа соответствуют натуральным числам. Но, чтобы получить бесконечность индуктивных чисел, Уайтхед и Рассель принимают т. н. аксиому бесконечности, по которой пустое множество не может являться индуктивным числом.

Если мы будем пользоваться этой аксиомой, мы докажем существование множеств индивидуумов типа

$$\alpha \text{ и } V - \alpha,$$

где α есть индуктивное множество, а V —множество всех индивидуумов. Но никаких других множеств индивидуумов мы не получим. В таком случае мы можем принять дополнительную аксиому, по которой все множества индивидуумов принадлежат одному из вышеуказанных типов. На основе этой аксиомы мы можем построить арифметику конечных целых чисел, пользуясь схемой

$$\sum_{i=1}^n a_i V^i,$$

где a_i —индуктивные положительные или отрицательные числа, a_n —положительное число, n —индуктивное положительное число, V —кардинальное число множества V .

Эта арифметика является расширением арифметики натуральных чисел, аналогично расширению евклидовой геометрии геометрией Лобачевского. Но мы знаем, что из существования неевклидовых геометрий следует несамостоятельность геометрии в греческом смысле, которая в действительности является каким-то родом интерпретации математических формул. Таким образом, нам надо принять, что, может быть, и теория множеств является интерпретацией другой, более элементарной, науки и что она несамостоятельна.

Путь к этой науке указан Гильбертом в связи с обращением к элементарной метаматематике. Но нам надо построить эту науку, независимо от теории множеств, со всей строгостью. Эта работа сделана мной и Гетнером с помощью Герцберга на основе так называемой семантики, которая зависится конечными рядами конкретных предметов и пользуется понятием подстановки. Семантика построена таким образом, что мы при ее помощи можем получить постепенно все более и более общие системы, в которых мы встречаем все более широкое поле математических понятий, а в конце концов доходим до понятия множества. В этой науке нет места никаким «творческим» гипотезам, все сводится к интерпретации выражений, конструируемых при помощи строго определенных правил. Нам неизвестны

пока ее границы, но мы уже знаем, что в ней возможно построение теории множеств вместе с аксиомой Цермело и гипотезой континуума. Надо только заметить, что в ней континуум являетсядвигающимся множеством, в том смысле, который придали ему Планкере и Вейль.

Академия Наук Грузинской ССР
 Тбилисский Математический Институт

(Поступило в редакцию 10.11.1942)

მათემატიკის დაცულების საკითხები

ლ. ხვისტეკი

ცირკულოს აქსიომა და მისი როლი თანამედროვე მათემატიკაში

რეზუმე

ერთეულთი მთავარი საკითხთაგანი თანამედროვე მათემატიკის და დაფუძნების დარღვი არის საკითხი აგრ. წოდ. ცერმელოს აქსიომის შესახებ, რომელიც თავის ჩვეულებრივ სახით გულისხმობს არაკონსტრუირებად სიმრავლეთა არსებობას. ამ საკითხმა გამოიწვია მთელი რიგი შესანიშნავი შრომების: ფრენკელას, ჰილბერტის, ბერნაისის ცა სხ., რომელებიც საფუძველი ჩაუყარეს სრულებით ახალ მეცნიერებას, აგრ. წოდ. მეტამათემატიკას. მაგრამ ჩვენ დღემდე არ გვაქვს ისეთი მათემატიკური სისტემები, რომლებშიაც შევვედლოს ცერმელოს აქსიომა გამოვიყენოთ, გარეშე მიმართვისა არაკონსტრუირებად სიმრავლეთადმი. ჩვენ იღნინიშნავთ, რომ კლასიკური თეორია სიმრავლეთა არ არის დამოუკიდებელი მეცნიერება, მსგავსად ევკლიდის გეომეტრიისა. მართლაც, ჩვენ შევვიძლია ვაგოთ არა-ცერმელური სიმრავლეთა თეორია, რომელიც არ არის უგულებელსაყოფი, რაღაც ის გვაძლევს სასრულო რიცხვთა არითმეტიკას ბევრად უფრო ფართო ხასიათისა, ვიდრე ამას ვხდებით ჩვეულებრივ არითმეტიკაში. ამგვარად, არსებობს გარკვეული ანალოგია ჩვენს არითმეტიკასა და ლობაჩევსკის გეომეტრიას შორის. სხვადასხვა გეომეტრიების არსებობის უზრუნველსაყოფად მიემართოთ მათემატიკურ ანალიზს, სხვადასხვა სიმრავლეთა თეორიების უზრუნველსაყოფად უნდა მიემართოთ რაღაც ახალ მეცნიერებას. ასეთი მეცნიერებაა ს ე მან ტიკა, რომელიც საფუძველში იგივეა რაც მეტამათემატიკა, აგებული გარეშე სიმრავლეთა თეორიის ენისა.

საქართველოს სსრ მეცნიერებათა აკადემია
 თბილისის მათემატიკური ინსტიტუტი

FONDEMENTS DE MATHÉMATIQUES

SUR L'AXIOME DE ZERMELO ET SON RÔLE DANS LES
MATHÉMATIQUES CONTEMPORAINES

Par L. CHWISTEK

Résumé

Un des problèmes les plus importants de fondements de mathématiques contemporaines est celui de l'axiome de Zermelo, lequel, dans sa forme traditionnelle, implique l'existence d'ensembles inconstruisibles. Ce problème inquiétant a engendré des travaux excellents de Fraenkel, Hilbert, Bernays et d'autres, qui ont fourni la base d'une science toute nouvelle, dite métamathématique.

Nous ne disposons pas jusqu'à présent d'un système des mathématiques, dans lequel nous pourrions nous servir de l'axiome de Zermelo sans faire appel aux ensembles inconstruisibles. C'est que la théorie d'ensembles classique n'est pas une science indépendante, pareille à la géométrie d'Euclide. En effet, nous pouvons construire une théorie d'ensembles non-zermélienne qui n'est pas à négliger, comme elle nous fournit une arithmétique de nombres finis beaucoup plus vaste que l'arithmétique ordinaire. De telle façon il y a une certaine analogie entre notre arithmétique et la géométrie de Lobatchévsky. Pour fonder les géométries diverses il nous faut faire appel à l'analyse mathématique. Pour fonder les théories des ensembles, il nous faut construire une science nouvelle. C'est bien la sémantique, qui n'est au fond que la métamathématique, établie indépendamment du langage de la théorie des ensembles.

Académie des Sciences de la RSSG
Institut Mathématique de Tbilissi

МАТЕМАТИКА

Академик Н. И. МУСХЕЛИШВИЛИ

СИСТЕМЫ СИНГУЛЯРНЫХ ИНТЕГРАЛЬНЫХ УРАВНЕНИЙ
 С ЯДРАМИ ТИПА КОШИ

§ 1. В этой заметке рассматриваются системы сингулярных интегральных уравнений вида

$$\Lambda_a \varphi \equiv \sum_{\beta=1}^n a_{\alpha\beta}(t_0) \varphi_\beta(t) + \frac{1}{\pi i} \int_L \sum_{\beta=1}^n k_{\alpha\beta}(t_0, t) \varphi_\beta(t) \frac{dt}{t-t_0} = f_a(t_0) \quad (\alpha=1, \dots, n), \quad (1)$$

где L —простой замкнутый гладкий плоский контур⁽¹⁾, t_0 , t —афиссы точек на L , $a_{\alpha\beta}(t_0)$, $k_{\alpha\beta}(t_0, t)$, $f_a(t_0)$ —заданные на L функции, удовлетворяющие условию Hölder'a, $\varphi_\alpha(t)$ —искомые функции, от которых мы будем требовать, чтобы они также удовлетворяли условию Hölder'a, а интегралы понимаются в смысле главного значения по Коши. Положительным направлением на L считаем то, которое оставляет слева конечную область, ограниченную L .

Случай $n=1$ (одно уравнение с одной неизвестной) хорошо изучен; первая законченная теория этого случая дана в замечательной работе Ф. Нетера [1]⁽²⁾. В настоящей заметке дается обобщение главных результатов Ф. Нетера на случай $n>1$; при этом, в основном используется (соответствующим образом обобщенный) метод Ф. Нетера. Доказываемые ниже основные теоремы могут быть также получены путем обобщения весьма эффективного метода, недавно предложенного И. Н. Векуа⁽³⁾ (для случая одного уравнения); это показано в работе [3]. В настоящей заметке идея,ложенная в основу метода И. Н. Векуа, используется для доказательства заключительной теоремы III.

§ 2. Мы будем пользоваться матричными обозначениями, что делает аналогично со случаем одного уравнения особенно наглядной.

Совокупность n функций $\varphi_1(t)$, $\varphi_2(t)$, ..., $\varphi_n(t)$ мы будем называть вектором и обозначать одним символом $\varphi(t)$ или φ ; мы будем иногда писать: $\varphi=(\varphi_1, \varphi_2, \dots, \varphi_n)$.

⁽¹⁾ Результаты непосредственно обобщаются на случай, когда L —совокупность гладких непересекающихся плоских контуров. Линию мы называем гладкой, если она обладает непрерывно изменяющейся касательной.

⁽²⁾ Ф. Нетер рассматривает сингулярные уравнения в действительной области, но перенесение его результатов и рассуждений на комплексную область совершенно trivialно.

⁽³⁾ См., напр., [2], где дано изложение и ранее опубликованных результатов И. Н. Векуа.

Если $\varphi = (\varphi_1, \varphi_2, \dots, \varphi_n)$ и $\psi = (\psi_1, \psi_2, \dots, \psi_n)$ — два вектора, то $\varphi\psi$ будет обозначать «внутреннее произведение»:

$$\varphi\psi = \varphi_1\psi_1 + \varphi_2\psi_2 + \dots + \varphi_n\psi_n.$$

Буквы A, B, S, T, K будут обозначать квадратные матрицы с n строками и столбцами, элементы которых будут обозначаться соответствующими малыми буквами; напр. $A = \|a_{\alpha\beta}\|$ ($\alpha, \beta = 1, 2, \dots, n$). Эти матрицы будут рассматриваться, как матрицы линейных преобразований векторов, так что, например, $A\varphi$, где φ — вектор, будет обозначать вектор $\psi = (\psi_1, \psi_2, \dots, \psi_n)$, где

$$\psi_\alpha = \sum_{\beta=1}^n a_{\alpha\beta} \varphi_\beta.$$

Наконец, под AB мы будем, как обычно, подразумевать матрицу, определяемую формулами

$$AB = \|c_{\alpha\beta}\|, \quad c_{\alpha\beta} = \sum_{\gamma=1}^n a_{\alpha\gamma} b_{\gamma\beta}.$$

Определитель матрицы A мы будем обозначать через $\det A$.

§ 3. При указанных обозначениях система (1) может быть записана так, в виде одного уравнения:

$$\Lambda\varphi \equiv A(t_0)\varphi(t_0) + \frac{1}{\pi i} \int_L \frac{K(t_0, t)\varphi(t) dt}{t - t_0} = f(t_0), \quad (2)$$

где $\varphi = (\varphi_1, \varphi_2, \dots, \varphi_n)$, $f = (f_1, f_2, \dots, f_n)$,

$$A(t_0) = \|a_{\alpha\beta}(t_0)\|, \quad K(t_0, t) = \|k_{\alpha\beta}(t_0, t)\|. \quad (3)$$

Это уравнение можно представить еще в виде

$$\Lambda\varphi \equiv A(t_0)\varphi(t_0) + \frac{B(t_0)}{\pi i} \int_L \frac{\varphi(t) dt}{t - t_0} + \frac{1}{\pi i} \int_L \frac{[K(t_0, t) - B(t_0)]\varphi(t) dt}{t - t_0} = f(t_0), \quad (4)$$

где

$$B(t_0) = K(t_0, t_0). \quad (5)$$

Легко видеть, что на основании принятых условий

$$\frac{K(t_0, t) - B(t_0)}{t - t_0} = \frac{K^*(t_0, t)}{|t - t_0|^\alpha},$$

где α — некоторое действительное число, меньшее 1, а матрица $K^*(t_0, t)$ удовлетворяет условию Hölder'a¹. Из непрерывности матрицы $K^*(t_0, t)$ следует, что второй интеграл в (4) есть интеграл в обычном (Римановом) смысле.

¹ Говоря, что матрица непрерывна (или удовлетворяет условию Hölder'a), мы подразумеваем, что ее элементы непрерывны (или удовлетворяют условию Hölder'a); аналогично для векторов.

Оператор M , определяемый формулой

$$M\varphi = A(t_0)\varphi(t_0) + \frac{B(t_0)}{\pi i} \int_L \frac{\varphi(t) dt}{t-t_0}, \quad (6)$$

мы будем называть характеристической частью оператора Λ . Как выяснится ниже, основную роль в теории уравнения (2) играют не столько матрицы A , B , сколько матрицы

$$S = A + B = \|a_{\alpha\beta} + b_{\alpha\beta}\|, \quad T = A - B = \|a_{\alpha\beta} - b_{\alpha\beta}\|, \quad (7)$$

которые мы будем называть основными матрицами оператора Λ (или M).

Если определители матриц S и T удовлетворяют условиям

$$\det S = \det(a_{\alpha\beta} + b_{\alpha\beta}) \neq 0, \quad \det T = \det(a_{\alpha\beta} - b_{\alpha\beta}) \neq 0 \quad (8)$$

всюду на L , мы будем говорить, что оператор Λ (или M) неособенный. Во всем дальнейшем мы будем предполагать (это весьма существенно), что оператор Λ неособенный.

Если, в частности, $B(t) \equiv 0$ и, следовательно, $S = T$, то уравнение (2) представляет обычную (квазирегулярную) систему уравнений Фредгольма второго рода. Поэтому, в случае $S = T$ оператор Λ мы будем называть Фредгольмовым.

Рассмотрим, наряду с оператором Λ , аналогичный оператор Λ_1 , определяемый формулой

$$\Lambda_1 \psi \equiv A_1(t_0) \psi(t_0) + \frac{1}{\pi i} \int_L \frac{K_1(t_0, t) \psi(t) dt}{t-t_0}, \quad (9)$$

элементы которого удовлетворяют тем же условиям, что и элементы оператора Λ , в частности условиям $\det S_1 \neq 0$, $\det T_1 \neq 0$ (всюду на L), где, аналогично предыдущему, $S_1 = A_1 + B_1$, $T_1 = A_1 - B_1$.

Для дальнейшего важно выяснить вид операции $\Lambda_0 \varphi \equiv \Lambda_1 \Lambda \varphi \equiv \Lambda_1(\Lambda \varphi)$. Применяя известную формулу перестановки Пуанкаре—Г. Бертрана

$$\frac{1}{\pi i} \int_L \frac{dt}{t-t_0} \frac{1}{\pi i} \int_L \frac{F(t, t_1) dt_1}{t_1-t} = F(t_0, t_0) - \frac{1}{\pi^2} \int_L dt_1 \int_L \frac{F(t, t_1) dt}{(t-t_0)(t_1-t)},$$

где $F(t, t_1)$ —любая функция, удовлетворяющая условию Hölder'a, легко получаем

$$\begin{aligned} \Lambda_0 \varphi &\equiv \Lambda_1 \Lambda \varphi = [A_1(t_0) A(t_0) + B_1(t_0) B(t_0)] \varphi(t_0) \\ &+ \frac{1}{\pi i} \int_L \frac{[A_1(t_0) K(t_0, t) + K_1(t_0, t) A(t)] \varphi(t) dt}{t-t_0} \\ &- \frac{1}{\pi^2} \int_L \left[\int_L \frac{K_1(t_0, t_1) K(t_1, t) dt_1}{(t_1-t_0)(t-t_1)} \right] \varphi(t) dt. \end{aligned} \quad (10)$$

На основании известных свойств интегралов типа Коши нетрудно проверить, что

$$\int_L \frac{K(t_0, t_1) K(t_1, t) dt_1}{(t_1 - t_0)(t - t_1)} = \frac{K^{**}(t_0, t)}{|t - t_0|^\alpha},$$

где α — некоторое действительное число, меньшее 1, а матрица $K^{**}(t_0, t)$ удовлетворяет условию Hölder'a.

Таким образом, оператор $\Lambda_0 = \Lambda_1 \Lambda$ представляет собою оператор того же типа, что Λ и Λ_1 ; характеристическая часть его M_0 определяется, как легко видеть, формулой

$$M_0 \varphi \equiv A_0(t_0) \varphi(t_0) + \frac{B_0(t_0)}{\pi i} \int_L \frac{\varphi(t) dt}{t - t_0}, \quad (11)$$

где

$$A_0 = A_1 A + B_1 B, \quad B_0 = A_1 B + B_1 A; \quad (12)$$

основные же матрицы $S_0 = A_0 + B_0$ и $T_0 = A_0 - B_0$ оператора Λ_0 даются формулами

$$S_0 = S_1 S, \quad T_0 = T_1 T; \quad (13)$$

предыдущие формулы показывают, что оператор $\Lambda_1 \Lambda$ неособенный и что его характеристическая часть вполне определяется характеристическими частями операторов Λ и Λ_1 . Из этих же формул следует, что если заданы характеристические части двух из трех операторов Λ , Λ_1 , Λ_0 , то характеристическая часть третьего определяется однозначно. Например, если заданы характеристические части операторов Λ и Λ_0 , то для основных матриц оператора Λ_1 получаем

$$S_1 = S_0 S^{-1}, \quad T_1 = T_0 T^{-1}, \quad (14)$$

а соответствующие матрицы A_1 и B_1 даются формулами:

$$A_1 = \frac{1}{2} [S_0 S^{-1} + T_0 T^{-1}], \quad B_1 = \frac{1}{2} [S_0 S^{-1} - T_0 T^{-1}]. \quad (15)$$

В частности, при заданном операторе Λ можно так подобрать (бесчисленным множеством способов) оператор Λ_1 , чтобы оператор $\Lambda_0 = \Lambda_1 \Lambda$ был Фредгольмовым. В самом деле, для этого необходимо и достаточно, чтобы $S_0 = T_0$ и, следовательно,

$$S_1 = S_0 S^{-1}, \quad T_1 = S_0 T^{-1}, \quad A_1 = \frac{1}{2} S_0 (S^{-1} + T^{-1}), \quad B_1 = \frac{1}{2} S_0 (S^{-1} - T^{-1}), \quad (16)$$

где S_0 — произвольная матрица, удовлетворяющая условию Hölder'a, и такая, что $\det S_0 \neq 0$ всюду на L . В частности, можно взять $S_0 = T_0 = 1$ (единичную матрицу мы обозначаем просто через 1) и тогда, как легко видеть, оба оператора $\Lambda_1 \Lambda$ и $\Lambda \Lambda_1$ будут Фредгольмовыми.

§ 4. Если произведем операцию Λ_1 над обеими частями уравнения (2), получим новое уравнение

$$\Lambda_1 \Lambda \varphi = \Lambda_1 f. \quad (17)$$

Всякое решение уравнения (2) будет, очевидно, решением уравнения (17). Обратное заключение, очевидно, справедливо в том случае, когда однородное уравнение $\Lambda_1 \omega = 0$ не имеет решений, отличных от нулевого; в этом случае уравнения (2) и (17) эквивалентны. В случае же, когда уравнение $\Lambda_1 \omega = 0$ имеет отличные от нуля решения, из (17) следует лишь соотношение: $\Lambda \varphi - f = \sum c_a \omega^{(a)}$, где векторы $\omega^{(a)}$ ($a = 1, 2, \dots$) представляют полную систему линейно независимых решений однородного уравнения $\Lambda_1 \omega = 0$ (мы увидим ниже, что число линейно независимых решений уравнений вида $\Lambda \omega = 0$ всегда ограничено), а c_a — некоторые постоянные.

Однако, если мы сумеем, тем или иным способом, найти общее решение уравнения (17), мы всегда, очевидно, сможем найти и общее решение уравнения (2) или установить его неразрешимость. Поэтому мы можем говорить, что применение оператора Λ_1 сводит решение уравнения (2) к решению уравнения (17).

§ 5. Пользуясь широким произволом в выборе оператора Λ_1 , можно придать уравнению (17) тот или иной вид, удобный для решения или обещего исследования¹.

В частности, как мы видели, оператор Λ_1 можно подобрать так, чтобы уравнение (17) было уравнением Фредгольма второго рода (то-есть, пользуясь обычной терминологией, — системой уравнений Фредгольма второго рода). В этом случае характеристическая часть оператора Λ_1 дается формулами (16).

Имея в виду получить приводимые ниже общие предложения, мы именно так и поступим, положив, кроме того, в формулах (16) $S_0 = 1$. Тогда, как уже было сказано, оба оператора $\Lambda_1 \Lambda$ и $\Lambda \Lambda_1$ будут Фредгольмовыми.

Заметим, что, как нетрудно убедиться, при принятых нами условиях всякое (непрерывное) решение уравнения Фредгольма $\Lambda_1 \Lambda = \Lambda_1 f$ будет необходимо удовлетворять условию Hölder'a.

Из сказанного выше непосредственно вытекает одно очевидное, но важное следствие: *число линейно независимых решений однородного уравнения $\Lambda \varphi = 0$ конечно*, ибо все эти решения являются решениями однородного уравнения Фредгольма $\Lambda_1 \Lambda \varphi = 0$.

Прежде чем итти дальше, введем еще понятие союзных операторов. Мы будем называть оператор Λ' союзным с оператором Λ , если Λ' получается из Λ заменой матрицы $A(t_0)$, транспонированной матрицей $A'(t_0)$, а матрицы $K(t_0, t)/(t-t_0)$ — матрицей $K'(t, t_0)/(t_0-t)$, получаемой

¹ Ср. для случая одного уравнения весьма интересную статью И. Н. Векуа [4].

из предыдущей транспозицией элементов и переменных t_0, t . Таким образом, оператор Λ' , союзный с Λ , определяется формулой

$$\Lambda' \psi \equiv A'(t_0) \psi(t_0) - \frac{1}{\pi i} \int_L \frac{K'(t, t_0) \psi(t) dt}{t - t_0}. \quad (18)$$

Очевидно, что, в свою очередь, Λ есть оператор, союзный с Λ' . Непосредственной проверкой легко установить следующее основное свойство союзных операторов: если $\varphi(t)$ и $\psi(t)$ — два произвольных вектора, удовлетворяющих условию Hölder'a, то

$$\int_L \varphi \Lambda \psi dt = \int_L \varphi \Lambda' \psi dt; \quad (19)$$

напомним, что под $\varphi \Lambda \psi$ следует подразумевать внутреннее произведение векторов φ и $\Lambda \psi$, так что $\varphi \Lambda \psi = \varphi_1 \Lambda_1 \psi + \varphi_2 \Lambda_2 \psi + \dots + \varphi_n \Lambda_n \psi$, где $\Lambda_n \psi$ определяется формулой (1).

Легко далее видеть, что оператором, союзовым с $\Lambda_1 \Lambda$, будет оператор $\Lambda' \Lambda'_1$.

Перейдем теперь к теоремам, представляющим собою обобщение на случай $n > 1$ фундаментальных теорем Ф. Нетера.

Теорема I. Для существования решения уравнения (т. е. системы уравнений)

$$\Lambda \varphi = f,$$

необходимо и достаточно, чтобы

$$\int_L \psi^{(\alpha)} f dt = 0 \quad (\alpha = 1, 2, \dots, l'), \quad (20)$$

где $\psi^{(\alpha)} = (\psi^{(1)}, \psi^{(2)}, \dots, \psi^{(\alpha)})$, $\alpha = 1, 2, \dots, l'$, — полная система линейно независимых решений однородного союзного уравнения $\Lambda' \psi = 0$.

Необходимость условий (20) непосредственно вытекает из (19). Доказательство достаточности можно получить почти буквальным воспроизведением (с очевидными изменениями) доказательства Ф. Нетера ([1], § 1)⁽¹⁾ для одного уравнения; поэтому, мы его здесь не приводим.

Теорема II. Разность $l - l'$ числа l линейно независимых решений однородного уравнения $\Lambda \varphi = 0$ и числа l' линейно несвязанных решений союзного уравнения $\Lambda' \psi = 0$ зависит лишь от характеристической части оператора Λ , т. е. лишь от матриц A и B .

⁽¹⁾ Доказательство Ф. Нетера воспроизведено, в более развернутом виде, в статье [5] В. Д. Купрадзе.

И здесь мы можем ограничиться ссылкой на остроумное доказательство Ф. Нетера ([1], § 2), основанное на подсчете числа решений однородных уравнений Фредгольма

$$\Lambda_1 \Lambda \varphi = 0, \quad \Lambda \Lambda_1 \varphi = 0, \quad \Lambda' \Lambda'_1 \varphi = 0, \quad \Lambda'_1 \Lambda' \varphi = 0^{\text{a}}.$$

§ 6. Весьма важным является то обстоятельство, что разность $l - l'$ теоремы II может быть непосредственно (и притом совершенно элементарно) вычислена по матрицам A и B . А именно, для вычисления $l - l'$ можно, на основании теоремы II, ограничиться рассмотрением уравнения

$$M\varphi = A(t_0)\varphi(t_0) + \frac{B(t_0)}{\pi i} \int_L \frac{\varphi(t) dt}{t - t_0}. \quad (21)$$

Если ввести в рассмотрение вектор

$$\Phi(\zeta) = \frac{i}{2\pi i} \int_L \frac{\varphi(t) dt}{t - \zeta} = \left(\frac{i}{2\pi i} \int_L \frac{\varphi_1(t) dt}{t - \zeta}, \dots, \frac{i}{2\pi i} \int_L \frac{\varphi_n(t) dt}{t - \zeta} \right), \quad (22)$$

компоненты которого представляют собою голоморфные функции комплексной переменной ζ , всюду, кроме точек линии L , обращающиеся в нуль на бесконечности, и применить известные формулы

$$\varphi(t_0) = \Phi^+(t_0) - \Phi^-(t_0), \quad \frac{i}{\pi i} \int_L \frac{\varphi(t) dt}{t - t_0} = \Phi^+(t_0) + \Phi^-(t_0),$$

где $\Phi^+(t_0)$, $\Phi^-(t_0)$ обозначают предельные значения $\Phi(\zeta)$ при стремлении ζ к точке t_0 на L соответственно слева и справа (по отношению к положительному направлению на L), то задача (21) сводится к задаче Римана

$$S\Phi^+ = T\Phi^- \quad (\text{на } L), \quad (23)$$

где, попрежнему, $S = A + B$, $T = A - B$. Исследование же последней задачи (см. [3]) приводит к заключению, что $l - l' = \chi$, где целое число χ определяется формулой

$$\chi = \frac{i}{2\pi i} [\log \det(S^{-1}T)]_L = -\frac{i}{2\pi} \left[\arg \frac{\det(A-B)}{\det(A+B)} \right]_L; \quad (24)$$

символом $[]_L$ обозначается приращение функции, заключенной в скобки при обходе L в положительном направлении. Число χ можно назвать и

^a В статье [5] В. Д. Купрадзе дает значительно более простое доказательство соответствующей теоремы Ф. Нетера (для случая одного уравнения), основанное на том же принципе; упрощение достигается за счет специального подбора оператора Λ_1 . Мы, однако, отсылаем к доказательству самого Ф. Нетера, так как оно, благодаря своей общности, непосредственно применимо к нашему случаю.

дексом задачи (23), а также индексом уравнения $\Lambda\phi=f$. Итак, имеем теорему, аналогичную теореме, доказанной для случая одного уравнения также Ф. Нетером ([1], § 3).

Теорема III. Разность $l-l'$ чисел линейно независимых решений соизных однородных уравнений $\Lambda\phi=0$ и $\Lambda'\phi=0$ равна индексу уравнения $\Lambda\phi=0$ определяемому формулой (24).

Академия Наук Грузинской ССР
Тбилисский Математический Институт

(Поступило в редакцию 5.12.1942)

ეთივეათისა

აკადემიკოსი ნ. გუსტავი გვილა

სინგულარულ ინტეგრალურ განტოლებათა სისტემები კოჭის
ტიპის გულებით

რეზუმე

შრომაში მოცემულია F. Noether'ის ცნობილი ოქორემების განხოგადება (1) სახის ინტეგრალურ განტოლებათა სისტემებზე.

საქართველოს სსრ მეცნიერებათა აკადემია
თბილისის მათემატიკური ინსტიტუტი

ЦИТИРОВАННАЯ ЛИТЕРАТУРА—CИСТОМАЗУЛЮ ღიტირაცია

1. F. Noether. Über eine Klasse singulärer Integralgleichungen. Math. Ann. Bd. 82. 1921 S. 42—63.
2. Илья Векуа. Интегральные уравнения с особым ядром типа Коши. Труды Тбилисского Мат. Инст., т. X, 1941, стр. 45—72.
3. Н. И. Мусхелишвили и Н. П. Векуа. Краевая задача Римана для нескольких неизвестных функций и ее приложения к системам сингулярных интегральных уравнений. Труды Тбилисского Мат. Инст., т. XII (печатается).
4. Илья Векуа. К теории сингулярных интегральных уравнений. Сообщения Академии Наук Груз. ССР, т. III, № 9, 1942, стр. 869—876.
5. В. Д. Купрадзе. К теории интегральных уравнений с интегралом в смысле главного значения по Коши. Сообщения Академии Наук Груз. ССР, т. II, № 7, 1941, стр. 587—596.

BEHAVIOUR OF SOME TOPOLOGICAL INVARIANTS ON LEVEL SURFACES

By GEORGE CHOGOSHVILI

On the totality of closed sets F of a n -dimensional manifold M let be defined a function $I(F, M)$ assuming positive integer values, forming a topological invariant, and satisfying the following conditions of monotony and semi-additivity:

1. If $F_1 \supseteq F_2$, then $I(F_1, M) \geq I(F_2, M)$;
2. $I(F_1 + E_2, M) \geq I(F_1, M) + I(F_2, M)$.

So are in particular such important invariants as the homotopical category ([1], pp. 25—36), the combinatorial category ([6]; [1], p. 39), the length [7], and others. Again if the function $I(F, M)$ does not depend on the manifold M the set F is contained in, then we obtain absolute invariants denoted simply by $I(F)$. As an example we have the absolute category, i. e. the category of a set relative to itself ([1], p. 35).

Particularly interesting are values procured by invariants of our class for level surfaces and domains of smaller values, i. e. for sets $E[f=c]$ and $E[f \leq c]$ ⁽¹⁾ respectively, relative to a function f on M , and to a value c .

The topological difference between two domains of smaller values and two level surfaces respectively (cf. [2], [3], [4], [5])⁽²⁾ enables us to obtain bounds for the difference between the values our invariants assume on the two sets mentioned if their values are known on some simplest sets. This is the main purpose of the present note. I am considering only level surfaces, since the related problems are similar to but more complicated than the questions concerning domains of smaller values.

This note being an annex to my papers [4], [5] I adopt the conventions made there, viz. suppose that the function f possesses continuous second partial derivatives in M , and that no one of its critical points is degenerate.

⁽¹⁾ $E[\dots]$ means the set of all M -points satisfying conditions ... written down in the square brackets.

⁽²⁾ In [2], [3] for domains of smaller values under boundary conditions α (cf. [3], p. 546); in [4], [5] for domains of smaller values and level surfaces under general boundary conditions given below.

Besides it will readily be observed that our hypothesis of non-degeneracy is not substantial with respect to some invariants. If the boundary B of M exists it is assumed to be smooth enough, the degree of smoothness being specified in [3], p. 565. Finally let M contain all the critical points of f in its interior, while the function f_b induced on B by f is supposed to be non-degenerate.

The main contents of [4], [5], and the present note were reported by me in the Topological Seminary of the Moscow University as early as 1938. For some invariants considered in this note L. Elsholz, Moscow, extended my results to degenerate functions (cf. his paper [8] published 1940). Elsholz (*ibid.*, p. 470) observes however that for some other invariants, especially for the absolute category and similar ones, it is quite natural to assume non-degeneracy.

If the closed interval (c_1, c_2) contains no critical point of f and f_b , then $E[f=c_1]$ and $E[f=c_2]$ are homeomorphic, and consequently afford equal values for each topological invariant. Hence we may suppose that (c_1, c_2) contains some critical value, say zero, corresponding to a single critical point situated in the origin while in a sufficiently small neighbourhood of the origin, on using our coordinates, f has the form

$$-x_1^2 - \cdots - x_k^2 + x_{k+1}^2 + \cdots + x_n^2 = -p^2 + q^2$$

the index k of the critical point being one of the integers 0, 1, 2, ..., n .

Take ϵ^2 so small that $(-\epsilon^2, \epsilon^2)$ includes but the one critical value zero. Then we are left to consider the difference

$$I(E[f=\epsilon^2], M) - I(E[f=-\epsilon^2], M).$$

It is ascertained ([4], p. 296) that the pre-critical level-surface $L_p = E[f = -\epsilon^2]$ is homeomorphic to the manifold obtained from the after-critical level-surface $L_a = E[f = \epsilon^2]$ by subtracting the set $P = E[f = \epsilon^2, p^2 < \epsilon^2]$, and adding $Q = E[f < \epsilon^2, p^2 = \epsilon^2]$ ¹; or, what is the same, by subtracting $\bar{P} = E[f = \epsilon^2, p^2 \leq \epsilon^2]$, and then adding $\bar{Q} = E[f \leq \epsilon^2, p^2 = \epsilon^2]$. Here we can suppose \bar{P} to be the topological product of a k -dimensional cell with the boundary of a $(n-k)$ -dimensional cell, and \bar{Q} to be the product of this $(n-k)$ -dimensional cell with the boundary of the same k -dimensional cell. Let us identify the surface L_p with its homeomorphic manifold mentioned above, since we are interested but in problems not affected by such a change. Then

$$L_p = L_a - P + Q,$$

and thus

$$L_a = L_p - Q + \bar{P}$$

as is readily verified. Consequently, $L_p - Q$ and \bar{P} being closed sets,

¹ ϵ^2 and $\epsilon^2, \epsilon^2 < \epsilon^2$, are sufficiently small constants (cf. [3]).

$$I(L_a, M) = I(L_p - Q + \bar{P}, M) \leq I(L_p - Q, M) + I(\bar{P}, M)$$

on account of the semi-additivity.

But

$$I(L_p - Q, M) \leq I(L_p, M)$$

by virtue of the monotony. Hence

$$I(L_a, M) \leq I(L_p, M) + I(\bar{P}, M).$$

On the other hand, we deduce from the equality

$$L_p + P = (L_p + P - Q) + \bar{Q}$$

on using the semi-additivity:

$$I(L_p + P, M) \leq I(L_p + P - Q, M) + I(\bar{Q}, M)$$

so that

$$I(L_a, M) = I(L_p + P - Q, M) \geq I(L_p + P, M) - I(\bar{Q}, M).$$

Next

$$I(L_p + P, M) \leq I(L_p, M),$$

whence

$$I(L_a, M) \geq I(L_p, M) - I(\bar{Q}, M),$$

and finally

$$I(L_p, M) - I(\bar{Q}, M) \leq I(L_a, M) \leq I(L_p, M) + I(\bar{P}, M)$$

or

$$-I(\bar{Q}, M) \leq I(L_a, M) - I(L_p, M) \leq I(\bar{P}, M).$$

Thus we have obtained for $I(L_a, M) - I(L_p, M)$ upper and lower bounds in terms of $I(\bar{P}, M)$ and $I(\bar{Q}, M)$; these bounds are easy to calculate for each given particular invariant.

Let us consider, in particular, the homotopic category. The sets \bar{P} and \bar{Q} are contained in an arbitrarily small neighbourhood of the critical point, that is to say, in an appropriate sphere centered about this critical point and belonging to the manifold M . Hence the category of \bar{P} or \bar{Q} relative to M is 1:

$$\text{cat}_M \bar{P} = \text{cat}_M \bar{Q} = 1.$$

Thus

$$\text{cat}_M L_p - 1 \leq \text{cat}_M L_a \leq \text{cat}_M L_p + 1$$

or

$$\text{cat}_M L_a - \text{cat}_M L_p = -1, 0, +1,$$

and we readily see that each of the three listed values actually occurs.

Upon using combinatorial category we obtain the same results. The combinatorial category of \bar{P} or \bar{Q} is still 1, since \bar{P} and \bar{Q} are contained in a suitable sphere on M while each cycle in this sphere is bounding, and, consequently, so does (therein) each cycle of \bar{P} or \bar{Q} . Thus we still have

$$\text{kat}_M L_a - \text{kat}_M L_p = -1, 0, +1,$$

and examples show that the three listed cases may be realised.

Now let us consider the so-called absolute homotopic category of the level surface, namely its category relative to itself, and not with respect to the manifold. Then all our formulae remain valid if the invariants for L_p or L_a do not refer to M but to

$$L = L_p + \bar{P} = L_a + \bar{Q}.$$

Hence

$$\text{cat}_L L_p - \text{cat}_L \bar{Q} \equiv \text{cat}_L L_a \equiv \text{cat}_L L_p + \text{cat}_L \bar{P}.$$

On the other hand,

$$\text{cat } L_p - \text{cat}_L L_p = 0 \text{ or } 1^1$$

according as the set \bar{Q} possesses category 1 or 2 relative to L_p .

Similarly

$$\text{cat } L_a - \text{cat}_L L_a = 0 \text{ or } 1.$$

Collecting all our results, we infer that

$$\text{cat } L_p - \text{cat}_L \bar{Q} - 1 \equiv \text{cat } L_a \equiv \text{cat } L_p + \text{cat}_L \bar{P} + 1.$$

But

$$\text{cat}_L \bar{P} = \text{cat}_L \bar{Q} = 1,$$

whence

$$\text{cat } L_p - 2 \equiv \text{cat } L_a \equiv \text{cat } L_p + 2$$

so that

$$\text{cat } L_a - \text{cat } L_p = -2, -1, 0, 1, 2.$$

Still it is not difficult to show that each of the five values may occur.

So behave our invariants likewise on manifolds subject to Schnirelmann's transformations (cf. [9]).

Academy of Sciences of the Georgian SSR
 Mathematical Institute

(Received December 5, 1942)

აკადემიის

გიორგი ჭოლოვანი

გოგი ტოპოლოგიური ინსტიტუტი ქვემოსათვის
 დოკო ვართოულებელი

რეზუმე

ამ წერილში განიხილება მრავალნაირობის დახურულ სიმრავლეთა ერთობლიობაზე განსაზღვრულ ისეთი ფუნქციების კლასი, რომლებიც მთელრიცხვიან მნიშვნელობებს იღებენ, ტოპოლოგიურ ინვარიანტებს წარმოადგენენ და მონოტონობისა და ნახევრად-ადიტურობის პირობებს აქმაყოფილებენ. ასეთ

¹ As mentioned above $\text{cat } K$ means $\text{cat}_K K$.

ფუნქციათა კლასს ეკუთხნიან ვარიაციულ ამოცანებში გამოყენებული ინვარიანტები, მაგ. პომოტოპური კატეგორია, კომინატორული კატეგორია, აბსოლუტური კატეგორიები, სიგრძე და სხ. შეისწავლება ამ კლასის ინვარიანტთა, განსაკუთრებით ეხლახან აღნიშნულთა, ცვლილებაზი დონის ფართეულის მოძრაობის დროს.

საქართველოს სსრ მეცნიერებათა აკადემია
თბილისის მათემატიკური ინსტიტუტი

REFERENCES—ციტირებული ლიტერატურა

1. L. Lusternik et L. Schnirelmann. Méthodes topologiques dans les problèmes variationnels. Paris, 1934.
2. Marston Morse. Relations between the critical points of a real function of n independent variables. Trans. Amer. Math. Soc., 27, 1925; p. 345.
3. Marston Morse and George Booth Van Schaack. The critical point theory under general boundary conditions. Ann. of Math., 35, 1934; p. 545.
4. George Chogoshvili. On the variation of Betti numbers of a moving level surface. C. R. Acad. Sci. URSS, 22, 1939; p. 293.
5. George Chogoshvili. On level surfaces and domains of smaller values of a function defined on a bounded manifold. C. R. Acad. Sci. URSS, 24, 1939; p. 635.
6. L. Schnirelmann. Über eine neue kombinatorische Invariante. Monatshefte für Math. und Ph., 37, 1930.
7. Froloff et Elsholz. Limite inférieure pour le nombre des valeurs critiques d'une fonction donnée sur une variété. Rec. Math. Moscou, 42:5, 1935; p. 637.
8. L. Elsholz. Zur Theorie der Änderung der topologischen Invarianten der Niveauflächen. Rec. Math. Moscou, 8 (50), 1940; p. 463.
9. George Chogoshvili. On Schnirelmann's transformations. C. R. Acad. Sci. URSS, 30, 1941; p. 199.

МАТЕМАТИКА

Ш. Е. МИКЕЛАДЗЕ

ФОРМУЛЫ КВАДРАТУР С РАЗНОСТЯМИ

Пусть функция $\phi(x)$ имеет непрерывные последовательные производные вплоть до того порядка, который используется ниже при выводе формул квадратур.

Будем исходить из формулы Тейлора с остаточным членом в интегральной форме:

$$\int_A^x \varphi(x) dx = \sum_{\lambda=1}^m [(x-A)^\lambda \frac{\varphi^{(\lambda-1)}(A)}{\lambda!}] + \frac{1}{m!} \int_A^x (x-\zeta)^m \varphi^{(m)}(\zeta) d\zeta.$$

Положив в этой формуле

$$x = a + ht_3, \quad A = a + ht_2, \quad z = a + th,$$

где a , h , t_a и t_b —произвольные числа, мы находим:

$$\int_{a+ht_a}^{a+ht_3} \varphi(x) dx = \sum_{\lambda=1}^m (t_3 - t_a)^\lambda \frac{h^\lambda}{\lambda!} \varphi^{(\lambda-1)}(a+ht_a) + \frac{h^{m+1}}{m!} \int_{t_a}^{t_3} (t_3 - t)^m \varphi^{(m)}(a+th) dt. \quad (1)$$

С целью сокращения записи условимся писать $\phi_i^{(k)}$ вместо $\phi^{(k)}(a+ih)$, где i принимает значения 0, ± 1 , ± 2 , ..., и будем обозначать конечную разность r -го порядка функции $\phi^{(m)}(x)$ в точке $x=a+ih$ символом $\Delta^r \phi_i^{(m)}$, т. е.

$$\Delta^{r_{\oplus}(m)} \equiv \Delta^{r_{\oplus}(m)}(a+ih).$$

Мы получим формулу квадратур из (1), прилагая к $\varphi^{(m)}(a+th)$ какую-нибудь из интерполяционных формул. Так, например, прилагая к $\varphi^{(m)}(a+th)$ интерполяционную формулу Ньютона и продолжая разложение до членов с разностями r -го порядка, мы представим формулу (1) в виде:

$$\int_{a+ht_a}^{a+ht_\beta} \varphi(x) dx = \sum_{\lambda=1}^m (t_\beta - t_a)^\lambda \frac{h^\lambda}{\lambda!} \varphi^{(\lambda-1)}(a+ht_a) + h^{m+1} \sum_{\lambda=0}^r \sigma_\lambda \Delta^\lambda \varphi_{-\lambda}^{(m)} + R, \quad (2)$$

где

$$\sigma_\lambda = \frac{1}{m! \lambda!} \int_{t_a}^{t_\beta} (t_\beta - t)^m t^{(-\lambda)} dt,$$

$$R = \frac{h^{m+r+2}}{m! (r+1)!} \int_{t_a}^{t_\beta} (t_\beta - t)^m t^{(-r-1)} \varphi^{(m+r+2)}(a+\tau h) dt,$$

причем число τ заключается между наибольшим и наименьшим из чисел 0 , $-r$, t_β и t_a , а $t^{(-\lambda)}$ обозначает полином степени λ :

$$t^{(-\lambda)} = t(t+1)\cdots(t+\lambda-1).$$

Обратим внимание на следующие частные случаи формулы (2): при $t_a = -1$, $t_\beta = +1$, $m=0$ и $\varphi(x) = y'(x)$ мы получим формулу (15) работы [1], а при $m=0$ и соответствующем подборе чисел t_β и t_a получим формулы (16)–(20), выведенные В. Е. Blaisdell'ем в работе [2].

Положив, наконец, $m=1$, получим новую формулу, которая при $t_\beta = 1$ и $t_a = -1$ дает:

$$\int_{a-h}^{a+h} \varphi(x) dx = 2h\varphi(a-h) + 2h^2\varphi'(a) + h^2 \sum_{\lambda=1}^r \sigma_\lambda \Delta^\lambda \varphi_{-\lambda} + R, \quad (3)$$

где

$$\sigma_\lambda = \frac{1}{\lambda!} \int_{-1}^{+1} (1-t) t^{(-\lambda)} dt,$$

$$R = \frac{h^{r+3}}{(r+1)!} \int_{-1}^{+1} (1-t) t^{(-r-1)} \varphi^{(r+2)}(a+\tau h) dt.$$

Вычисление показывает, что 5 первых коэффициентов формулы (3) равны:

$$\sigma_1 = -\frac{2}{3}, \quad \sigma_2 = 0, \quad \sigma_3 = \frac{2}{45}, \quad \sigma_4 = \frac{1}{18}, \quad \sigma_5 = \frac{37}{630}.$$

Академия Наук Грузинской ССР
Тбилисский Математический Институт

(Поступило в редакцию 9.11.1942)

ვ. მიძინაძე

მიჩნევით კვადრატულების ფორმულები სევაობით

რეზუმე

შრომაში მოცემულია ზოგადი მექანიკური კვადრატურების ფორმულები სხვაობებით.

საქართველოს სსრ მეცნიერებათა აკადემია
თბილისის მათემატიკური ინსტიტუტი

ЦИТИРОВАННАЯ ЛИТЕРАТУРА—ციტირებული ლიტერატურა

1. III. E. Микеладзе. Об интегрировании дифференциальных уравнений разностным методом. Изв. Акад. Наук СССР, серия матем., 1939, № 5—6.
2. B. E. Blaisdell. The physical properties of fluid interfaces of large radius of curvature. I. Journ. of Math. and Phys. (Mass.), vol. XIX, No 3.



ФИЗИКА

Ю. А. СИКОРСКИЙ

ЗАВИСИМОСТЬ ДИЭЛЕКТРИЧЕСКИХ ПОТЕРЬ ОТ ХАРАКТЕРА
ЭЛЕКТРОПРОВОДНОСТИ КРИСТАЛЛОВ

1. Введение

Согласно теории диэлектрических потерь Вальтера и Синельникова [1], потери могут быть вызваны неоднородностью структуры диэлектрика, поляризационными явлениями, явлениями высоковольтной поляризации, дипольными моментами молекул, электропроводностью диэлектриков. В твердых диэлектриках с однородной структурой и в слабых переменных полях, по представлениям Таммана [2], диэлектрические потери сводятся к потерям за счет электропроводности диэлектрика. В этой теории дается математическая зависимость между величиной потерь и электропроводностью, но о механизме этой электропроводности ничего не сказано. Целью данной работы является попытка внести некоторую ясность в этот вопрос.

Как известно, ток в диэлектрике может быть ионный, электронный и смешанный. Первые два являются частными случаями последнего. Электронный ток в свою очередь разделяется на чисто электронный и ток, обусловленный перескоком электронов от узла к узлу, так называемый заполненный, или, как будем в дальнейшем называть, «дырочный». Поэтому и диэлектрики делятся на электронные и «дырочные». Ток в них осуществляется соответственно ионами, свободными электронами зоны проводимости и «дырками» основной зоны. В связи с этим в описываемой работе измерялись диэлектрические потери в ионных, «дырочных» и электронных диэлектриках.

В качестве ионных диэлектриков брались кристаллы KCl и KJ и исследовался температурный ход потерь в них в интервале от комнатной до температуры $+220^{\circ}\text{C}$. При этой температуре электропроводность в исследованных кристаллах примерно в 100 раз больше, чем при комнатной температуре. Ввиду того, что при постоянной частоте тангенс угла потерь пропорционален электропроводности, указанное только что увеличение электропроводности должно сказаться на величине тангенса угла потерь.

Представителем «дырочного» диэлектрика были взяты кристаллы KJ, насыщенные иодом. По данным Сикорского [3] и других, электропроводность насыщенных иодом кристаллов KJ больше, чем в естественных кристаллах KJ приблизительно в 1000 раз. Следовательно и диэлектрические потери в насыщенных иодом кристаллах KJ должны быть значительно больше, чем в естественных кристаллах, если «дырочный» ток обуславливает диэлектрические потери.

На участие свободных электронов зоны проводимости в явлении диэлектрических потерь было указано автором данной статьи [4] и Красиным [5]. Красин изучал аллохроматические кристаллы, а Сикорский идиохроматические. Оба исследователя наблюдали увеличение диэлектрических потерь при освещении. Эти опыты с несомненностью говорят о том, что фотозелектроны обуславливают диэлектрические потери. Остается невыясненным вопрос о темновой электропроводности. Мотт [6] и др. установили, что если аддитивно окрашенные кристаллы осветить белым светом, то темновая электропроводность таких «возбужденных» светом кристаллов будет больше, чем у кристаллов невозбужденных. Из сказанного выше следует, что диэлектрические потери у возбужденных кристаллов должны быть больше, чем у невозбужденных, если темновая электропроводность обуславливает диэлектрические потери. Правильность этих соображений была проверена на аддитивно окрашенных кристаллах KCl.

2. Методика измерений и результаты

Измерения велись по методу Друде—Кулиджа [7], примененному Сикорским [4, 8], и для измерения потерь в фотопроводниках при освещении. Длина волны в опытах была 400 см. Для исследования температурной зависимости потерь в кристаллах KCl и KJ, конденсатор с кристаллами помещался в электрическую печь, в которой температура регулировалась изменением подаваемого на печь напряжения.

A. Ионная электропроводность

Диэлектрические потери при ионной электропроводности измерялись на кристаллах KCl и KJ, помещенных в тигельную электрическую печь. Нагревание кристаллов производилось от комнатной температуры до $+220^{\circ}\text{C}$. При этой температуре, как было указано выше, электропроводность возрастает в сотни раз по сравнению с комнатной за счет ионной составляющей. Измерения потерь производились как при повышении, так и при понижении температуры. Полученные данные представлены на рис. 1 и 2, где по оси абсцисс отложена температура в градусах Цельсия, а по оси ординат тангенс угла потерь. Следует заметить, что значения тангенса угла по-

терь несколько преувеличены за счет потерь, вызываемых наличием электрической печи. Как видно из рассмотрения этих рисунков, в исследованном температурном интервале не заметно увеличения диэлектрических потерь с ростом температуры. Экспериментальные точки в пределах точности примененной методики укладываются на прямой, параллельной оси абсцисс. Это позволяет предполагать, что в однородных диэлектриках с простой кристаллической решеткой изменение ионной электропроводности, повидимому, не сказывается на величине диэлектрических потерь.

Б. «Дырочный» ток

В качестве «дырочного» диэлектрика были взяты кристаллы KJ, насыщенные иодом. Насыщение кристаллов иодом производилось при температуре $+500^{\circ}\text{C}$ в трубчатой электрической печи. Кристаллы KJ помещались в запаянную пробирку из тугоплавкого стекла, куда насыпался кристаллический иод. Запаянная пробирка всглавлялась в стальную бомбу, которую клади затем в печь. Насыщение кристаллов KJ иодом производилось в течение десяти часов. Из приготовленных кристаллов выкалывались образцы размером $12 \times 12 \times 8$ мм. Поверхности выколотых кристаллов полировались на шелку. Такого же размера образцы выкалывались из кристаллов KJ, не насыщенных иодом. Измерения потерь в насыщенных и ненасыщенных кристаллах KJ следовали непосредственно друг за другом. Результаты измерений приведены в табл. 1, где через δ обозначен угол диэлектрических потерь. Приведенные данные показывают, что потери в кристаллах KJ, насыщенных иодом, значительно меньше, чем в естественных, тогда как электропроводность в насыщенных иодом кристаллах в сотни раз превосходит электропроводность естественных кристаллов. Поэтому, можно предполагать, что «дырочная» электропроводность не обуславливает диэлектрических потерь. Остается невыясненным, почему диэлектрические потери насыщенных иодом кристаллов значительно меньше, чем у естественных кри-

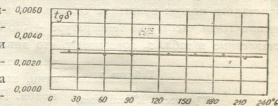


Рис. 1. Температурный ход потерь в KJ.

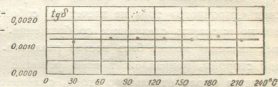


Рис. 2. Температурный ход потерь в KCl.

Таблица 1

	KJ естеств.	KJ насыщ. J
$\operatorname{tg} \delta$	0,00152	0,00096

	KJ естеств.	KJ насыщ. J
$\operatorname{tg} \delta$	0,00152	0,00096

сталлов. С целью выяснения причины этого явления были произведены измерения потерь в естественных и отожженных кристаллах KJ. Отжиг кристаллов производился в таком же тепловом режиме, как и насыщение кристаллов иодом: кристаллы отжигались в электрической печи в продолжение 10-ти часов при температуре $+500^{\circ}\text{C}$. Результаты измерений, представленные в табл. 2, показывают, что диэлектрические потери при отжиге

Таблица 2

	KJ естеств.	KJ отожжен.
$\operatorname{tg} \delta$	0,00152	0,0083

уменьшаются примерно в такой же степени, как и при насыщении кристаллов иодом. По всей вероятности, отжиг кристаллов оказывается на их электрических свойствах. Это явление изучается в настоящее время.

Относительно того факта, что увеличение электропроводности за счет «дырочного» тока не влечет за собой роста диэлектрических потерь, можно высказать следующие соображения. Поведение электронов в разных явлениях может быть весьма различно. Действительно, электрон, с одной стороны, принадлежит всей решетке в целом, а с другой—удерживается около отдельного атома, сидящего в узле. Преобладание связи электрона с решеткой или с отдельным атомом весьма существенно в различных явлениях. Так, например, в явлении фотоэффекта носителями электропроводности являются свободные электроны зоны проводимости, принадлежащие всей решетке. В явлении пробоя, повидимому, существенную роль играют электроны, у которых преобладает связь с отдельными атомами, как это следует из теории пробоя Френкеля [9]. Вероятно и в явлении диэлектрических потерь существенна принадлежность электрона к первому или второму типу связи. Явление потерь в «дырочных» и чисто электронных диэлектриках, повидимому, говорит о том, что увеличение потерь связано с электронами, принадлежащими всей решетке, с quasi свободными электронами, а не с электронами, связанными с атомами, как при «дырочной» электропроводности.

В. Электронная электропроводность

Выше было указано, что фотоэлектроны обусловливают диэлектрические потери, так как при освещении фотопроводников диэлектрические потери в них увеличиваются. Остается выяснить вопрос о диэлектрических потерях при темновой электронной электропроводности. С этой целью были взяты аддитивно окрашенные по методу Арибышева [10] кристаллы KCl. Приготовленные кристаллы выдерживались в темноте в течение трех суток, чтобы уничтожить явление возбуждения. Затем, также в темноте, производились измерения угла потерь, после чего кристалл освещался белым светом электрической лампочки в течение одной минуты, для его воз-

буждения. Вслед затем вновь измерялся угол потерь у возбужденных кристаллов в темноте. Результаты измерений представлены в табл. 3, из рассмотрения которой видно, что диэлектрические потери у возбужденных кристаллов больше, чем у невозбужденных. Эти результаты, в связи с изложенным выше, позволяют заключить, что темновой электронный ток наряду с фототоком обуславливает диэлектрические потери, а также подтверждают правильность высказанного раньше предположения о возможности увеличения потерь в аддитивно окрашенных кристаллах при возбуждении.

Сопоставляя данные о диэлектрических потерях в диэлектриках с ионной, «дырочной» и электронной электропроводностями, можно притти к выводу, что увеличение диэлектрических потерь, на примере исследованных диэлектриков, обусловлено свободными электронами, у которых преобладает связь не с отдельными атомами, а со всей решеткой в целом.

В заключение необходимо отметить, что описанные факты говорят только об одной стороне рассматриваемого явления, именно о наличии связи между увеличением электронной электропроводности в диэлектриках и ростом диэлектрических потерь в них в переменных полях высокой частоты. Дать полное описание механизма диэлектрических потерь, на основании имеющегося в настоящее время фактического материала, является преждевременным.

3. Выводы

Результаты исследования и сделанные из них выводы сводятся к следующему:

1. Измерены диэлектрические потери в кристаллах KJ естественных и насыщенных иодом.
2. Найдено, что диэлектрические потери у насыщенных иодом кристаллов KJ меньше, чем у естественных.
3. Показано, что отжиг кристаллов в таком же тепловом режиме, как и при насыщении кристаллов иодом, снижает диэлектрические потери в них примерно так же, как и насыщение иодом.
4. Промерен температурный ход потерь в кристаллах KCl и KJ в интервале температур от комнатной до +220°C.
5. Сделано заключение о том, что увеличение ионной электропроводности не вызывает увеличения диэлектрических потерь.
6. Из полученных в работе данных сделан вывод, что в твердых, однородных диэлектриках явление увеличения диэлектрических потерь обусловлено, повидимому, увеличением электронной электропроводности.

	Таблица 3	
	KCl не возб.	KCl возбужд.
$\operatorname{tg} \delta$	0,00075	0,00113

7. Явление увеличения диэлектрических потерь вызвано электронами, у которых преобладает связь со всей решеткой, с quasi свободными электронами, а не с электронами, связанными с атомами, как это имеет место при «дырочной» электропроводности.

В заключение выражаю искреннюю признательность Н. П. Калабухову за ценные указания и интерес к работе.

Академия Наук Грузинской ССР

Институт физики и геофизики

Лаборатория электронных явлений в диэлектриках

(Поступило в редакцию 2.6.1942)

ფიზიკა

ი. სიკორსკი

დელექტორიკული ძანაპარების დამოკიდებულება ძრისტალების
ელექტროგამტარებლობის ხასიათის გავლენის შესახებ

რეზუმე

ცელად მდექტრულ ველში დიელექტრიკული დანაკარგების მოვლენის შესახებ თანამედროვე შეხედულების თანახმად [1, 2], დიელექტრიკული დანაკარგები მყარ, ერთგვაროვან სტრუქტურის დიელექტრიკულში ხორციელდება ელექტროგამტარებლობით. საკითხი ელგამტარებლობის ხასიათის გავლენის შესახებ ჯერჯერობით არ არის გარკვეული. ჩვენი შრომა წარმოადგენს ცდას შეტანილი იყოს გარკვეულობა ამ საკითხში.

დიელექტრიკებში დენი შეიძლება იყოს იონური, ელექტრული და ხერელითი. ამიტომ ამ შრომაში გამოიკვლევა დიელექტრიკული დანაკარგები იონური, ელექტრული და ხერელითი დენის დროს. დანაკარგების გაზრმვა წარმოეპდა და დრუდე-ულივის მეთოდით [7] 400-სანტიმეტრიანი სიგრძის ტალღის დროს.

პირველი შემთხვევისათვის აღებული და გამოკვლეული იყო KCl-სა და KJ-ის კრისტალები ოთახის ტემპერატურიდან +220°C-მდე, როცა იონური ელექტროგამტარებლობა იზრდება ასეულჯერ. თუ იონური დენი აისხნება დიელექტრიკული დანაკარგებით, მაშინ ისინიც უნდა გაიზარდონ ასეულჯერ ტემპერატურის +220°C გადიდების დროს. ცდამ ასეთი გაზრდა არ გვიჩვენა. ტემპერატურის აღნიშნულ შუალედში, გაზრმვის სიზუსტის ფარგლებში, დანაკარგების გაზრდა არ იყო შემჩნეული (ნახ. 1 და 2). როგორც ჩანს, იონური ელექტროგამტარებლობის ზრდა დიელექტრიკული დანაკარგების სიდიდეზე გავლენას არ ახდენს.

დიელექტრიკული დანაკარგები ხერელითი ელექტროგამტარებლობის დროს შესწავლილი იყო იოდით გაედენთილ KJ-ის კრისტალებში.

KJ-ის იოდით გაედენთილ კრისტალს აქვს ათასჯერ მეტი ელექტროგამტარებლობა, ვიდრე სუფთა KJ-ის კრისტალს [3], მაშინ, როცა დიელექტრიკული

J-ით გადაწყვეტილ KJ-ის კრისტალებში შესამჩნევად მცირება, ვინერ სუფთა KJ-ის კრისტალებში, როგორც ეს ჩანს 1-ლი ცხრილის განხილვიდან. ეს იმას ნიშნავს, რომ ხელისუფლითი ელექტროგამტარებლობა ვერ სხის დიელექტრიკულ დანაკარგებას. შეიძლება ვიფიქროთ, რომ ცალკეულ ატომებთან დაკავშირებული ელექტრონები მონაწილეობას არ ღებულობენ დიელექტრიკული დანაკარგების მოვლენებში.

დიელექტრიკული დანაკარგები ელექტროგამტარებლობის დროს შემჩნეული იყო ფოტოგამტარებში. განათებისას ფოტოგამტარების დიელექტრიკული დანაკარგება ი იზრდება [4, 5].

დიელექტრიკული დანაკარგების მოვლენებში „სიბნელის ელექტრონების“ მონაწილეობა შესწავლილი იყო ადიტიურად შეღებილ KCl-ის კრისტალებში. აღმოჩნდა, რომ KCl-ის კრისტალებში დიელექტრიკული დანაკარგები და ელექტრული ელექტროგამტარებლობა აღვნებულ KCl-ის კრისტალებში მეტია, ვინერ არააღვნებული KCl-ის კრისტალში.

მიღებული შედეგები ნებას გვაძლევს ვიფიქროთ, რომ დიელექტრიკული დანაკარგების ზრდა გამოკვლეულ დიელექტრიკულებში იასხნება ელექტრონული ელექტროგამტარებლობის ზრდით, რომლის დროსაც დანაკარგების ზრდის მოვლენაში მონაწილე ელექტრონები დაკავშირებულია მთელ მესერთან და არა ცალკეულ ატომებთან.

გამოკვლევით მიღებული შედეგები და დასკვნები შეიძლება ასე ჩამოვაყლიბოთ:

1. გაზომილი იყო დიელექტრიკული დანაკარგები სუფთა და იოდით გაჟღენილ KJ-ის კრისტალებში.

2. გამორკვეულია, რომ დიელექტრიკული დანაკარგები იოდით გაჟღენილ კრისტალებში ნაკლებია, ვინერ სუფთა კრისტალებში.

3. ნაჩერენებია, რომ კრისტალების გამოწვევა ისეთივე სითბური რეებიმის დროს, როგორც კრისტალების იოდით გაჟღენოვისას, ამცირებს დიელექტრიკულ დანაკარგებს დაახლოებით ისევე, როგორც იოდით გაჟღენოვა.

4. გაზომილია დიელექტრიკული დანაკარგების ტემპერატურული დამკიცებულება ოთახის ტემპერატურიდან +220°C-დე.

5. გამოტანილია დასკვნა იმის შესახებ, რომ იონური ელექტროგამტარებლობის ზრდა არ იწვევს დიელექტრიკული დანაკარგების ზრდას.

6. შრომაში მიღებული შედეგების მიხედვით მიღებულია დასკვნა, რომ შარ ერთგვაროვან დიელექტრიკებში დიელექტრიკული დანაკარგების ზრდის მოვლენა იასხნება, როგორც ჩანს, ელექტრონული ელექტროგამტარებლობის ზრდით.

7. ელექტრონები, რომლებიც იწვევენ დიელექტრიკულ დანაკარგებს, კუთხიან მთლიან მესერს, როგორც, მაგ., ფოტოელექტრონები, და არ არიან დაკავშირებული ცალკეულ ატომებთან, როგორც ხერელითი ელექტროგამტარებლობის დროს.

საქართველოს სსრ მეცნიერებათა აკადემია

უწინეთება და გეოგრაფიული ინსტიტუტი

ელექტრონული მოვლენების ლაბორატორია დიელექტრიკებში

ЦИТИРОВАННАЯ ЛИТЕРАТУРА—СОЧИНЕНИЯ ПО ФИЗИКЕ

1. А. Александров, А. Вальтер и др. Физика лиэлектриков. ГИЗ, 1932.
 2. П. Кобеко. ЖТФ, 2, 218, 1932.
 3. Ю. А. Сикорский. Труды Ин-та физики и геофизики Акад. Наук Груз. ССР, т. VIII (в печати), 1943.
 4. Ю. А. Сикорский. Доклады АН СССР, 32, 35, 1941.
 5. А. Красин. Доклады АН СССР, 2, 356, 1934.
 6. N. F. Mott. Proc. Roy. Soc., 167, 125, 1899.
 7. W. Coolidge. Wied. Ann., 69, 125, 1899.
 8. Ю. А. Сикорский. Сообщения Академии Наук Грузинской ССР, т. III, № 2, стр. 127, 1942.
 9. Я. И. Френкель. Ж. Э. Т. Ф., 8, 1292, 1938.
 10. С. А. Арцыбышев. Труды Института Физики АН СССР, 1, 9, 1938.
-



ГЕОФИЗИКА

Е. И. БЮС

О ПРЕДВЕСТНИКАХ ЗЕМЛЕТРЯСЕНИЯ ПО НАБЛЮДЕНИЯМ
МОЛЬДЕНГАУЕРА НАД РЕЖИМОМ ЕКАТЕРИНИНСКОГО
ИСТОЧНИКА В БОРЖОМИ¹

Всемирно известный Екатерининский источник в Боржоми впервые был каптирован в 1892 г. После каптажа его режим стал объектом некоторых более регулярных наблюдений, причем главное внимание было обращено на химический состав воды, контролируемый ежегодно; измерялся также и дебит воды. Разрушительное Ахалкалакское землетрясение 31.XII.1899 г. [1] оказалось на этот источник немедленное воздействие, сказавшееся как в сильном временном увеличении его дебита (в полтора раза), так и в влиянии на самый механизм истечения воды: слабая интермитенция, наблюдавшаяся до землетрясения со вспышками через каждые $\frac{3}{4}$ часа, сменилась частым, через каждые 7—10 минут, эффектным вскипанием. Для возможности более тщательного исследования режима источника и своевременного обнаружения его изменения Ф. Мольденгауером был построен саморегистрирующий прибор «Quellenbiograph» для непрерывных наблюдений над дебитом и давлением изливающегося водяного столбика. Так как вскипания сопровождались изменением упомянутого давления, и на лентах одновременно отмечались знаки времени, можно было определить моменты всех нарушений и также период интермитенции. Записанные в течение двух лет (1901—1902 гг.) наблюдения изучались Мольденгауером; результаты его исследований в 1907 г.² Б. Б. Голицыным и А. П. Герасимовым [2] были доложены Сейсмической Комиссии. Главные из них заключались в следующем: интермитенция источника повторяется с замечательной правильностью, период заключен в пределах 7—10 минут. На фоне этой ритмической картины наблюдаются иногда нарушения записи. В большинстве случаев последние связаны с землетрясениями и большею частью предш-

¹ Вопросу о влиянии на Кавказ землетрясений на источники посвящена специальная работа автора [5]. Здесь даётся краткое извлечение из той части работы, которая трактует об открытых Мольденгауером предвестниках землетрясений в записях режима Екатерининского источника в Боржоми.

² Они позже были напечатаны в Изв. Пост. Центр. Сейсмич. Ком. [3].

ствуют им. Таким образом, в кривых режима источника имеются «предвестники» (*Vorboten*) землетрясения, опережающие последние на 2—4 часа [2].

Доклады вызвали большой интерес, выводы были признаны весьма важными и имеющими большое значение для выработки особого метода предсказания землетрясений — в случае, если указанные Мольденгауером явления подтверждатся дальнейшими наблюдениями. Этому вопросу и позже уделено было внимание со стороны Сейсмической Комиссии Академии Наук; специальная подкомиссия из представителей Сейсмической Комиссии и Геологического Комитета выработала программу будущих наблюдений. Б. Б. Голицын [4] сконструировал новые приборы для наблюдений над пульсирующими источниками, они в 1912 г. устанавливались на Екатерининском источнике [2]. Наблюдения, записанные этими приборами, не были опубликованы. В 1913 г. стало известно, что вследствие небрежного обращения с Екатерининским источником (каптажные работы) интермитенция почти полностью исчезла. Все же Сейсмическая Комиссия решила инструментальные наблюдения на этом источнике производить. В 1914 г. С. Шимановским и Л. Шарловым были построены более точные приборы для записи дебита источников, они были установлены [1] на Екатерининском источнике; производились наблюдения, но ни наблюдения, ни результаты их обработки до нас не дошли. Затем наблюдения приостановились, исчезли приборы и даже память о них.

На необходимость восстановления инструментальных наблюдений над режимом боржомских источников было неоднократно указано и автором этих строк, но дело оставалось в прежнем положении. Самописцев не установлено. Измерения вручную, в установленные сроки, с помощью секундомера и измерительных сосудов, или с водомерами, конечно, не могут заменить автоматическую непрерывную запись приборов, и сейсмологи были лишены возможности проверить по новым наблюдениям выводы Мольденгауера, которым Сейсмическая Комиссия в свое время придала, естественно, большое значение.

Не имея нового, после Мольденгауера, наблюдательного материала, мы поставили себе задачу, на его же материале, поскольку он приведен в его работе, проверить полученные им выводы. Мольденгауэр последние основывал на слишком поверхностно проведенном сличении кривых, записанных его «*Quellenbiograph*ом», с наблюдениями Тифлисской сейсмической станции, опубликованными в ее бюллетенях.

Он основывался, главным образом, на пяти типичных случаях нарушения интермитенции, поэтому мы рассмотрели весьма тщательно землетрясения, связанные с этими случаями Мольденгауером. Из сопоставления тбилисских сейсмических инструментальных наблюдений [5] с таковыми ряда заграничных сейсмических станций выяснилось, что землетрясения для всех пяти случаев имеют далекое происхождение и очаги, лежащие за



несколько тысяч километров от пределов Кавказа. С другой же стороны, в дни этих нарушений режима источника в Боржоми на территории Кавказа ни одного землетрясения не ощущалось. Отсюда ясно, что не местные кавказские землетрясения были причиной нарушения режима Екатерининского источника. Мы в другом месте [5] на ряде примеров показали, что нарушения в режиме вод на Кавказе вызывались землетрясениями из эпицентров, расположенных вообще не дальше 150—200 км от источника, причем в местности самого источника землетрясение ощущалось с силой не ниже 4 баллов. Дальнодействие землетрясений на источники допускалось раньше, и в доказательство приводились случаи воздействия Лисабонского землетрясения (1755 г.) на термальные источники в Калсбаде и Теплице (Богемия). Но эти сообщения не соответствовали действительности и упомянутого дальнодействия¹ ни сейсмологи, ни геологи уже не могли признать. Если же дальнодействия нет, то указанные Мольденгауером нарушения режима Екатерининского источника не связаны с приведенными им далекими землетрясениями, а вызваны другими неизвестными причинами. Нет, таким образом, предвестников землетрясений Мольденгауера; отпадает, естественно, возможность выработки метода предсказания землетрясения по «предвестникам».

Должны быть внесены соответствующие корректизы в те руководства (напр., Принц-Кампе, Гидрогеология, II), где приводятся наблюдения и выводы Мольденгауера о предвестниках землетрясений.

Мы продолжаем считать необходимым непрерывный инструментальный контроль над источниками, особенно такими, как Екатерининский в Боржоми. Это важно и для бальнеолога и для сейсмолога. Подобные наблюдения нам представляются весьма важными для выяснения некоторых вопросов кавказской региональной сейсмологии. Нам кажется, что, при некоторых благоприятных сочетаниях гидрогеологических и сейсмотектонических условий района, ход инструментально зарегистрированной кривой жизни источника позволит найти пути узколокального прогноза землетрясений.

Академия Наук Грузинской ССР
Институт физики и геофизики
Тбилиси

(Поступило в редакцию 27.10.1942)

¹ Если бы дальнодействие, а также мольденгауэрские «предвестники» существовали реально, вопрос о прогнозе землетрясений конкретно все же оказался бы несостоятельным. По Зибергу, ежегодно ощущается около 5000 землетрясений, из которых свыше сотни катастрофических. Даже при большом числе обследуемых источников трудно было бы согласовать между собою все нарушения и связать их с определенным далеким землетрясением. Кроме того, не следует упускать из виду, что неконтролируемые физико-химические процессы в недрах ювелирных вод могут со своей стороны вызвать внезапные нарушения режима.

ე. ბიუსი

მიწისძვრის მინასჭარგაუზებელი ნიმუშის შესახებ მოღვაწეთა ურჩის
 მიერ გორგომის (მარტინიშვილი) მინასალური ჯარის აღმიგზა
 ჩატარებულ დაკვირვებათა მიხედვით

რეზუმე

1901 და 1902 წლებში ფ. მოლდენჰაუერი აჭარმოებდა ინსტრუმენტალურ დაკვირვებებს ბორჯომის (ეკატერინეს) მინერალურ წყაროთა რეზისზე. შემდეგი, ახალი დაკვირვებები არ არის. ამიტომ არ არის შესაძლებლობა შემდგომ დაკვირვებათა მასალებზე მოვახდინოთ შემოწმება მოლდენჰაუერის მიერ მიღებული შესანიშნავი დასკვნების სისწორისა, რომელმაც მოგვცა მინერალურ წყაროთა რეზიმის დიაგრამებში მიწისძვრის „წინასწარმაუწყებელი“ ნიშნები.

მოლდენჰაუერის შრომაში მოცემულია დაკვირვებები, რომლის საფუძველზე ის მიერთა ონიშნულ დასკვნებამდე.

ჩვენ გადავწყვიტეთ მისივე დაკვირვებებზე შევვემოწმებია სინამდევილე „წინასწარმაუწყებელი“ ნიშნებისა.

დაკვირვებითი მასალების კრიტიკულმა განხილვამ არ დაამტკიცა მოლდენჰაუერის დასკვნები: მინერალურ წყაროთა რეზიმის ინსტრუმენტალურ ჩანაწერებში მიწისძვრის „წინასწარმაუწყებელი“-ს არაეითარი ნიშნები არ იყო. ნორმიდან გადახრა არ იყო გამოწვეული მიწისძვრებით, როგორც მას ეს მიაჩნდა.

არ შეიძლება ამიტომ . არსებობდეს მიწისძვრის „წინასწარმეტყველების სპეციალური მეთოდი მოლდენჰაუერის „წინასწარმაუწყებელი“ ნიშნების საფუძველზე, რასაც თავის დროზე ემყარებოდა პეტერბურგის მეცნიერებათა აკადემიის მუდმივი ცენტრალური სეისმური კომისია.

საქართველოს სსრ მეცნიერებათა აკადემია
 ფიზიკისა და გეოფიზიკის ინსტიტუტი
 თბილისი

GEOPHYSICS

ON THE «PRECURSORS» OF EARTHQUAKES ACCORDING TO MOLDENHAUER'S OBSERVATIONS ON THE CATHERINE-SPRING IN BORJOMI (GEORGIA)

By E. BüSS

Summary

Instrumental observations of the Catherine-Spring activity in Borjomi had been carried out by F. Moldenhauer in the course of 1901 and 1902. No



subsequent data being at hand it is impossible to verify the remarkable opinions conceived by Moldenhauer on the appearance of earthquake «precursors» in diagrams. Hence I decided to use his own observations, in order to find out whether such «precursors» were present. A critical examination of the whole observational material did not confirm Moldenhauer's conclusions, and showed the absence of any «precursors» in the records on the Spring activity. The deflection from the normal state had not been caused by earthquakes, as Moldenhauer supposed. Therefore, no special method of earthquake prediction can base on his «precursors», in spite of the expectations of the Central Seismological Committee (Academy of Sciences, St. Petersburg) at that time.

Academy of Sciences of the Georgian SSR

Institute of Physics and Geophysics

Tbilissi

ЦИТИРОВАННАЯ ЛИТЕРАТУРА—**СОЧИЕНИЯ ИЗДАНИЯ**—REFERENCES

1. В. Г. Шапошников. Анализ Екатерининского и других источников в Боржоми. Труды XIII Съезда Русск. Ест. и Врачей, т. VI. Тифлис, 1916.
2. Изв. Пост. Центр. Сейсм. Комиссии, т. V. С.-Петербург, 1913.
3. Fr. Moldenhauer. Seismische Einwirkungen auf den Charakter der Lebenstätigkeit intermittierender Quellen. (Изв. Пост. Центр. Сейсм. Комиссии, т. V).
4. Б. Б. Голицын. Приборы для наблюдений над пульсирующими источниками. Изв. Пост. Центр. Сейсм. Комиссии, т. V.
5. Е. И. Бюс. К вопросу о влиянии на Кавказе землетрясений на источники и о «предвестниках» землетрясений Мольденгауера (в печати).



ТЕХНИКА

А. Г. НАЗАРОВ и К. М. ХУБЕРЯН

К РАСЧЕТУ КАРКАСОВ МАСКИРОВОЧНЫХ СЕТЕЙ

Несмотря на широкое применение маскировочных сетей, методы статического расчета их каркасов мало разработаны, что ставит проектирующие организации в затруднительное положение. Известная работа Маркуса по теории упругих сеток, несмотря на ее достоинства, не может полностью обслужить проектировщика, так как в ней рассмотрены лишь типы сеток, удобные для расчета плит по методу конечных разностей [1]. Наиболее же распространенные типы сеток, применяемые в качестве каркасов маскировочных сетей, установлены из условия удобства монтажа и натягивания каркасов. Чтобы восполнить имеющийся пробел, А. П. Синицыным был предложен приближенный метод расчета для сеток любых типов [2]. Произведенный нами анализ показал, что метод этот обладает следующими недостатками:

1) Неизвестна степень погрешности расчета, возникающая вследствие принятых допущений. Более того, по этому способу могут быть рассчитаны сетки, произвольно вычерченные, геометрическая структура которых такова, что невозможно осуществить равновесное состояние сетки в плане под действием сил тяжения, приложенных по контуру, без изменения конфигурации сетки.

2) Несмотря на существенные, на первый взгляд, упрощения, расчет все же остается довольно сложным и вместе с тем условным, в особенности при наличии свободных узлов на контуре. В последнем случае требуется дополнительное соблюдение граничных условий, заключающихся в отсутствии для свободных узлов опорных реакций.

Нами разработан метод расчета, лишенный этих недостатков и дающий простые и вместе с тем точные результаты для всех наиболее употребительных типов сеток [3].

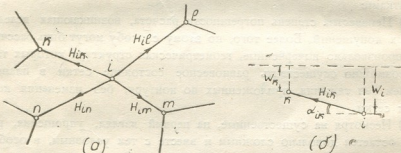
Сущность предлагаемого метода заключается вкратце в следующем. Сетка находится под воздействием двух групп сил: сил тяжения в плане и вертикальной нагрузки. Силы тяжения в плане при достаточно малых вертикальных перемещениях узлов и достаточной податливости опорных закреплений в плане, что практически всегда имеет место, не зависят от поперечных смещений узлов и полностью определяются начальными силами тяжения, приложенными по контуру сетки. Обстоятельство это может быть использовано для разделения расчета сетки на две независимые части:

1) Исследование условий равновесия сетки в плане под действием контурных сил тяжения, установление соотношений между ними для обеспечения этих условий и определение всех сил в зависимости от контурных.

2) Исследование условий равновесия сетки в поперечном направлении при заданных вертикальных нагрузках.

Первая, вообще говоря, наиболее трудная часть задачи решается применительно к заданным типам сеток в зависимости от их структуры. Важно, что для распространенных типов сеток, применяемых на практике, задача эта решается довольно просто.

Вторая часть задачи, при условии замены сплошной нагрузки эквивалентными сосредоточенными грузами, приложенными к узлам сетки, сводится к исследованию равновесия пространственного веревочного многоугольника, находящегося под воздействием сосредоточенных сил, что осуществляется весьма просто. Такая замена сплошной нагрузки сосредоточенными силами тем менее отражается на точности расчета, чем большее количество ячеек имеет сетка. Уравнения равновесия узлов сетки устанавливаются следующим образом [1]. Выделим из сетки какой-либо узел i и смежные с ним узлы k, l, m, n и т. д. (см. фиг. 1а).



Фиг. 1.

Вертикальные смещения этих узлов обозначим через W_i, W_k, W_l, W_m, W_n . Пусть длины струн ik, il, im, in будут соответственно $l_{ik}, l_{il}, l_{im}, l_{in}$, а силы натяжения, действующие в них и заранее вычисленные, равны $H_{ik}, H_{il}, H_{im}, H_{in}$. Условие равновесия узла i , если к нему приложен груз P_i , при малых W , согласно фиг. 1а и 1б, имеет вид:

$$P_i = \sum_k H_{ik} \frac{W_i - W_k}{l_{ik}} = W_i \sum_k \frac{H_{ik}}{l_{ik}} - \sum_k \frac{H_{ik} W_k}{l_{ik}}, \quad (1)$$

где суммирование распространяется на все струны, сходящиеся к узлу i . Таких уравнений можно написать столько, сколько имеется свободных,

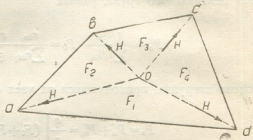
т. е. незакрепленных узлов. Поскольку свободно висящие контурные узлы также полностью подчиняются условиям равновесия в плане, уравнения типа (1) справедливы и для них. Отпадает поэтому необходимость в особом рассмотрении этих узлов для удовлетворения граничным условиям, что связано с решением системы однородных уравнений, в которых за неизвестные принимаются смещения свободных контурных узлов. Последние подбираются таким образом, чтобы опорные реакции для свободных узлов были равны нулю (это приходится делать при упомянутом выше способе [2]).

Точную замену распределенной нагрузки сосредоточенными узловыми грузами довольно затруднительно осуществить. На практике передача сплошной нагрузки на изучаемую нами сетку, представляющую каркас, осуществляется с помощью более мелкой сетки, называемой маскировочным ковром [4, 5]. Пожалуй, наиболее правильный путь, определения нагрузок на каркас заключался бы в решении задачи о вспомогательной сетке, имеющей своим контуром рассматриваемую ячейку основного каркаса. Тогда можно было бы вычислить опорные давления, приходящиеся от узлов вспомогательной сетки на струны каркаса, ограничивающие ее. После этого нетрудно было бы определить по закону рычага нагрузки, приходящиеся на смежные узлы, ограничивающие рассматриваемую струну. Однако, в каркасе имеется достаточно большое количество ячеек. Стало быть, те или иные допущения относительно характера распределения сплошной нагрузки по узлам в итоге не должны существенно повлиять на стрелу провисания сетки в целом. Поэтому мы остановились на двух приближенных приемах приведения распределенных нагрузок к узловым.

Первый способ основан на приближенной интерпретации только что описанного более точного приема. За вспомогательную сетку, перекрывающую ячейку основного каркаса, принимается сетка с одним лишь узлом, расположенным в центре тяжести ячейки, и струнами, расходящимися к ее вершинам. На фиг. 2 показана одна из ячеек сетки с узлами a , b , c , d .

Струны вспомогательной сетки, соединяющие центр тяжести o с вершинами контура ячейки, показаны пунктирными линиями. Таким образом, ячейка разбивается на треугольники, площади которых равны F_1 , F_2 , F_3 , F_4 . На вершину a непосредственно передается нагрузка, равная

$$P'_a = \frac{q}{3} (F_1 + F_2).$$



Фиг. 2

На центральный узел o передается нагрузка

$$P_0 = \frac{q}{3} (F_1 + F_2 + F_3 + F_4) = \frac{qF}{3},$$

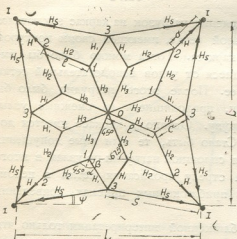
где F — площадь всей ячейки.

Принимая приближенно, что все вспомогательные струны натянуты с одинаковой силой H , малой в сравнении с силами тяжения элементов основного каркаса, найдем, согласно (1), что на вершину a передается доля центрального груза, равная

$$P_a'' = \frac{I/l_{0a}}{\sum I/l_{0i}} P_0 = \frac{r_{0a}}{\sum r_{0i}} \frac{qF}{3}, \text{ где } r_{0i} = \frac{I}{l_{0i}}.$$

Полная нагрузка, приходящаяся на узел a от данной ячейки, равна:

$$P_a = P_a' + P_{a0} = \frac{q}{3} \left[(F_1 + F_2) + \frac{r_{0a}}{\sum r_{0i}} \frac{F}{3} \right].$$



Фиг. 3.

Второй способ заключается в следующем. Изображенные на фиг. 2 треугольники с весами qF_1 , qF_2 и т. д. поворачиваются мысленно вокруг соответствующих ребер ad , ab и т. д. и устанавливаются вертикально. Вес каждого треугольника, сосредоточенный в его центре тяжести, следует распределить по закону рычага между соответствующими узлами. Расхождение между указанными двумя способами в отношении получаемых величин грузов может достигать 10—15%.

Но величины расчетных максимальных прогибов,

как показали сравнительные примеры, при обоих способах получаются неизначительно отличающимися друг от друга (примерно на 0,5%). Поэтому безразлично, каким из указанных способов пользоваться в дальнейшем. Приведем пример расчета для каркаса типа «звездочка», показанного на фиг. 3.

Квадратное поле стороныю L перекрыто восьмиконечной звездой. Диагональные вершины звездочки прикреплены к стойкам I. Промежуточ-

ные узлы 3 на контуре свободны. Они удерживаются в равновесии посредством контурных тяжей I—3—I, натянутых под усилием H_3 и составляющих угол ϕ со стороной квадрата. Диагональные тяжи I—2 натянуты посредством блоков с силой H . Требуется определить действующие усилия H_3 , H_1 , H_2 и H_3 вдоль тяжей I—3, I—3, I—2 и I—O в зависимости от H , а также прогибы W_0 , W_1 , W_2 и W_3 узлов 0, I, 2 и 3 при равномерной нагрузке на сетку q т/м² и $\operatorname{tg} \phi = \frac{l}{6}$.

Исследуем условия равновесия сетки в плане.

Равновесие узла 2 будет обеспечено при

$$H_2 = \frac{H}{2 \cos \frac{45^\circ}{2}}.$$

Проектируя теперь все силы, сходящиеся к узлу I, на направление, перпендикулярное к O—I, найдем:

$$H_1 = \frac{H_2 \sin 45^\circ}{\sin \alpha}.$$

Проектируя все силы на направление O—I, получим:

$$H_3 = H_2 \cos 45^\circ + H_1 \cos \alpha.$$

Наконец, из равновесия узла 3 следует

$$H_3 = H_1 \frac{\sin \beta}{\sin \phi}.$$

Равновесие узла 0 обеспечивается центральной симметрией каркаса и равенством по абсолютной величине всех сил, сходящихся к нему. Геометрические параметры каркаса $\operatorname{tg} \phi = \frac{l}{6}$ вычислены; они равны:

$$\begin{aligned} l &= 0,2706L; \quad d = 0,2071L = 0,7654l, \quad s = 0,5069L = 1,8732l, \\ c &= 0,7242l; \quad \beta = 58^\circ 9'; \quad \alpha = 54^\circ 21'. \end{aligned} \tag{2}$$

По подстановке необходимых числовых величин в предыдущие выражения найдем:

$$H_I = 0,4716H; \quad H_2 = 0,5412H; \quad H_3 = 0,6581H; \quad H_s = 2,4367H. \tag{3}$$

Обозначая вертикальные нагрузки, приложенные к узлам 0, I, 2 и 3, соответственно через P_0 , P_1 , P_2 , P_3 и пользуясь условиями (1), можем написать уравнения равновесия сетки в поперечном направлении:

$$\begin{aligned} 8 \frac{H_3}{l} (W_0 - W_1) &= P_0, \quad W_1 \left(\frac{H_3}{l} + \frac{H_1}{c} + \frac{H_2}{l} \right) - \frac{H_1}{c} W_3 - \frac{H_3}{l} W_0 - \frac{H_2}{l} W_2 = P_1, \\ W_2 \left(\frac{2H_2}{l} + \frac{H}{d} \right) - \frac{2H_2}{l} W_1 &= P_2, \quad W_3 \left(\frac{2H_1}{l} + \frac{2H_s}{s} \right) - \frac{2H_1}{c} W_1 = P_3. \end{aligned} \tag{4}$$

Эквивалентные сосредоточенные грузы P_i определены по второму способу, изложенному выше. Если пренебречь, в запас, ущербами в площади каркаса в связи с наличием углов ψ , то есть принять полную площадь квадрата, то:

$$P_0 = 1,08ql^2; \quad P_1 = 0,691ql^2; \quad P_2 = 0,629ql^2; \quad P_3 = 0,741ql^2 \text{ и } P_4 = 0,39ql^2.$$

Последний груз не фигурирует в уравнениях, так как он приложен к неподвижному узлу I. Если подставить величины этих грузов в уравнения (4), а все встречающиеся там параметры выразить в зависимости от $\frac{L}{H}$, согласно (2) и (3), то получим:

$$W_0 - W_1 = 0,0555ql^2 \frac{L}{H},$$

$$2,812W_1 - 0,989W_3 - W_0 - 0,822W_2 = 0,284ql^2 \frac{L}{H},$$

$$2,207W_2 - W_1 = 0,157ql^2 \frac{L}{H},$$

$$2,988W_3 - W_1 = 0,154ql^2 \frac{L}{H}.$$

Решив эту систему уравнений, найдем:

$$W_0 = 0,460ql^2 \frac{L}{H}, \quad W_1 = 0,404ql^2 \frac{L}{H},$$

$$W_2 = 0,254ql^2 \frac{L}{H}, \quad W_3 = 0,254ql^2 \frac{L}{H}.$$

Контролем правильности вычислений может послужить определение суммарных опорных давлений, передаваемых на стойки I, которые должны равняться полной нагрузке на каркас (в данном случае qL^2). Пользуясь формулой (1) и принимая во внимание симметричность нагрузки, найдем:

$$Q = 4 \left[P_1 + 2 \frac{W_3}{s} H_s + \frac{W_2}{d} H \right].$$

Подставив сюда численные значения всех величин, получим:

$$Q = 4 [0,39 + 2 \times 0,186 \times 4,807 + 0,254 \times 4,877] ql^2$$

$$= 13,668ql^2 = 13,668 \times 0,2706^2 qL^2 = 1,0008qL^2,$$

т. е. расхождение с действительной величиной нагрузки составляет всего лишь 0,08%.

Расчетным прогибом является W_0 . Если залаться определенным отношением W_0/L , называемым на практике в пределах $\frac{1}{30} - \frac{1}{60}$ [4], то тяжение H определится из уравнения

$$H = \frac{0,46ql^2}{W_0/L}. \quad (5)$$

Этим фиксируются все усилия, действующие в каркасе, определяемые формулами (3). Дополнительные подсчеты показали, что расчетной формулой (5) можно с достаточной точностью пользоваться и при иных значениях $l \phi$, называемых на практике. Конечно, силы тяжения, в особенности H , должны быть вычислены при этом точно из условий равновесия, как это было показано выше. Пользуясь изложенным методом, мы дали расчетные формулы для ряда типов сеток, применяемых на практике [3].

Академия Наук Грузинской ССР
 Бюро Антигейсмического строительства
 Тбилиси

(Поступило в редакцию 30.9.1942)

0000000

ა. ნაზაროვი და კ. ხუაერიანი

შემოსილება კარкаსის ბაზის ტრანსიზოს ანგარიშისათვის

რეზუმე

მიუხედავად იმისა, რომ შემნიღბავი ბაზების მოხმარება ფართოდ არის გავრცელებული, მათი კარკასების სტატიკური გაანგარიშების მეთოდები ნაკლებად დამუშავებულია, რაც საგრძნობლად აბრკოლებს საპროექტო ორგანიზაციების მუშაობას. ჩვენ მიერ დამუშავებულია გაანგარიშების პრაქტიკული მეთოდი, რომელიც იძლევა ყველაზე მეტად გავრცელებული კარკასების ტიპების მარტივი გაანგარიშების საშუალებას. მეთოდის ძირითადი არსი გამოიხატება შემდეგში: ბაზე განიცდის ორ დამოუკიდებელ ძალთა ჯგუფის მოქმედებას: დაჭიმვის ძალები ჰორიზონტალურ სიბრტყეში და ვერტიკალური დატვირთვა. ამიტომ ბაზის გაანგარიშება შეიძლება გაიყოს ორ დამოუკიდებელ ნაწილად.

1. გამოკვლევა იმ პირობებისა, რომლებიც ქმნიან ბაზის წონასწორობას ჰორიზონტალურ სიბრტყეში, კონტურზე მიყენებულ დაჭიმვის ძალების ზემოქმედების დროს ძალთა შეფარდების განსაზღვრა წონასწორობის პირობების უზრუნველსაყოფად. შრომის ეს ნაწილი სრულდება ცალკე ბაზის ყოველ კონტური ტიპისათვის.

2. ბაზის ვერტიკალურ სიბრტყეში წონასწორობის პირობათა გამოკვლევა.

тү мөллюн დატვირთვას შევცვლით ეკვივალენტური შეყურსული ტვირთებით, რომლებიც მიყენებულია კვანძებზე (რომელიმე დაახლოებითი წესის მიხედვით, რომელიც ჩვენ მიერ არის განხილული), წონასწორობის პირობები იძლევიან ცნობილ განტოლებას [1]. უკანასკნელთა საშუალებით განისაზღვრებიან ბადის კვანძთა ჩაღუნები. ტექსტში მოცემულია კარგასის ანგარიშის მაგალითი (ნაბ. 3), რომელიც ამ მეთოდის სიმარტივეს ააშეარავებს იმ შემთხვევაშიაც, როდესაც ჩვენ გვაქვს საქმე თავისუფალ სისახლერო კვანძებთან. აღწერილი მეთოდის საშუალებით ჩვენ ვიძლევით საანგარიშო ფორმულების მთელი რიგი ბადეებისათვის, რომლებიც გამოიყენებიან პრაქტიკაში [3].

საქართველოს სსრ მეცნიერებათა აკადემია
 ანტისეისმური მშენებლობის ბიურო
 თბილისი

ЦИТИРОВАННАЯ ЛИТЕРАТУРА—СИСТЕМАЗАДОЛЮ АДМИНИСТРАЦИИ

1. Маркус. Теория упругой сетки и ее приложение к расчету плит и безбалочных перекрытий. ГТТИ Украины.
2. А. П. Синицын. Расчет сеток. Вестник Военно-инженерной Академии РККА им. В. В. Куйбышева, 20. Сборник по строит. механике II. Изд. Военно-инж. Академии РККА им. В. В. Куйбышева, 1937.
3. А. Г. Назаров и К. М. Хуберян. Статический расчет каркасов маскировочных сетей (в печати).
4. Маскировка. Всенизлат НКО СССР, 1941.
5. С. Я. Миронцев. Декоративная маскировка. Изд. ВИА РККА им. В. В. Куйбышева, 1939.

ХИМИЯ

Р. И. АГЛАДЗЕ

ВОЗНИКНОВЕНИЕ ГАЛЬВАНИЧЕСКИХ ПАР
ПРИ ЭЛЕКТРОЛИЗЕ $MnSO_4$

Ниже сделана попытка проанализировать основные причины нарушения нормального процесса при электролитическом осаждении металлического марганца [1].

1. Попадание анолита в католит. При проедании диафрагмы, из-за переполнения ванны, а также по другим причинам анолит может попасть в катодное пространство. Находящаяся в анолите во взвешенном состоянии двуокись марганца оседает на катоде. В местах осаждения MnO_2 прекращается процесс отложения металлического марганца и происходит только выделение водорода.

Там, где на катоде осела MnO_2 , образуется гальваническая пара, которая дает ток обратного электролизу направления. Так как в этой гальванической паре MnO_2 занимает положение катода, а анодом служит катодное наслойение металлического марганца, то наступает процесс обратного растворения ранее отложенного металлического марганца. Однажды начавшееся обратное растворение катодного отложения очень трудно остановить; а в результате анодного растворения марганца [2] образуются новые количества MnO_2 и покрытая двуокисью поверхность катода все время расширяется (см. рис. 1).

Для восстановления нарушенного процесса лучше всего слить католит, произвести промывку диафрагмы ипустить ванны на свежем или на старом, но отфильтрованном и откорректированном католите при новых катодах. Попавшая в католит MnO_2 оседает на катодах и на дно диафрагм. Иногда возможно восстановить нормальный процесс катодного отложения путем замены только катодов.

2. Колебание величины pH католита. Если при малых значениях pH (менее 4-x) возможно обратное растворение отложенного на катодах марганца, то при больших pH католита возможно выпадение гидроксида. Она выпадает тем легче, чем выше концентрация $MnSO_4$ и меньше количество растворенного в электролите сульфата аммония [3]. Выпавшая в очень малом количестве $Mn(OH)_2$ вызывает слабое помутнение католита, однако, из таких растворов все же удается продолжать катодное отложение.

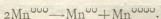
тие металлического марганца. Образованная в щелочном католите $Mn(OH)_2$, выделившимся водородом подымается на поверхность электролита, где кислородом воздуха окисляется до $Mn(OH)_3$. Мутный католит с бархатной поверхностью — первый признак щелочной среды. На покрытой $Mn(OH)_2$ поверхности катода перенапряжение водорода небольшое, ввиду чего разряд ионов марганца прекращается и происходит выделение одного водорода. В этом случае одно корректирование pH является недостаточным и приходится заменять как катод, так и католит и тщательно промывать диафрагму.

Наличие на дне катодных ячеек белого осадка $Mn(OH)_2$, не вредит катодному отложению металла, особенно в том случае, когда нижний край катода находится на столь достаточной высоте от дна катодной ячейки, что выделившимся на катоде пузырьками водорода осадок не взмучивается и католит остается прозрачным.

Если в результате возрастания pH образованная в католите гидрокись не успела окислиться, то иногда бывает возможным производить высаживание металла из этого же католита, но после не длительного выключения ванны. При отсутствии тока булькания водорода в католите не происходит, католит не перемешивается и после отстаивания $Mn(OH)_2$ становится прозрачным.

3. Повышение температуры электролита. Чем ниже температура водного электролита, тем лучше. Повышение температуры всегда приводит к уменьшению выхода по току и усиленному выделению водорода и аммиака. Увеличение выделения водорода связано с уменьшением перенапряжения водорода с повышением температуры [4]. Рекомендованная температура 15—25°C.

4. Неточное регулирование восстановительной среды католита. При электролизе часть Mn^{++} окисляется на аноде [5] до Mn^{+++} . Трехвалентные ионы стремятся к катоду. При проникании Mn^{+++} в католит образуются четырехвалентные соединения, гидролизом коих получается MnO_2 .



Неоднократные указания исследователей о больших трудностях [6] длительного катодного наращивания марганца, по нашему мнению, связаны именно с образованием на катоде гальванических пар $Mn-MnO_2$. В католите MnO_2 может образоваться не только из трехвалентных ионов марганца, но и за счет расщепления проникнувших из анолита более высоковалентных ионов марганца.

В 1935 г. в МХТИ им. Менделеева из большого числа опытов электролиза водных растворов $MnCl_2$ и $MnSO_4$ только в нескольких удалось длительно катодно высаживать марганец. Причина успеха этих опытов, как выяснилось впоследствии, состояла в Na_2S , который был добавлен в

определенном избытке при предварительной отчистке сульфатного раствора от никеля. Избыток Na_2S создавал восстановительную среду, в которой попавшие из аналита ионы Mn^{++} моментально восстанавливались. Это исключало возможность образования гальванических пар на катоде и протекание процесса обратного растворения отложенного на катодах металлического марганца. Тот факт, что положительное влияние избытка сульфидного осадителя обнаружилось не только при работе с Na_2S , но и при $(NH_4)_2S$, BaS , K_2S , и даже SO_2 , говорит за то, что дело именно в концентрации восстановителя.

Для стабильности катодного процесса лучше всего контролировать концентрацию восстановителя в электролите раствором иода (титрование с помощью крахмала) и поддерживать ее на уровне, эквивалентном 0,001 N раствора иода (100 см³ католита титруется 1,0 см³ 0,1 N раствора иода).

Независимо от того, каким путем создана в католите восстановительная среда: путем ли избытка осадителя $[Na_2S, (NH_4)_2S, BaS]$ при сульфидной отчистке, как это делали мы, или с помощью SO_2 , как это делал Shelton [7] и его последователи [8], необходимо систематически корректировать восстановительную среду католита. Недостача восстановителя способствует обратному растворению катодного отложения; при небольшом избытке восстановителя получаются серовато-тусклые, содержащие большое количество серы (до 0,085%), катодные отложения, а при большом избытке восстановителя катод покрывается серым налетом и дальнейшего наращивания марганца не происходит.

Для уменьшения количества восстановителя в католите может быть рекомендована фильтрация его через окисляющий слой электролитической MnO_2 или взмучивание католита с двуокисью марганца с последующим отделением раствора от MnO_2 путем декантации.

5. Влияние временного выключения тока. Прекращение тока, хотя бы кратковременное, приводит к реагированию отложенного на катоде металлического марганца с электролитом.

В отсутствии тока электролизер сам превращается в источник тока. При большом числе включенных в серию ванн обратный ток весьма значителен. При работе ванны в качестве источника тока (аккумулятора), катод превращается в анод и в результате окислительного процесса темнеет.

Если при выключении тока катод столь быстро вынут, что не успел окислиться, то впоследствии возможно продолжить наращивание металла, опуская катод под током. В ванне, в которой при прекращении тока отложение растворялось, после повторного включения тока нормальный процесс высаживания металла не восстанавливается и приходится заменять не только катод, но и католит. Необходимость замены католита связана с его помутнением за счет образования при растворении марганца гидроокислов и окислов. Для регенерации таких мутных католитов необходимо их не

только отфильтровывать, но и корректировать на восстановитель, количество которого в растворе при растворении металла быстро убывает.

6. Плохая предварительная подготовка катодов. Недостаточно тщательная очистка катодов, неровная, волнистая их поверхность, плохо проведенные операции предварительного травления, и обезжиривания—часто бывают причиной отсутствия осадка марганца из хорошо очищенного и откорректированного электролита. Лучше всего металлический марганец отлагается на катодах из нержавеющей стали с содержанием 18% хрома и 8% никеля. Если катоды, с которых отложение не полностью стравилось, не могут быть использованы, то и перетравление катодов также недопустимо. При долгом нахождении катодов из нержавеющей стали в травильной жидкости, содержащиеся в стали хром и никель выщелачиваются и катод превращается в «ржавеющий», на котором, ввиду малого перенапряжения водорода, выделение марганца не происходит.

На волнистой поверхности катода, вследствие неравномерной плотности тока, отложение происходит не на всю поверхность.

7. Резкие колебания температуры. Быстрое изменение температуры католита бывает причиной шелушения, растрескивания и отслаивания катодного осадка. Катод с растреснутым отложением должен выниматься, в противном случае произойдет осыпание отложения и начнется обратное растворение металла. Причина отслаивания и растрескивания в значительном различии температурных коэффициентов расширения марганца и катодной стали.

8. Колебание плотности тока. Шелушение и отслаивание катодных отложений марганца часто связано с резким изменением плотности тока. По этой же причине происходит образование слоистых отложений, которые причиняют много хлопот при снятии металла с катодов.

Значение оптимальной плотности тока зависит от температуры электролита, качества катодного материала, состава и концентрации электролита, температуры окружающей среды, скорости протекания и обновления электролита, конструкции электролизера и ряда других факторов.

В зависимости от перечисленных выше факторов для электролизеров выбирается плотность тока в пределах 1,6—4,0 ампер на dm^2 катодной поверхности.

При недостаточной плотности тока выделение металлического марганца не происходит и катод покрывается черным, слизистым налетом. Значение плотности тока, при которой можно производить высаживание марганца для поверхности катода из нержавеющей стали больше, чем для катода, на котором уже нанесен слой металлического марганца.

Полученные при большой плотности тока, особенно на краях катода, дендриты осыпаются на дно катодной ячейки и вызывают образование гидроокиси марганца, которая взмучивает католит и после окисления па-

рушает нормальное катодное наращивание металла. Чем больше плотность тока, тем более загрязнен катодный марганец включениями окислов и гидроокислов. Чем больше плотность тока, тем выше должна быть кислотность анонита для выравнивания рН.

Аноды и катоды должны быть полностью спонтирированы и находиться в параллельных плоскостях. Неравномерное распределение тока между параллельно включенными электродами большей частью бывает вследствие неоднородности контактов, за чисткой которых приходится следить особенно тщательно.

9. Влияние изменений концентрации электролита. При малой концентрации сульфата аммония в электролите, во избежание выпадения $Mn(OH)_2$, необходимо работать при меньших значениях рН, что связано с увеличением расхода электрической энергии.

Концентрацию сульфата аммония в электролите рекомендуется поддерживать в пределах: от 170 до 220 г/л. Большая концентрация $MnSO_4$ в католите способствует выпадению $Mn(OH)_2$. При малой концентрации сульфата марганца анонит сначала принимает розовую окраску за счет образования Mn^{+++} ; эта окраска впоследствии затемняется коричнево-черным осадком MnO_2 .

Концентрацию ионов марганца в католите рекомендуется поддерживать в пределах от 10 до 50 г/л. При соблюдении рекомендованной концентрации электролита (уд. вес 1,1) и межэлектродном расстоянии в 8—12 см напряжение на ванне составляет от 4 до 6 вольт.

10. Загрязнение диафрагмы и аподных ячеек. На дне диафрагмы часто собираются дендриты, которые большей частью осыпаются при вынимании катода. Перед пуском нового катода эти дендриты должны быть тщательно выбраны или растворены в кислом аноните.

Образовавшийся в анодных ячейках электролизеров осадок MnO_2 должен систематически выводиться из ванны. В случае большого количества анодного шлама катодные отложения чернеют, особенно против мест, где осадок MnO_2 прилегает к диафрагме.

11. Наличие в электролите более положительных чем марганец металлов. Ионы железа, никеля, кобальта, меди, свинца, цинка и др., попав в электролит, приводят к расстройству процесса катодного отложения марганца. Отрицательное их влияние состоит в том, что они, осаждаясь из растворов на катоде, образуют с марганцем гальванические пары. В этих парах марганец становится анодом, а на ставшей катодом поверхности, покрытой более положительным металлом, выделяется водород.

В нашей практике была обнаружена причина накапливания в очищенном электролите положительных ионов. Это, во-первых, недостаточная чистота анодного материала, из которого образованной во время электролиза сер-



卷之三

ной кислотой выщелачивались положительные металлы и, во-вторых, попадание в электролит азотной и соляной кислот, которые, растворяя свинец анода, переводят его в раствор.

Академия Наук Грузинской ССР
Тбилисский Химический Институт

(Поступило в редакцию 16.10.1942)

ଶ୍ରୀମଦ୍ଭଗବତ

Digitized by srujanika@gmail.com

მეტალურგი მანქანის ელექტროლიზით მიღების დროს ნორმალური
პროცესის დაჩრდვის შეზღუდვის ანალიზი

ଲେଖକ

წყალში ხსნარების ელექტროლიზით მანგანუმის მიღებისას ნორმალური პროცესი უმთავრესად ირლევა კათოდზე გალვანური წყვილების წარმოშობის გამო. გალვანური წყვილები წარმოშობიან მეტალური მანგანუმის და MnO_2 ან მანგანუმშე უფრო დადგებითი პოტენციალის მქონე მეტალებს შორის. კა-თოდზე მანგანუმის ნორმალურად გამოყოფის შეწყვეტის მიზეზად შეიძლება იყოს: დენის სიმკერივე, ხსნარის ტემპერატურა, კათოლიტში აღმდგენელის რაოდენობა, ელექტროლიტში $MnSO_4$, $(NH_4)_2SO_4$ და H_2SO_4 -ს კონცენტრაცია, MnO_2 -რაოდენობა ანოლიტში და pH-ს მნიშვნელობა კათოლიტში. საქართველოს სსრ მცნიერებათა აკადემია თბილისის ქიმიის ინსტიტუტი

ЦИТИРОВАННАЯ ЛИТЕРАТУРА – 30500008770 30500008770

1. Р. И. Агладзе. Металлург, № 9, 1939, 16—32; Горный журнал, № 12, 1939, 39; Диссертация: Электророли солей марганца, Московский хим.-техн. институт им. Менделеева, 1938; Труды Московского хим.-техн. инст. им. Менделеева, № 5, 1940, 93, № 7, 1940, 112; Известия Академии Наук СССР, № 1—2, 1942, 45—63.
 2. Grube und Metzger. Ztschr. f. Elektrochemie, 29, 17, 1923.
 3. Р. И. Агладзе. Журнал общей химии, т. 10, вып. 4, 1940, 340—346.
 4. Р. И. Агладзе. Журнал прикладной химии, т. 14, № 3, 1941.
 5. С. В. Горбачев и Шпитальский. Журнал общей химии, 10, 22, 1961, 1940.
 6. Allmand and Campbell. Trans. Faraday Soc., 19, 559, 1924; 20, 379, 1924; H. Oaks and W. Bradt. Trans. Am. Electrochem. Soc. 69, 567, 1936; 71, 249, 1937; C. Fink and M. Kolodney. Trans. Am. Electrochem. Soc. 71, 287, 1937; Grube. DRP No 3191594 заявлено 18.V.1921, опубликовано 8.III.1924. (Grishcim-Elektron).
 7. S. M. Shelton. Report of Investigations of the United States Bureau of Mines No 3322, 29—37, 1936; Shelton and Royer. Trans. Am. Electrochem. Soc., 74, 447, 1938.
 8. П. Животинский и С. Зарецкий. Журнал прикладной химии, 12, 2, 1939.



Рис. 1. Катодное отложение металлического марганца. В результате проникновения кислого, содержащего MnO_2 , анодного раствора в католит, в правом углу началось обратное растворение.



Рис. 2. Катодное отложение марганца. В средней части катода ввиду первоначальной, малой плотности тока отложение не происходило. Наслоение в середине образовалось впоследствии, после увеличения плотности тока.



Рис. 3. Катодное отложение марганца, которое почернело в результате уменьшения концентрации восстановителя в католите.

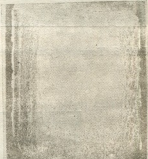


Рис. 4. Катодное отложение марганца после кратковременного выключения тока. Металл по краям в результате анодного окисления потускнел.



Рис. 5. Катодное отложение марганца с вертикальными полосами. Полосы образовались вдоль пути подъема пузырьков водорода. Усиленное выделение H_2 —результат малого значения рН катала и плохой очистки раствора от ионов более положительных, чем марганец металлов.



Рис. 6. Толстое (5-мм) катодное отложение марганца, отслоенное от основы изгибанием катода.



Рис. 7. Загрязненное гидроокисью катодное отложение марганца, полученное из сильно щелочного католита.



ХИМИЯ

О. Е. ЗВЯГИНЦЕВ и Ш. Н. МАТАТАШВИЛИ

КРИСТАЛЛОАЛКОГОЛЯТЫ ГАЛОИДНЫХ СОЛЕЙ
ДВУХВАЛЕНТНОГО КОБАЛЬТА⁽¹⁾

Кристаллоалкоголяты и эфираты солей металлов составляют весьма интересный класс молекулярных соединений, изучению которого, начиная с классического труда Б. Н. Меншуткина [1], посвящено весьма немного работ [2]. Между тем последовательное их изучение могло бы прибавить значительное число фактов для расширения наших знаний о природе сил комплексообразования.

Соединение хлористого кобальта со спиртом $2\text{CoCl}_2 \cdot 5\text{C}_2\text{H}_5\text{OH}$ получено в 1902 г. Б. Н. Меншуткиным [1], но формула его не была точно установлена. Позднее различные исследователи получили соединения:

с метиловым спиртом:

$\text{CoCl}_2 \cdot 2\text{CH}_3\text{OH}$ [3], $\text{CoCl}_2 \cdot 3\text{CH}_3\text{OH}$ [4], $\text{CoCl}_2 \cdot 6\text{CH}_3\text{OH}$ [5, 6],
 $\text{CoBr}_2 \cdot 2\text{CH}_3\text{OH}$ [4], $\text{CoBr}_2 \cdot 3\text{CH}_3\text{OH}$ [4] и $\text{CoBr}_2 \cdot 6\text{CH}_3\text{OH}$ [6];

с этиловым спиртом:

$\text{CoCl}_2 \cdot 2\text{C}_2\text{H}_5\text{OH}$ [4], $2\text{CoCl}_2 \cdot 5\text{C}_2\text{H}_5\text{OH}$ [7], $\text{CoCl}_2 \cdot 3\text{C}_2\text{H}_5\text{OH}$ [4],
 $\text{CoBr}_2 \cdot 2\text{C}_2\text{H}_5\text{OH}$ [4] и $\text{CoBr}_2 \cdot 3\text{C}_2\text{H}_5\text{OH}$ [4]⁽²⁾.

Мы решили последовательно изучить ряд соединений хлористого, бромистого и иодистого кобальта с метиловым и этиловым спиртами и сравнить их главнейшие свойства друг с другом. Соединения кобальта на-

⁽¹⁾ Краткое извлечение из диссертации Ш. Н. Мататашвили, выполненной под руководством О. Е. Звягинцева.

⁽²⁾ Указание на литературу о синтезе некоторых из этих соединений мы получили от П. В. Гогоришвили уже после того, как экспериментальная часть нашей работы была закончена. Приносим П. В. Гогоришвили нашу глубокую благодарность.

ми были выбраны потому, что кобальт известен, как хороший комплексообразователь.

Было интересно также сопоставить названные соединения кобальта с соединениями MgJ_2 и $MgBr_2$, изучавшимися Б. Н. Меншуткиным [1] и $MnCl_2$, изучавшиеся одним из нас совместно с А. З. Чхенкели [8].

Исходными веществами для нашей работы были безводные соли $CoCl_2$, $CoBr_2$ и CoJ_2 , и безводные алкогали—метиловый, этиловый. Хлористый кобальт нами перекристаллизовывался и обезвоживался по методу, предложенному Потылицыным [9] и применявшемуся рядом других исследователей [10, 8], в электрической печи при $250-300^\circ$ в токе сухого хлористого водорода. Обезвоженная голубая соль содержала 54,65% хлора и 45,4% кобальта.

Бромистый кобальт готовился следующим способом: сперва действием соды на раствор нитрата кобальта осаждался углекислый кобальт. Его тщательно отмывали холодной водой (до исчезновения NO_3^- -ионов). Осадок $CoCO_3$ растворяли в бромистоводородной кислоте и выпаривали на водяной бане досуха. Сухой остаток нагревали в сушильном шкафу при $130-150^\circ$. Яркоизмененные чешуйчатые кристаллы отвечали составу $CoBr_2$.

Иодистый кобальт так же получали из $CoCO_3$ и полученный раствор высушивали в вакуум-экскаторе. Продукт имел темнозеленый цвет.

Спирты осушались над обезвоживающими веществами (плавленный поташ, негашеная известь) и подвергались перегонке: метиловый над магнием, этиловый—над свежепрокаленной известью.

Кристаллоалкоголиаты хлористого кобальта получались двумя способами: 1) абсолютно сухой алкоголь насыщался при комнатной температуре хлористым кобальтом и раствор ставился в экскатор с концентрированной серной кислотой. Раствор оставался стоять 25—30 дней по возможности при низкой температуре. (При -2° , -4° —ночные морозы в декабре). Из раствора выпадали кристаллы кристаллоалкоголиатов с большим числом молекул спирта, чем при втором способе.

2) Насыщенный раствор хлористого кобальта в спирту кипятился до уменьшения объема на $\frac{1}{3}$ и ставился в экскатор. При этом из пересыщенного раствора выпадали кристаллы с меньшим содержанием молекул алкоголя в соответствии с меньшим его относительным содержанием в растворе.

В таблице I приведены условия опытов получения (из насыщенного раствора или пересыщенного) кристаллоалкоголиатов хлористого кобальта, их анализ на хлор и формулы.

Из приведенных в таблице I пяти химических соединений, два получены нами впервые; остальные были описаны ранее.

Кристаллоалкоголяты галоидных солей двухвалентного кобальта

Кристаллоалкоголяты хлористого кобальта

Таблица 1

№ по порядку	Условия получения	Навеска для анализа 3 г	Вес в граммах		Отношение CoCl_2 : алкоголь	Формулы
			AgCl	CoCl_2		
1	Из пересыщенного раствора в метиловом спирте. Промывка эфиром	0,7140	0,8230	0,3855	1 : 3	$\text{CoCl}_2 \cdot 3\text{CH}_3\text{OH}$
2	Из насыщенного раствора в метиловом спирте	0,2022	0,2204	0,0998	1 : 4,1	$\text{CoCl}_2 \cdot 4\text{CH}_3\text{OH}$
		0,4310	0,5450	0,2468	1 : 4	
3	Из насыщенного раствора в этиловом спирте. Промывка эфиром	0,5632	0,6166	0,2792	1 : 2,99	$\text{CoCl}_2 \cdot 3\text{CH}_3\text{OH}$
		0,3636	0,3948	0,1660	1 : 3,1	
4	Из насыщенного раствора в этиловом спирте. Промывка эфиром	0,2958	0,5662	0,1666	1 : 2,08	$\text{CoCl}_2 \cdot 2\text{C}_2\text{H}_5\text{OH}$
		0,2790	0,3996	0,6205	1 : 2	
5	Из маточного раствора от опыта 4	0,4604	0,7348	0,7227	1 : 1,08	$\text{CoCl}_2 \cdot \text{C}_2\text{H}_5\text{OH}$
		0,5224	0,8466	0,7340	1 : 1,01	

Кристаллоалкоголяты бромистого кобальта получались способами, аналогичными предыдущим. Получено 4 соединения, из которых два новых. В таблице 2 приведены данные о их получении и составе:

Кристаллоалкоголяты бромистого кобальта

Таблица 2

№ по порядку	Условия получения	Навеска для анализа в г	Вес в граммах		Отношение CoBr_2 : алкоголь	Формулы
			AgCl	CoBr_2		
6	Из насыщенного раствора в метиловом спирте. Промывка эфиром	0,3682 0,6092	0,4034 0,6688	0,6383 0,6186	1 : 3,9 1 : 4,4	$\text{CoBr}_2 \cdot 4\text{CH}_3\text{OH}$
7	Из маточного раствора от опыта 6. Промывка эфиром	0,1906 0,1892	0,2448 0,2426	0,7484 0,7676	1 : 2,2 1 : 2,1	$\text{CoBr}_2 \cdot 2\text{CH}_3\text{OH}$
8	Из пересыщенного раствора в метиловом спирте. Промывка эфиром	0,3396 0,2494	0,4126 0,2960	0,7076 0,6914	1 : 2,82 1 : 3,09	$\text{CoBr}_2 \cdot 3\text{CH}_3\text{OH}$
9	Из насыщенного раствора в этиловом спирте. Промывка эфиром	0,3130 0,1564	0,3532 1,1752	0,1984 0,10196	1 : 2,9 1 : 3	$\text{CoBr}_2 \cdot 3\text{C}_2\text{H}_5\text{OH}$
10	Из пересыщенного раствора в этиловом спирте. Промывка эфиром	0,3888 0,2378	0,6996 0,4294	0,8088 0,8280	1 : 1,1 1 : 1	$\text{CoBr}_2 \cdot \text{C}_2\text{H}_5\text{OH}$
11	Из маточного раствора от опыта 10. Промывка эфиром	0,1438 0,2760	0,1694 0,3186	0,6842 0,6721	1 : 2,2 1 : 2,2	$\text{CoBr}_2 \cdot 2\text{C}_2\text{H}_5\text{OH}$

Кристаллоалкоголяты иодистого кобальта получились способами, аналогичными предыдущим. Растворение CoJ_2 в спиртах идет с выделением тепла. В таблице 3 приведены данные о получении и составе трех соединений, которые получены нами впервые.

Кристаллоалкоголяты иодистого кобальта

Таблица 3

№ по порядку	Условия получения	Навеска для анализа в г	Вес в граммах		Отношение CoJ_2 : алкоголь	Формулы
			AgJ	CoJ_2		
12	Из насыщенного раствора CoJ_2 в метиловом спирте. Через сутки выпали кристаллы, которые были промыты эфиром	0,5212 0,4296	0,4742 0,3940	0,6124 0,6020	1 : 6,1 1 : 6,2	$\text{CoJ}_2 \cdot 6\text{CH}_3\text{OH}$ α
13	Из маточного раствора от опыта 12 через 14–16 дней выкристаллизовался осадок; промыт эфиром	0,3424 0,1308	0,3102 0,1172	0,6034 0,5960	1 : 6,0 1 : 6,0	$\text{CoJ}_2 \cdot 6\text{CH}_3\text{OH}$ β
14	Из пересыщенного раствора в метиловом спирте. Промыт эфиром	0,2350 0,1850	0,2148 0,1750	0,6343 0,6395	1 : 5,2 1 : 5,1	$\text{CoJ}_2 \cdot 5\text{CH}_3\text{OH}$

Этилатов кобальта в кристаллическом виде получить не удалось, так как при кристаллизации растворов иодистого кобальта в этиловом спирте получался продукт, который по своей консистенции походил на вазелин. Охлаждение во льду и твердой углекислоте не вызвало кристаллизации.

Свойства полученных соединений изучались следующие: удельный вес, цвет, показатель преломления и кристаллическая структура¹¹.

Сводка сведений об этих свойствах приводится в таблице 4.

Из химических свойств соединений, перечисленных в таблице 4, следует отметить их легкую разлагаемость при нагревании и способность обменивать алкоголь на воду во влажном воздухе.

Вероятно возможно получить при этом смешанные кристаллоалкоголяты — гидраты. Но мы пока не изучали этого процесса, надеясь это сделать в будущем.

В серном и петролейном эфирах изученные кристаллоалкоголяты нерастворимы. В бензole они очень мало растворимы и разлагаются.

¹¹ Кристаллографические константы измерены доцентом Тбилисского Государственного Университета имени Сталина Г. В. Гвахария, за что приносим ему глубокую признательность.

Свойства кристаллоалкоголятов галоидных солей двухвалентного кобальта

Таблица 4

№ № группы	Формула	Цвет	Удельный вес	Показатели преломления N_g	Кристаллическая структура
I	$\text{CoCl}_2 \cdot 4\text{CH}_3\text{OH}$	Фиолетово-синий	1,39	$1,712 \pm 0,005$	Кубическая Моноклинная
	$\text{CoCl}_2 \cdot 3\text{CH}_3\text{OH}$	"	1,55	$1,632 \pm 0,005$	
II	$\text{CoBr}_2 \cdot 4\text{CH}_3\text{OH}$	Светло-синий	1,41	$1,700 \pm 0,005$	Триклинная Ромбическая Ромбическая
	$\text{CoBr}_2 \cdot 3\text{CH}_3\text{OH}$	Фиолетово-синий	1,76	$1,65 \pm 0,05$	
	$\text{CoBr}_2 \cdot 2\text{CH}_3\text{OH}$	"	2,09	$1,70 \pm 0,05$	
III	$\alpha\text{CoJ}_2 \cdot 6\text{CH}_3\text{OH}$	Янтарный	1,65	$1,729 \pm 0,005$	Гексагональная Квадратная Гексагональная
	$\beta\text{CoJ}_2 \cdot 6\text{CH}_3\text{OH}$	Желто-бурый	1,68	$1,73 \pm 0,05$	
	$\text{CoJ}_2 \cdot 5\text{CH}_3\text{OH}$	Темно-бурый	1,74	$1,73 \pm 0,05$	
IV	$\text{CoCl}_2 \cdot 3\text{C}_2\text{H}_5\text{OH}$	Сине-фиолетовый	1,05	$1,702 \pm 0,005$	Ромбическая Ромбическая Ромбическая
	$\text{CoCl}_2 \cdot 2\text{C}_2\text{H}_5\text{OH}$	Сине-розовый	1,42	$1,702 \pm 0,005$	
	$\text{CoCl}_2 \cdot \text{C}_2\text{H}_5\text{OH}$	Сине-фиолетовый	1,70	$1,702 \pm 0,005$	
	$\text{-CoBr}_2 \cdot 3\text{C}_2\text{H}_5\text{OH}$	Лазурно-синий	1,07	$1,61 \pm 0,05$	Триклинная Не определена Кубическая
	$\text{CoBr}_2 \cdot 2\text{C}_2\text{H}_5\text{OH}$	Темно-синий	1,69	$1,73 \pm 0,05$	
	$\text{CoBr}_2 \cdot \text{C}_2\text{H}_5\text{OH}$	Голубой	2,59	$1,72 \pm 0,05$	

Электропроводность спиртовых растворов⁽¹⁾ кристаллоалкоголятов изучалась в водяном термостате при температурах 20 и 30°, температура регулировалась с точностью до $\pm 1^\circ$. Для измерений применялся сосуд Аррениуса—Оствальда с хорошо пригнанной эbonитовой крышкой и платинированными платиновыми электродами. Измерения производились при помощи установки Кольрауша. Константа прибора определялась перед каждой серией опытов.

Измерения электропроводности растворов показали значительную разницу между электропроводностью водных растворов CoCl_2 и спиртовых растворов алкоголятов: растворы алкоголятов имеют значительно меньшую величину в соответствии с диэлектрической постоянной растворителя. Электропроводность метилатов галогенидов кобальта больше электропроводности этилов, так как диэлектрическая постоянная растворителя—метилового спирта $\text{DE} = 33,77$ больше этилового $\text{DE} = 25,7$.

Электропроводность метилатов и этилатов уменьшается с ростом концентрации и увеличивается с повышением температуры.

Определение pH спиртовых растворов кристаллоалкоголятов производилось с помощью стеклянного электрода⁽²⁾.

⁽¹⁾ При исследовании электропроводности и pH существенную помощь оказал доцент Д. И. Эристави, за что выражаем ему искреннюю благодарность.

⁽²⁾ Применимость стеклянных электролов является спорной.

Опыты имеют лишь качественный характер. Они показывают, что все кристаллоалкоголяты имеют кислую реакцию, которая уменьшается по мере возрастания числа присоединенных молекул алкоголя. Возможно, что мы здесь имеем дело с явлением отталкивания ионов водорода спиртового гидроксила положительным зарядом двухвалентного кобальта подобно тому, как это имеет место в аммиакатах платины, согласно данных Гринберга и Фаермана [11]. Наши данные, однако, требуют еще уточнения.

Выводы

1. Получены кристаллоалкоголяты хлористого, бромистого и иодистого кобальта следующего состава:

- | | | |
|--|---|---|
| 1) $\text{CoCl}_2 \cdot 4\text{CH}_3\text{OH}$, | 2) $\text{CoCl}_2 \cdot 3\text{CH}_3\text{OH}$, | 3) $\text{CoCl}_2 \cdot 3\text{C}_2\text{H}_5\text{OH}$, |
| 4) $\text{CoCl}_2 \cdot 2\text{C}_2\text{H}_5\text{OH}$, | 5) $\text{CoCl}_2 \cdot \text{C}_2\text{H}_5\text{OH}$, | 6) $\text{CoBr}_2 \cdot 4\text{CH}_3\text{OH}$, |
| 7) $\text{CoBr}_2 \cdot 3\text{CH}_3\text{OH}$, | 8) $\text{CoBr}_2 \cdot 2\text{CH}_3\text{OH}$, | 9) $\text{CoBr}_2 \cdot 3\text{C}_2\text{H}_5\text{OH}$, |
| 10) $\text{CoBr}_2 \cdot 2\text{C}_2\text{H}_5\text{OH}$, | 11) $\text{CoBr}_2 \cdot \text{C}_2\text{H}_5\text{OH}$, | 12) $\alpha\text{CoJ}_2 \cdot 6\text{CH}_3\text{OH}$, |
| 13) $\beta\text{CoJ}_2 \cdot 6\text{CH}_3\text{OH}$, | 14) $\text{CoJ}_2 \cdot 5\text{CH}_3\text{OH}$. | |

Из этих соединений 1), 5), 6), 11), 12), 13) и 14)—получены впервые.

2. Все кристаллоалкоголяты во влажном воздухе постепенно обменивают частицы алкоголя на частицы воды и переходят в кристаллогидраты.

3. В серном и петролейном эфирах кристаллоалкоголяты нерастворимы; в бензоле растворяются очень плохо.

4. Спиртовые растворы кристаллоалкоголятов хорошо проводят электрический ток, обнаруживая в этом сходство с водными растворами минеральных солей.

5. Ориентировочное исследование pH алкогольных растворов кристаллоалкоголятов обнаружило, что они имеют слабокислую реакцию. Это указывает на вероятность наличия явлений поляризации в их молекулах.

6. Проделан кристаллографический анализ полученных соединений: даны чертежи и вычислены индексы отдельных граней кристаллов; измерены показатели преломления.

Академия Наук Грузинской ССР
Тбилисский Химический Институт и
Лаборатория общей химии
Тбилисского Института
железнодорожного транспорта

(Поступило в редакцию 5.10.1942)

Л. ЧЕЛЯДИНОВОВА И Ч. МАРТАРОВА-ЧЕЛЯДИНОВА

ОБРАЗОВАНИЕ
КРИСТАЛЛОАЛКОГОЛЯТОВ
ДВУХВАЛЕНТНОГО КОБАЛЬТА
ИХ ХИМИЧЕСКИЕ СВОЙСТВА

Рукопись

Мы выражаем благодарность профессору А. А. Грипбергу и доктору химических наук А. А. Фаерману за помощь в исследовании и за предоставленные для публикации данные.

- | | | |
|--|---|---|
| 1) $\text{CoCl}_2 \cdot 4\text{CH}_3\text{OH}$, | 2) $\text{CoCl}_2 \cdot 3\text{CH}_3\text{OH}$, | 3) $\text{CoCl}_2 \cdot 3\text{C}_2\text{H}_5\text{OH}$, |
| 4) $\text{CoCl}_2 \cdot 2\text{C}_2\text{H}_5\text{OH}$, | 5) $\text{CoCl}_2 \cdot \text{C}_2\text{H}_5\text{OH}$, | 6) $\text{CoBr}_2 \cdot 4\text{CH}_3\text{OH}$, |
| 7) $\text{CoBr}_2 \cdot 3\text{CH}_3\text{OH}$, | 8) $\text{CoBr}_2 \cdot 2\text{CH}_3\text{OH}$, | 9) $\text{CoBr}_2 \cdot 3\text{C}_2\text{H}_5\text{OH}$, |
| 10) $\text{CoBr}_2 \cdot 2\text{C}_2\text{H}_5\text{OH}$, | 11) $\text{CoBr}_2 \cdot \text{C}_2\text{H}_5\text{OH}$, | 12) $\alpha\text{CoJ}_2 \cdot 6\text{CH}_3\text{OH}$, |
| 13) $\beta\text{CoJ}_2 \cdot 6\text{CH}_3\text{OH}$, | 14) $\text{CoJ}_2 \cdot 5\text{CH}_3\text{OH}$. | |

Все эти соединения были получены в виде кристаллов, растворимых в воде и спирте.

Мы выражаем благодарность профессору А. А. Грипбергу и доктору химических наук А. А. Фаерману за предоставленные для публикации данные.

Научно-исследовательский институт химии СССР

товарищество химиков-технологов СССР

академикам А. А. Грипбергу и А. А. Фаерману

докторам химических наук А. А. Грипбергу и А. А. Фаерману

ЦИТИРОВАННАЯ ЛИТЕРАТУРА—СПИСОК ИСПОЛЬЗОВАННЫХ ДОКУМЕНТОВ

- Б. Н. Меншуткин. Об эфирах и других молекулярных соединениях бромистого и иодистого магния. СПБ, 1907.
- А. Ходнев. Lieb. Ann. 71, 241, 1849; Demarsée. Ber. 8, 75, 1875; S. Simon. J. pr. Ch. (2) 20, 371, 1887; W. Cartown. J. Ch. Soc. 30, 463, 1876; J. Heidl. Monatsh. 2, 200, 1881; H. Rockes. J. pr. Ch. (6) 1, 301, 1895; E. Rust. Ber. 30, 2828, 1898; Б. Е. Тищенко. ЖРХО, 31, 783, 1889; Б. Н. Меншуткин. ЖРХО, 38, 1010, 1906; Chesterman. J. Ch. Soc. 1935, 906; 1936, 1300.
- Benrath. Z. anorg. Ch. 54, 332, 1907.
- E. Lloid, C. W. Brown, D. G. R. Bonnell and W. J. Jones. J. Ch. Soc. 662, 1928.
- F. Schlegel. Diss. (цитир. по Mellor. Anorg. Ch. V. 14, 632, 716, 1935).
- A. Hantzsch and F. Schlegel. Z. anorg. Ch. 159, 301, 1926.
- Bourion. C. r. 134, 555, 1902.
- О. Е. Звягинцев и А. З. Чхентели. Ж. Общ. Химии, XI, 791, 1941.
- Потмылицын. ЖРХО, 16, 206, 1884.
- Канделаки и Сеташвили. Колл. Ж. 2, 807, 1936.
- А. А. Грипберг и Г. П. Фаерман. Известия института по изучению платины и других благородных металлов. 8, 115, 1931.
- „Химия“, т. III, № 10.

МЕТАЛЛУРГИЯ

Э. С. САРКИСОВ

О ЖАРОСТОЙКОСТИ ПАРОХРОМОВЫХ ПОКРЫТИЙ

Для работы при высоких температурах во многих областях техники применяются, главным образом, сплавы никеля и хрома; однако, большое содержание дефицитных металлов ограничивает область их применения в наших условиях.

Задачей настоящей работы было выяснить возможность применения процесса парохромирования железа и стали (метод Н. А. Изгарышева и Э. С. Саркисова по нанесению защитных покрытий путем взаимного вытеснения хрома из паров солей) для получения жаростойких покрытий; т. е. создания жаростойкой стали на самой поверхности защищаемого стального предмета после его изготовления.

При применении этого способа возникнет возможность для целого ряда деталей машин отказаться от применения никеля и во много раз понизить расход металлического хрома, заменив их обычными сталью и железом, защищенными с поверхности высокомаргантинистым сплавом, неразрывно связанным с основным металлом.

В предыдущих наших работах было показано, что парохромовые покрытия на железе и стали хорошо сопротивляются воздействию различных реагентов, как-то: атмосферы, в присутствии сероводорода или сернистого газа или углекислого газа, азотной кислоты, растворов поваренной соли и др. [1].

Исследование парохромовых покрытий показало, что среднее содержание хрома, согласно данным анализа, было ориентировочно около 15%, на глубину около 0,2 мм; в самых поверхностных слоях до 0,1 мм его концентрация много выше — 30—35% [2].

Согласно электронографическим исследованиям, поверхность состоит нацело из ориентированных кристаллов γ -хрома [3].

Можно было ожидать, что парохромовые покрытия на железе и стали, обычно, стойкие к коррозии при низких температурах, окажутся пригодными и для работы при высоких температурах, проявляя хорошую устойчивость к окислению подобно высокомаргантинистой стали, например, сталь FF 30, содержащая 30% Cr.

Изготовленные образцы из малоуглеродистой стали подвергались парохромированию при двух значениях температуры: 900° и 1000° . Время обработки во всех случаях было одинаковое—3 часа. Парохромирование производилось в фарфоровой реакционной трубке, нагреваемой в электрической печи. Пары хлоридов хрома получались в самой реакционной трубке.

После окончания опыта и остывания реакционной трубы, образцы обработанной стали извлекались из нее и подвергались испытаниям на жаростойкость. Жаростойкость определялась при температурах 900 и 1000°C в трубчатой печи. Перед испытанием на жаростойкость образцы промывались спиртом, взвешивались и укладывались на фарфоровые лодочки таким образом, что не соприкасались друг с другом. Все образцы (необработанные и парохромированные) помещались в печь одновременно. Отверстия печи закрывались азбестовыми кусками и доступ воздуха был свободный.

При проведении испытаний парохромовых покрытий на жаростойкость мы применяли переменный нагрев и охлаждение, так как установлено, что подобный способ испытания имеет сравнительно большое значение в отношении оценки качества жаростойких материалов.

Рис. 1. Жаростойкость парохромовых покрытий при 900°C .

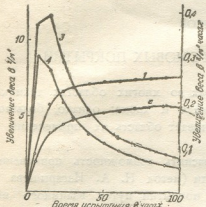
Кривая 1—увеличение веса в g/m^2 парохромированного образца при 900°C . Кривая 2—увеличение веса в g/m^2 парохромированного образца при 1000°C . Кривая 3—увеличение веса в g/m^2 в час парохромированного образца при 900°C . Кривая 4—увеличение веса в g/m^2 в час парохромированного образца при 1000°C .

лов [4]. Поэтому, через каждые 6—10 час. образцы после взвешивания вновь загружались в печь. Общая продолжительность испытания была не менее 100 час.

Для характеристики стойкости против окисления при высоких температурах, мы определяли привес, ввиду того, что удаление окалины, содержащей окись хрома, представляло большую трудность.

Результаты испытания на жаростойкость при 900° приводятся в таблице I.

Кривые, характеризующие скорость окисления изучаемых парохромовых покрытий в зависимости от времени испытания при 900° , представлены на рис. 1, из которого видно, что образцы стали, парохромированные при 1000° , показывают относительно меньшую скорость окисления, чем парохромовые покрытия, полученные при более низкой температуре (900°).



Жаростойкость исследованных парохромовых покрытий при 900°
Таблица 1

Продолжительность испытания в часах	Увеличение веса ($\text{г}/\text{м}^2$ в час) парохромированных образцов	
	при 900°C	при 1000°C
6,5	0,370	0,300
15	0,387	0,270
23	0,286	0,195
30	0,233	0,160
40	0,180	0,130
50	0,146	0,106
60	0,123	0,090
70	0,107	0,080
80	0,094	0,070
90	0,085	0,063
100	0,077	0,057

Максимальное увеличение в весе при испытании на окисляемость при 900° для этих парохромовых покрытий равняется $0,3-0,387 \text{ г}/\text{м}^2$ в час; между тем как незащищенные образцы подвергались интенсивной коррозии. Если взять для сравнения потерю, даваемую при той же температуре, сталь марки FF 30, то нужно признать потерю в весе для парохромовых покрытий на малоуглеродистой стали чрезмерно низкой. Следовательно, парохромовые покрытия могут считаться достаточно жаростойкими. Определение температуры перегорания парохромированных железных проволок также показывает значительную их жаростойкость. Из сравнительных величин, приведенных в таблице 2, видно, что температура перегорания железной проволоки значительно повышается после парохромирования (от 1150° до 1445°) и мало отличается от температуры перегорания никромовой проволоки.

Таблица 2

Материал проволоки	Температура перегорания в $^{\circ}\text{C}$
Железо	1150
Парохромированное железо	1445
Сплав никром	1480

Испытание парохромовых покрытий на окисляемость при более высоких температурах, например, 1000° , когда диффузионные процессы идут, относительно, с большой скоростью, показало, что покрытия в этих условиях менее прочны. В этих случаях покрытия местами растрескиваются и делаются относительно разъеденными.

Эти результаты можно, как мы полагаем, поставить в связь с диффузионным явлением при очень высоких температурах. Парохромовые покрытия, поверхность которых, согласно электронографическому исследованию, состоит нацело из ориентированных кристаллов γ -хрома, естественно, образуют при нагреве непористую защитную пленку окиси, которая характеризуется высокой степенью сцепляемости с металлом; поэтому исключается возможность растрескивания и отслаивания покрытия. Следовательно, скорость окисления будет постепенно падать вместе с увеличением толщины оксидной пленки, т. е. скорость окисления будет обратно пропорциональна толщине: $dx/dt = k/x$.

В самом деле, кривые 3 и 4, представленные на рис. I, наглядно показывают, что по истечении некоторого времени скорость окисления парохромовых покрытий при 900° становится весьма малой.

Однако, при более высоких температурах (1000°) соответственно ускоряется процесс диффузии кислорода, вероятно, как через самую решетку [5], так и через микроуглубления, имеющиеся на поверхности парохромовых покрытий [6]. При этом кислород со временем может диффундировать, относительно, глубже и достигать слоев, менее богатых хромом, менее однородных, а потому и более склонных к коррозии. Вследствие этого оксидная пленка может стать очень толстой и склонной к растрескиванию, что вполне подтверждается экспериментальными данными.

В этих случаях приобретают особую ценность единовременные покрытия хромом и алюминием из паров их солей, усиливающие непроницаемость пленок и сообщающие стали сопротивляемость в отношении газовой коррозии [7].

Последнее обстоятельство обусловлено тем, что железо, алюминий и хром образуют в довольно широких пределах твердые растворы, которые с своей стороны создают особо благоприятные условия для образования на них устойчивых пленок (из окислов всех трех металлов, представляющих, вероятно, твердый раствор этих окислов), выгодно отличающихся от пленок чистого хрома и алюминия своей особенной стойкостью и саморегенерирующими ся в случае повреждения.

Опыты по получению единовременных покрытий хромом и алюминием ставились в фарфоровой реакционной трубке. Пары хлоридов Cr и Al получались одновременно в самой реакционной трубке; образующиеся хлориды, в свою очередь, давали с поверхностью покрываемых образцов сплав Fe-Cr-Al.¹ Получаемые покрытия оказались блестящими, светлыми, прочно срастающимися с железом.

При сопоставлении толщины парохромовых покрытий с толщиной единовременных хромо-алюминиевых покрытий, полученных при одинаковых условиях опыта, оказалось, что между этими величинами имеется весьма значительное различие (табл. 3).

Толщина покрытий в мм

Таблица 3

Условия опыта	Температура в °C	1000	1050	1100
Материал покрытия	Время обработки в час.	3	3	3
	хром	0,095	0,160	0,223
	хром-алюминий	0,174	0,380	0,785

Из таблицы 3 видно, что при данной температуре толщина единовременного хромо-алюминиевого покрытия значительно превышает толщину парохромового. В зависимости от увеличения температуры процесса наблюдается сильное возрастание отношения толщины единовременного хромо-алюминиевого покрытия к толщине парохромового.

Очевидно, что последнее имеет место вследствие большой скорости диффузии алюминия внутрь поверхностей стальных образцов [8]. Естественно, что и этот фактор должен оказывать положительное влияние на наблюдавшую нами повышенную стойкость против корозии единовременных хромо-алюминиевых покрытий при 1000° и выше. Действительно, результаты испытания единовременных хромо-алюминиевых покрытий на жаростойкость при 1000° показали, что жаростойкость их высокая, а именно, привес не больше 1 г/м² в час, что является характерной величиной для вполне устойчивого материала.

Вы воды

1. Показано, что парохромовые покрытия на железе и стали, обычно устойчивые к коррозии при низких температурах, оказались стойкими и против окисления при высоких температурах.

2. Установлено, что парохромовые покрытия на железе и стали, работающие в температурных условиях до 900°C , обладают большой жаростойкостью; испытание парохромовых покрытий на окисляемость выше 900°C показало, что покрытия в этих условиях проявляют меньшую стойкость.

3. Доказана большая жаростойкость единовременных покрытий хромом и алюминием, успешно работающих в температурных условиях выше 900°C .

В заключение приношу благодарность М. Г. Хачатуровой за помощь оказанную при выполнении настоящей работы.

Тбилисский Институт инженеров
железно-дорожного транспорта
имени В. И. Ленина
Кафедра земии

(Поступило в редакцию 18.8.1942)

მ. სარქისოვი

ძროშის ქლორიდის ორთქლიდან მიღებული („ორთქლოვნის ბული“)

შემთხვევის მდგრადობა გაღალ ტემპირატურაზე

რეზუმე

1. ნაჩენებია, რომ „ორთქლქრომინებული“ შრები რეინასა და ფოლადზე, ჩვეულებრივ, მდგრადია დაბალ ტემპერატურებზე, მდგრადია იგრევე მაღალ ტემპერატურებზე.

2. დადგნილია, რომ „ორთქლქრომინებული“ რეინა და ფოლადი 900°-მდე იჩენენ მაღალ ტემპერატურგამძლეობას.

ცდებით ნაჩენებია „ორთქლქრომინებულ“ შრების ნაკლები გამძლეობა 900°-ზე ზევით.

3. დამტეიცებულია დიდი ტემპერატურგამძლეობა ერთდროულად „ორთქლქრომ-ალუმინინებულ“ შრებისა 900°-ზე ზევით.

თბილისის ლენინის სახელობის
რეინის გზის ტრანსპორტის ინსტიტუტი
ქიმიის კათედრა

ЦИТИРОВАННАЯ ЛИТЕРАТУРА—ЦИТИРОВАННАЯ ЛИТЕРАТУРА

- Н. А. Изгарышев и Э. С. Саркисов. Доклады АН СССР, XVIII, № 7, 1939; Ж. О. Х., 8, в. 9, 1939; Э. С. Саркисов. Труды второй конференции по коррозии металлов, т. I, 1940, стр. 161; Н. А. Изгарышев, Металлург № 2, 1941.
- Н. А. Изгарышев. Известия АН СССР, Отд. хим. наук, № 6, 1941.
- Э. С. Саркисов. Сообщения Академии Наук Грузинской ССР, т. III, № 5, 1942; Э. С. Саркисов и Н. А. Изгарышев. Ж. Ф. Х. (в печати).
- C. J Smithells, S. V. Williams and J. W. Avery. J. Inst. Met. 40, 269, 1928.
- J. S. Dunn. Proc. Roy. Soc. (A) III, 207, 1926; O. von Auwers. Natur Naturwiss. 19, 133, 1931.
- Н. А. Изгарышев и Э. С. Саркисов. Сообщения Академии Наук Грузинской ССР, т. III, № 3, 1942.
- Н. А. Изгарышев и Э. С. Саркисов. Доклады АН СССР, XXVII, № 5, 1940.
- Э. С. Саркисов. Доклады АН СССР, XXII, № 6, 1939; Ж. П. Х., XII, № 4, 1939.



პირობების

6. სტილური

დასავლეთ საქართველოს ტეჟინიტების შესახებ

წინათ დასავლეთ საქართველოში ტეჟინიტებს მხოლოდ ორ ადგილას აღნიშნავდნენ: ერთი ბუდობი ცნობილი იყო სოფ. კურსებში (ტყიბულის რაიონი), მეორე კი ოფურჩხეთში (ქუთაისის რაიონი). ბოლო დროის რაიონის დეტალურმა გეოლოგიურმა შესწავლამ გაარკვია, რომ ტეჟინიტებს დასავლეთ საქართველოში საქმიანდ ფართო გაერტყელება აქვს და კურსებისა და ოფურჩხეთის გარდა ქუთაის-ტყიბულის რაიონში ამ ქანებს შემდეგ ადგილებშიაც ვხვდებით: ნაბეჭლარ-ცუცხვათის ქედზე, ს.ს. ქოლუბანში, ცუცხვათში, ურნეთში, კუდოთ-ზარათში და ბანოჯაში. ტეჟინიტების გამოვლინების მეორე კურა ცნობილია აგრეთვე ქეემო რაჭაში; აյ ამ ქანის სხვადასხვა სიმძლავრის ინტრუზივებს ვხვდებით: ს.ს. ნიკორწმინდაში, ხონკიორში, პატარა ონში, ქვედა შავრაში და ჰუკიში. ხსენებული ბუდობებიდან ლიტერატურაში მხოლოდ კურსების და ოფურჩხეთის ტეჟინიტების მოკლე დახასიათებას ვპოულობთ. [2, 5, 13], შედარებით ვრცლადა აღწერილი ბანოჯის ტეჟინიტების ბუდობი [1, 7, 12] და ნიკორწმინდის ინტრუზიების კონტაქტური ზოლი [4]. საერთოდ კი უნდა ითქვას, რომ დასავლეთ საქართველოს ტეჟინიტების დეტალური კვლევა ბოლო დრომდე ირავის უწარმოებია.

1938—39 წლებში საშუალება მქონდა შემესწავლა ტეჟინიტის კველა ზემოხსენებული ნახენი და გამომეტანა ზოგიერთი დასკვნები მათი წოლის ფორმის, პეტროგრაფიული ბუნებისა და ასაკის შესახებ.

ტეჟინიტების წოლის ფორმა. დასავლეთ საქართველოს ტეჟინიტები ღანაკებულ წყებებს უკავშირდებიან და კველა აღწერილ საბადოში მათ მსგავსი წოლის ფორმა ახასიათებთ. ასე, მაგ., კურსებ-ნაბოსლევის ტეჟინიტის გამოსავლები ბათურ ფიქლებსა და ქვიშა-ქვებში მოქცეული თანხმობითი ინტრუზიული სხეულის ხასიათს ატარებს. ტეჟინიტის შრეძარლების დაქანება შემცველი წყების დაქანებას ეთანხმება; ორივესათვის იგი $SW 255^{\circ} < 16-12^{\circ}$ უდრის. ასეთივე სურათი გვაქვს ცუცხვათ-ნაბეჭლარის, ქოლუბნის, ბანოჯის და კუდოთ-ზარათის გამოსავლებზე, სადაც ტეჟინიტი ნაოჭის ამა თუ იმ ფრთას უკავშირდება; დანალექ წყებათა და ტეჟინიტების დაქანება, კველგან თითქმის თანხმობითია; დაქანების კუთხე არსად 23° არ აღმატება.

ბრაქი სინკლინის გულშია მოქცეული ოფურჩხეთ-ურნეთის ტეჟინიტი, რომელსაც აგრეთვე შრეძარლეული განლაგება ახასიათებს.

ნიკორწმინდის ტეშენიტის გამოსავლები სინკლინური ნაოჭის გულთან ახლო მდებარეობს; დაქანება აქაც დაახლოებით შემცველ წყებათა დაქანებას ეთანხმდება. დაქანება აქ ასეთია: $NO\ 60^{\circ}\angle 16-18^{\circ}$.

ამგვარივე წოლის ფორმა ახასიათებს კუვიშის ტეშენიტს, აქაც ტეშენიტი შრეთა მიმართებაზე ამოდის (დაქ. NW 345°), დაქანების კუთხე შედარებით მცირეა და $13-15^{\circ}$ არ აღმატება. შრეძარღვული განლაგება ახასიათებს აგრეთვე პატარა ონის, ქვედა შავრის და ხონჭიორის ტეშენიტებსაც.

ამრიგად, კველგან ჩვენ გვაქეს: ტეშენიტის გამოსავლების მკეთრად გამოსახული შრეძარღვული ხასიათი, ისე რომ ტეშენიტის შრეძარღვები ნაოჭის მეტად თუ ნაკლებად დამრეცი ფრთის შრეებს მიუჟვებიან. დაქანების კუთხე საშუალო 13—23°-ს ფარგლებში მერყეობს. ასეთი წოლის ფორმით ჩვენი ტეშენიტები, დელის (Daly) კლასიფიკაციით, „თანხმობითი ინტრუზივების“, ანუ, ინტრუზიული სხეულების Sills-ის ტიპს შეესაბამებიან.

ცალკეული გამოსავლების აღწერა. კურსებ-ნაბოსლევის ტეშენიტი ზონური აგებულების ინტრუზიულ სხეულს წარმოადგენს. ინტრუზივის ცენტრული ნაწილი ავგიტანი ტეშენიტით არის წარმოდგენილი; უკანასკნელის შედგენილობაში მონაწილეობას ღებულობენ: ლაპრადორი, ანორთოკლაზი ტიტან ავგიტი, ბიოტიტი, ილმენიტი, პატიტი, ტრენიტი, ტომსონიტი, ნატროლიტი და ანალციმი. მეორად მინერალებიდან ბევრია ქლორიტი, ქლორიტ-ქარსოვანი ნივთიერება, კალციტი და პელიტური მასები:

ინტრუზივის პერიფერიები თავისი მინერალური შედგენილობით მკეთრად განსხვავდებიან ცენტრული ნაწილის ქანებისაგან, პერიფერიული ნაწილის გასწვრივ, როგორც სახურავ, ისე საგებ გვერდში, და აგრეთვე ინტრუზივის აპოფიზურ ნაწილებში ქანი მელანოკრატულ ხასიათს ღებულობს და წვრილმარცვლოვანი ხდება, ამასთანავე ქანის მინერალოგიურ შედგენილობაში აქ გაბატონებულ როლს თამაშობს მუქი მონკლინური ამფიბოლი (ბარკეფიტი), რომელიც ინტრუზივის ცენტრული ნაწილის ქანებისათვის უცხო კომპონენტს წარმოადგენს. პერიფერიული ნაწილის თვისებად უნდა ჩაითვალოს ისიც, რომ მონიკლინური ამფიბოლის გამოჩენას ყოველთვის თან სდევს ბიოტიტისა და ანორთოკლაზის რაოდენობრივად ზრდა.

ამ ინტრუზივის ასეთი აგებულება ადგილზე მომხდარ კრისტალიზაციური დიფერენციაციით უნდა აისწნას.

აღწერილი ინტრუზივი, გარდა იმისა, რომ ზონურ აგებულებას ამედავნებს და ფაციალურად სხვადასხვაგარ ქანებს იძლევა, ამავე დროს მეტად თავისებურ ძარღვულ და შლირულ გამონაყოფებსაც შეიცავს.

ძარღვული გამონაყოფები ძირითადად ორ სხვადასხვა სახეობას მიეკუთვნებიან: ა) ღიაფერის ძარღვები, რომლებიც ალბიტის, ანორთოკლაზის, ანალციმის, ავგიტისა და ქლორიტისაგან შედგებიან; ბ) მორუხო-მოყვითლო ფერის ძარღვები, რომელთა მთავარ შემადგენელ ნაწილს ანორთოკლაზი წარმოადგენს; მუქი მინერალებიდან ავგიტის გვერდით ბარკეფიტულ ჩქატუქურაბასაც ვხვდებით. ძარღვების ორივე ეს სახეობა ჩვენ მიერ ტეშენიტ-აპლიტებად არის მიჩნეული.

შლირული გამონაყოფები ღია და მუქი-მორუხო შეფერვით ხასიათდებიან. ორივე სახეობა სშირად ერთიმეორესთან მორიგეობს და თვითეული შლირიზონურ აგებულებას ამჟღავნებს. მინერალოგიური შედგენილობით შლირული გამონაყოფები ტეშენიტ-აპლიტურ ძარღვებს უახლოვდებიან.

ცუცხვათ - ნაბეღლარის ტეშენიტი ერთ მთლიან, უწყვეტ ზოლს წარმოადგენს. ტეშენიტი აქ ტიპიური ავგიტიანი სახეობით არის წარმოდგენილი. ქიმიური და მინერალოგიური შედგენილობით იგი კურსების ავგიტიანი ტეშენიტის სრულ ანალოგს წარმოადგენს. ეს ინტრუზივიც ხშირად შეიცავს აგრეთვე ტეშენიტ-აპლიტურ ძარღვებს.

ქოლუბნის ტეშენიტს უფრო მუქი შეფერვა ახასიათებს, ვიდრე კურსებისა; მინერალოგიური შედგენილობით იგი ბანოჯისა და ნიკორწმინდის ტეშენიტს უფრო უახლოვდება.

ოფურჩხეთ-ქონეთის და კუდოთ-ზარათის ტეშენიტის შრეძარღვები ერთმანეთის გაგრძელებას წარმოადგენს; კველა ამ გამოსავალში ტეშენიტი ტიპიური ავგიტიანი სახეობით არის წარმოდგენილი. ქიმიური და მინერალოგიური შედგენილობით ეს ქანები კურსების ინტრუზივის ცენტრული ნაწილის ავგიტიან ტეშენიტებთან სრულ ანალოგის ამჟღავნებენ. აქაც პერიფერიებში ქანი წვრილმარცვლოვანი და მელანინერატული ხდება. ტეშენიტის ბარკევიკიტიან სახეობას მხოლოდ პოლიზურ ნაწილებში კვედებით.

ბანოჯის ტეშენიტი, რომელიც წინათ ბაზალტად იყო ცნობილი, ამჟამად მთელი რიგი მკელევარების მიერ [1, 7, 12] აღწერილია როგორც ავგიტიანი ტეშენიტი. ეს ტეშენიტი რამდენადმე განსხვავდება როგორც კურსების, ისე ოფურჩხეთ-ქონეთის ქანებისაგან. პერიფერიულ ნაწილში ბანოჯის ქანს ოლივინით გამდიდრება ემჩნევა. მცირე რაოდენობით შეიცავს აგრეთვე ანორთოკლაზს. მინერალოგიური შედგენილობის მხრივ იგი ტიპიური ტეშენიტებიდან ნორმალურ ანალციმიან ბაზალტებისკენ იხრება, მიუხედავად ამისა ქანი ქიმიური ბენებით მაინც ტეშენიტების ჯგუფში ექცევა.

ნიკორწმინდის ტეშენიტი ბანოჯის ტეშენიტს უფრო ჰგავს, ვიდრე კურსებისას. შეიცავს ოლივინის მეტ რაოდენობას, ვიდრე ნორმალური ტეშენიტი. არსად ნიკორწმინდის ქანში ამფიბოლი არ გვხვდება, ანორთოკლაზიც მასში მცირე რაოდენობით შედის. მინერალოგიური შედგენილობით იგიც ნორმული ანალციმიანი ბაზალტებისკენ იხრება.

კუვიშის ტეშენიტი ტიპიურ ბარკევიკიტიან ტეშენიტს წარმოადგენს. ეს ქანი თავისი მინერალოგიური შედგენილობით სრულ მსგავსებას იჩენს კურსებ-ნაბოსლევის ინტრუზივის პერიფერიული ნაწილის ქანთან. შესაძლოა, რომ კუვიშის ტეშენიტი ჯერ კიდევ გაუშიშვლებელ ტეშენიტური ინტრუზივის პოფიზის წარმოადგენდეს.

ასეთივე მინერალოგიური და ქიმიური შედგენილობა ახასიათებთ ქვედა შავრის, პატარა ონისა და ხონკიორის ტეშენიტის შრეძარლვებს, რომლებიც აგრეთვე ნაბოსლევისა და საბოლოო ქედის (ს. კურსების) ტეშენიტის ანალოგებს წარმოადგენს.

ტეშენიტების ასაკის შესახებ. ზემოთ ხსენებულ ბუდობებში ტეშენიტები სხვადასხვა დროის ნალექებს უკავშირდებიან. ასე, მაგ., სოფ. უნეთსა და კუდოთში ტეშენიტის შრეძარლები ბაიოსისა და ბათის საზღვარზე მდებარეობენ, ხოლო მეზობელ რაიონში, სოფ. კურსებსა და ნაბოსლევში ტეშენიტი ბათურ ნალექებს შორის არის მოქცეული. აშკარაა, რომ ამ შემთხვევაში ტეშენიტები მათ შემცველ, იურულ ნალექებზე ახალგაზრდა გამოდიან, მაგრამ მათი ზედა საზღვარი შინიც გაურკვეველი რჩება. ბ. მეფერტი [11] ამ ქანების ამონთხევას პირობითად ტიტონურის წინა დროს მიაკუთხნებდა. აკად. ა. ჯანელიძის აზრით „ეს ინტრუზივები არ შეიძლება, რომ ანდურ ფაზისზე ძველი იყვნენ და უფრო შესაძლოა, რომ ისინი ახალგაზრდა დროის ამონთხევას კეუთვნიან“ [9].

სხვა ბუდობებში შემდეგი სურათი გვაქვს: სოფ. ბანოჯაში ტეშენიტის შერეაბარღვი ქვედა ცარცის კირქვებშია შემოჭრილი. ამრიგად, აქ მხოლოდ იმის თქმა შეიძლება, რომ ტეშენიტი ახალგაზრდაა ქვედა ცარცუს. მაგრამ რომელ წყებაზეა იგი ძველი, ეს საკითხი აქაც გადაუკრელი რჩება.

ნიკორწმინდის ტეშენიტი ალბურ შრეებშია შემოჭრილი, ე. ი. ეს ტეშენიტი შეა ცარცხე ახალგაზრდა გამოდის. იყალ. ა. ჯინელიძეს [9] იგი ზედა ცარცხე ახალგაზრდად მიაჩნია.

აღმოსავლეთ საქართველოში იორის ტეშენიტები ზედა ცარცის ნალექებს უკავშირდებიან [8]. უკანასკნელი ცნობების მიხედვით, ახალციხეში ტეშენიტები ზედა ეოცენს ჰქვეთენ [5].

ჩემ მიერ შესწავლილი კვეთის ტეშენიტი ოლიგოცენის თიხიან ფიქლებზეა მოცული. კვეთის სამხრეთით სოფ. პატირა ონში და ქვედა შავრაში ტეშენიტის მცირე სიმძლავრის შრეძარლვები კარაგანულ შრეებში არიან შემოჭრილი [9]. ამრიგად, ტეშენიტები, ჰეკეთენ რა იურულსა და მის შემდგომი დროის ნალექებს, კარაგანულშიაც კი არიან შემოჭრილნი. თუ ახლა მხედველობაში მივიღებთ ამ ქანების ყოველმხრივ ერთმანეთთან მსგავსებას, მაშინ შეგვიძლია კორელაცია, რომ ტეშენიტები საერთოდ კარაგანულზე ახალგაზრდები უნდა იყვნენ, მაგრამ საკითხი მათი ზედა საზღვრის შესახებ მაინც ღიად რჩება. ამ საკითხის გადაწყვეტა კი, ჩემის აზრით, ოროგენეტული ფაზისების განხილვით ხერხდება.

როგორც ცნობილია, კავკასიაში სარმატსა და მეოტისს შორის ატიქურ ფაზისს გამოჰყოფენ. უკანასკნელს საკმაოდ დიდი გამოძიხილი აქვს როგორც კავკასიონის მთავარ ქედზე, ისე მცირე კავკასიონში და მას უკავშირებენ სიენიტ-დიორიტული „ნეონიტუზივების“ ამონთხევას [10]. თუმცა ტეშენიტები არ წარმოადგენენ ტიპიურ სიენიტ-დიორიტულ ქანებს, მაგრამ ისინი მაინც ნეონიტუზივების ჯგუფში ექცევიან იმის გამო, რომ უკანასკნელთათვის დამახასიათებელ ტური მინდვრის შპატს-ანორთოკლაზს შეიცავს [3]. ამიტომ არ არის გამორიცხული იმის შესაძლებლობა, რომ ტეშენიტების ამონთხევაც ატიქურ ფაზისს დაუკავშირდეს.

გამოიტქმული მოსახრების სისარგებლოდ შეიძლებოდა გამოვლენებია გრძელებული ფაქტიური მონაცემები: ტექნიკის ნაგორები მასალა ნაპოვნია აღმოსავლეთ კახეთში ე. წ. შირაქ-მირზაბანის წყებაში (ვ. ბატურინი, მ. ხუ-

ჭუა); ამ წყების ზედა ნაწილი, რომელიც ტეშენიტის ნაგორებ მასალას შეიცავს, დათარიღებულია მეორუად (შეიძლება პონტურიც იყოს). მეორულს უთანხმოდ მოსდევს აღნაგილური, რომლის წინ აღმოსავლეთ საქართველოში აღმოსავლეთ კავკასიის ფაზისს გამოჰყოფენ (გერასიმოვი). აქედან ირკვევა, რომ აღმოსავლეთ კავკასიის ფაზისამდე ტეშენიტები არამეტ თუ ამონთხეული იყვნენ, არამედ ირეცხებოდნენ კიდეც. 6. ვასოვიჩი [6] ამ გარემოების გამო იორის ტეშენიტების ამონთხევას ატიკურ ფაზისს უკავშირებს.

ზემოთქმულის მიხედვით შესაძლოა, რომ დასაცულეთ საქართველოს ტეშენიტების ამონთხევაც ატიკურ ფაზისს უკავშირდებოდეს და ხნოვანებით ისინი პოსტსარმატულს და მეორულის წინადროს ეკუთვნოდნენ.

საქართველოს სსრ მეცნიერებათა აკადემია
 გეოლოგიისა და მინერალოგიის ინსტიტუტი
 თბილისი

(შემოვიდა რედაქციაში 18.6.1942)

ПЕТРОГРАФИЯ

Н. И. СХИРТЛАДЗЕ

О ТЕШЕНИТАХ ЗАПАДНОЙ ГРУЗИИ

Резюме

Присутствие тешенитовых интрузий в Западной Грузии раньше указывалось только в двух местах: Курсеби и Опурчхети. В результате исследований последних лет, тешениты обнаружены в Набослеви, Цуцхвати, Колубани, Жонети, Кудоти, Зарати и Баноджа. Очаг проявления этих пород известен также в следующих местах Нижней Рачи: селениях Никорцимinda, Чкиши, Хончиори, Патара-Они и Кведа-Шавра.

Изучение вышенназванных месторождений тешенитов Западной Грузии позволяет сделать некоторые заключения о форме их залегания, об их петрографическом характере и возрасте.

Форма залегания. Все тешениты Западной Грузии характеризуются одинаковыми формами залегания: во всех выходах они располагаются в крыльях пологопадающих складок, согласно с вмещающими породами (угол падения 13—23°), на основании чего форма их залегания должна быть отнесена к типу интрузивных залежей (Sills).

Отдельные выходы. Курсеб-набослевская тешенитовая интрузия характеризуется зональным строением. Центральная часть интрузива представлена авгитовым тешенитом. Периферическая часть интрузива своим меланократным характером и минералогическим составом довольно сильно отличается от центральной части массива. На всем протяжении периферии как в кровле, так и в подошве и в апофизах порода становится мелкозернистой и меланократной. Здесь в минералогическом составе главную роль

играет баркевикитовая роговая обманка, с появлением которой всегда количественно возрастают анортоклаз и биотит. Такое строение Курсебского интрузива должно быть объяснено происшедшей на месте кристаллизационной дифференциацией.

Описываемый интрузив содержит жильные шлировые выделения, которые нигде в других тешенитах Западной Грузии не встречаются; по составу и окраске жильные выделения представлены двумя разновидностями: а) светлые жилы, в основном состоящие из альбитовых лейст, анальцима, авгита и хлорита, и б) жилы желтовато-буроватого цвета, состоящие главным образом из анортоклаза, анальцима, титан-авгита и баркевикита. Обе эти разновидности представляют тешенито-аплиты.

Шлировые выделения встречаются темных и светлых цветов. Каждый шлир проявляет зональное строение. По минералогическому составу шлировые выделения приближаются к аплитовым жилам.

Цуцхват-набегларский тешенит выходит в виде одной непрерывной полосы и представлен типичной авгитовой разновидностью, совершенно аналогичной курсебскому авгитовому тешениту.

Калоубанский тешенит окрашен в более темные цвета, чем курсебский и цуцхват-набегларский тешениты, и по минералогическому составу близок к никорциндским и баноджским тешенитам.

Опурчхет-жонетские и Кудот-заратские пластовые жилы тешенитов являются продолжением друг друга. Во всех этих выходах тешенит представлен типичной авгитовой разновидностью и по своему химическому и минералогическому составу аналогичен авгитовым тешенитам центральной части Курсебской интрузии. И здесь на перифериях порода становится мелкозернистой и меланократной. Баркевикитовая разновидность встречается только в апофизах.

Баноджский тешенит несколько отличается как от курсебского, так и от опурчхето-ジョンетского тешенитов. Эта порода в периферических частях обогащается оливином и в небольшом количестве содержит анортоклаз. Со стороны минералогического состава она отклоняется от типичных тешенитов к нормальным анальцимовым базальтам; по своей химической природе порода все-таки попадает в группу тешенитов.

Никорциндский тешенит больше похож на баноджский, чем на курсебский; он содержит больше оливина, чем нормальный тешенит. В небольшом количестве встречается и анортоклаз, но нигде в этой породе не встречается амфибол. По своему минералогическому составу он приближается к нормальному анальцимовому базалту (Наманевский тип).

Чкишицкий тешенит представляет собой типичный баркевикитовый тешенит. По своему минералогическому и химическому составу он проявляет сходство с тешенитами периферической части Курсеб-набослев-

ского интрузива. Можно допустить, что чкишишский тешенит представляет собой апофизиную часть еще необнаружившегося тешенитового интрузива.

Кведа-шавские и Патара-онские тешениты представлены авгит-рогообманковой разновидностью. Эти породы по своему составу аналогичны чкишишским, курсебским и хончиорскому рогообманковым тешенитам.

По мнению автора, поднятие тешенитов Западной Грузии связано с аттической фазой альпийского орогенеза и по возрасту тешениты можно отнести к постсарматскому и предмэотическому времени.

Академия Наук Грузинской ССР
Институт геологии и минералогии
Тбилиси

ՅՈՒՆԻՑԱՌՈ ՀԱՅՈՒԹՅԱՆ ՑԻՏԻՐՈՎԱՆՆԱ ԼԻՏԵՐԱՏՈՒՐԱ

1. Б. П. Беликов. К петрографии тешенитовых пород Кутаисского района Грузии. Рукопись Геологич. Ин-та АН СССР, 1940.
2. Д. С. Белянкин. Тешенит из Курсеби и его положение в системе горных пород. Изв. Петерб. Политехн. Ин-та, т. XVII, вып. 1. Петербург, 1912.
3. Д. С. Белянкин. Магматические горные породы и некоторые полезные ископаемые Зап. Грузии. Тр. Петрограф. Ин-та, вып. 6. Москва, 1934.
4. Д. С. Белянкин и В. П. Петров. Гиппитет Грузии. Доклады АН СССР. Новая серия, т. XXIV, № 4. Москва, 1939.
5. Д. С. Белянкин и В. П. Петров. История исследования и некоторые новые данные по тешенитам и родственным с ними цеолит-содержащим породам на территории Грузии. Записки Всероссийск. Минер. О-ва, ч. LXIX, № 2—3. Москва, 1940.
6. Н. Б. Вассоевич. Геологический очерк северо-западной части Кахетии и восточной части Эрцо-Тианетского района, часть III. Рукопись Фонд. ГПК Грузнефти. Тбилиси, 1938.
7. Н. Л. Вачнадзе и В. И. Табагари. Месторождение гумбринита. Труды Груз. Отд. ВИМС, вып. 2. Тбилиси, 1938.
8. А. П. Герасимов. Тешениты с р. Иоры (Кахетия). Труды ГГРУ, вып. 29. Ленинград, 1931.
9. А. И. Джанелидзе. Геологические наблюдения в Окрибе и в смежных районах Рачи и Лечхума. Изд. Груз. Фил. АН СССР. Тбилиси, 1940.
10. А. Н. Мазарович. Основы геологии СССР. Москва, 1938.
11. Б. Ф. Мефферт. Геол. очерк области проектируемых мощных гидроэлектростанций Грузии в бассейнах Ингури, Ихенис-шкали, Рioni и Куры. Труды Всесоюзного Геологического разведочного объединения НКГП СССР, вып. 349.
12. В. И. Табагари. Тешениты из Баноджа Кут. района Гр. ССР. Труды Груз. Гос. Геол. Управления, вып. V. Тбилиси, 1940.
13. Г. Чермак. Горные породы с Кавказа. Горный журнал, издаваемый Горным ученым комитетом, т. III. 1873.



БОТАНИКА

АННА ШХИЯН

НОВЫЕ ДАННЫЕ К ПОЗНАНИЮ КАВКАЗСКИХ ПОСТЕННИЦ

Многолетнее изучение кавказского материала по роду *Parietaria* приводит нас к убеждению, что род этот содержит в себе еще немало новых, неизвестных науке интересных форм. Так, представители *Parietaria* из высокогорий Дагестана и Ингушетии, благодаря своим хорошо дифференцированным морфологическим различиям и обособленному ареалу, дают нам возможность рассматривать их как особую форму. На нее еще в свое время обратил внимание Ярмоленко, выделив ее в качестве самостоятельного вида—*Parietaria caespitosa* Jarm. ([1], стр. 400) не дав, однако, ей диагноза. В настоящее время, имея на руках достаточно материала для возможности установления самостоятельности этого вида, мы помещаем ниже его описание, сохранив по праву название, данное впервые Ярмоленко.

Одновременно, получив сейчас возможность изучить детальнее морфологические особенности экземпляров этого же рода из Лечхуми, отмеченных еще в предыдущей нашей работе ([2], стр. 18), нам удалось установить, что указанные нами морфологические отличия вполне выдержаны и могут считаться диагностическими; таким образом, названные экземпляры можно рассматривать как принадлежащие к особому виду, описание которого также помещается в настоящей заметке.

1. *Parietaria caespitosa* Jarm. in Flora USSR, V (1936) 400
(nomen nudum).

Perennis, caespitosa, rhizomate lignoso, tota pilis brevibus \mp adpressis rectis vel uncinatis obsita. Caules plures a basi fere ad medium lignosi 15—20 cm alti canescens-virides, erecti, rigidi, virgati, a medio praesertim foliosi. Folia parvula 0,7—1,2 cm longa 0,3—0,5 cm lata, anguste rhombo-elliptica, apice acutata, versus basin in petiolum laminae dimidium aequantem sensim attenuata, supra dense tuberculata, pilis solitariis obsita, basi 3—5 manifeste nervosa, sparse pilosa, margine albo-ciliata ciliis adpressis rectis vel uncinatis. Inflorescentia e glomerulis densis 5—10 flora petiola superantibus constans, glomerula superiora multa (ad 15) flora. Flosculus inferior femineus, caeteri hermaphroditi. Bracteae 2—2,5 mm longae dense glanduloso-puberulae dimorphae apud flosculos hermaphroditos 2—3 basi \mp connatae, ovatae vel late ovatae, apud



femineos bractea unica linear-lanceolata. Perigonio pubescente in flosculos hermaphroditos ad medium vel ad $\frac{3}{4}$ longitudinis connato, primo membranaceo ad 1 mm longo, late ovato virescente, lobis apice conniventibus, dein elongato breviter-campanulato fave aperto, post anthesin tubulosu brunnescente subindurato 3—3,5 mm longo bracteas 1,5—2-plo superante, dentibus triangulari subulatis intus conniventibus olivaceo-brunneis dense albo-pubescentibus. Perigonium florum femineum bractea sua vix longior ad 2 mm. longum, ovatum ad medium coalitum dentibus subulato-lanceolatis, acuminatis, nubo-brunneis. Stamina in floribus hermaphroditis 4. Stylus cum stigmatis penicillatis subexsertus, mox deciduus. Nucula 1 mm sublongiora ovata olivacea, basi flavescentia VII—VIII.

In rupibus calcareis regionis subalpinae.

Daghestan, Levashi, 1894. Radde., Dargi, prope pag. Tsudakhar 3600 m. In fissuris rupium, 16.VII.1898. Alexeenko. Fl. Awar.-Koisu. Caucasus orientalis. Ai-guan. 16.VII.1861. Ruprecht. Inguschetia. In declivio meridionali jugi Tzey-lam. In rupestribus subalpinis. 12.VIII.1940. A. Charadze.

A *P. officinali* L. et *P. littoralis* Schchian habitu, pubescencia brevi adpressa, follis minutis anguste rhomboe-ellipticis differt.

Многолетнее растение с деревянистым корневищем, опущенное короткими более или менее прижатыми прямыми или крючковатыми белыми волосками, с пучком отмерших прошлогодних стеблей при основании; образует дерн. Стебли многочисленные от основания почти до половины своей длины деревянистые, 15—20 см высотою, серо-зеленые, вверх торчащие, жесткие, прутьевидные, облистенные преимущественно от середины. Листья весьма мелкие 0,7—1,2 см длиною, 0,3—0,5 см шириной, узко-ромбически-эллиптические, на верхушке заостренные, к основанию постепенно отогнутые в короткий достигающий только половины ширины листовой пластинки черешок, сверху густо усажены бугорочками, с редкими единичными волосками, снизу с 3—5 хорошо заметными нервами рассеянно волосистые, по краю с белыми прижатыми прямыми или крючковатыми ресничками. Соцветие в виде густых мелких 5—10 цветконых клубочков, превышающих длину листовых черешков, в верхней части стебля соцветие состоит из большего количества цветков (до 15). Нижний цветок в соцветии пестичный, остальные обоеполые. Прицветники от 2-х до 2,5 мм длиною, густо железисто опущенные, двух типов: при обоеполых цветках в количестве 2—3, более или менее сросшихся у основания, яйцевидные или широко-яйцевидные, при пестичных цветках один линейно-ланцетный. Околоцветник опущенный, у обоеполых цветков сросшийся наполовину или на $\frac{3}{4}$, вначале пленчатый, до 1 мм длиною, широко яйцевидный, зеленоватый, со сходящимися на верхушке долями, впоследствии несколько удлиняющийся, коротко-колокольчатый, в зеве раскрытый, к концу цветения трубчатый, буреющий, несколько уплотняющийся 3—3,5 мм длиною, в 1,5—2

раза превышающий прицветники, с треугольно-шиловидными, сходящимися во внутрь оливково-буроватыми густо бело-опущенными зубцами. Околоцветник пестичных цветков едва превышает прицветник, около 2-х мм длиною, яйцевидный, до середины спаянный, с шиловидно-ланцетными вытянутыми в носик зубцами, красновато-бурый. Тычинок в обоеполых цветках 4. Столбик слегка выставляется вместе с кистевидным рыльцем и вскоре отпадает. Орешек несколько больше 1 мм длиною, яйцевидный, оливковый, к основанию желтоватый. VII—VIII.

На выходах известняков субальпийского пояса.

Дагестан. Левашин. 1894. Радде; Dargi, prope pag. Tsudakbar, 3600 м. с. м. In fissuris turpium, 16.VII.1898. Alexeenko. Fl. Awar-Koisu. Caucasus orientalis. Aiguch. 16.VII.1861. Ruprecht. Ингушетия. Южный склон хребта Цейлам. На известняковых скалах субальпийской полосы. 12.VIII.1940. Харалзе.

P. caespitosa Jarm. относится к циклу форм, группирующихся вокруг европейского вида *P. officinalis* L. Последний в своем распространении заходит и на Кавказ, где нам известны единичные местонахождения его: одно из Восточной Грузии (Дарьальское ущелье), другое из низменного Дагестана (Касум-кент)¹. В западной части Кавказа *P. officinalis* сменяется хорошо обособленной морфологически и географически прибрежной формой *P. littoralis* Schchian; в Ингушетии полиморфный цикл этот представлен высокогорной ксерофильной формой, связанной с известняками этой области—*P. caespitosa*. В прилегающем к ней Нагорном Дагестане форма эта встречается в аналогичных условиях.

Габитуально *P. caespitosa* больше всего напоминает *P. judaica* Strand, но наличием пестичных цветков в соцветии резко отличается от последней. По строению соцветия описываемый вид несомненно близок к *P. officinalis*, а также к *P. littoralis* Schchian, однако обнаруживает целый ряд отличий, которые выражаются в следующем:

P. caespitosa Jarm.

1. Растения образуют дерновину с пучком отмерших прошлогодних стеблей при основании.

2. Стебли привесистые 15—20 см высотою, слегка у основания ветвистые, жесткие, прутьевидные.

P. officinalis L.

1. Растения не образуют дерновину, пучка отмерших прошлогодних стеблей при основании нет.

2. Стебли высокие 40—60 см высотою, более или менее ветвистые, приподнимающиеся, мягкие.

P. littoralis Schchian

2. Стебли менее высокие 20—40 см выс., распространено — многоветвистые.

¹ Считаем здесь необходимым отметить, что при просмотре этого рода в Кавказском гербарии БИН АН СССР, нам удалось установить наличие на Кавказе типичной *P. officinalis* L. За последним видом следует сохранить линнеевское название, а наименование, данное ему же Мертенсом и Кохом позже ([3 стр., 827]) — *P. diffusa*, использованное нами в предыдущей работе ([2], стр. 15), должно быть отнесено к синонимам *P. officinalis* L.

3. Опушение короткое из прижатых прямых или крючковатых волосков.
4. Листья мелкие, преимущественно $0,8 \times 0,4$ см, равновеликие на одном и том же растении, узко ромбические эллиптические.
5. Соцветие превышает длину листового черешка.
3. Опушение смешанное из длинных прижатых и оттопыренных волосков.
4. Листья ланцетные или эллиптические, разных размеров на одном и том же растении, $4,5 \times 2,0$ см и $1,0 \times 0,5$ см.
5. Соцветие значительно короче черешков крупных листьев, равно или слегка короче черешков мелких листьев.
3. Опушение из длинных оттопыренных волосков.
4. Листья довольно крупные, округло ромбические или яйцевидно ромбические, равновеликие, $2,0 \times 1,5$ см.
5. Соцветие значительно короче листовых черешков.

Указанные отличия, придающие особый *habitus* этой форме, а также наличие определенного ареала заставляют нас рассматривать *P. caespitosa* в качестве самостоятельного вида.

2. *Parietaria Kemulariae* m. sp. n.

Perennis, rhizomate lignoso, tota pilis albis patulis obsita. Caules breves 10—20 cm alti, pauci, subsimplices, ascendentes, cano virides, tenues, praesertim in parte superiore laxe foliosi. Folia rotundato-ovata rhombea 1,5—3 cm longa, 0,8—2 cm lata, membranacea, subtus glauca nervis 5 manifestis, supra viridia, sparse glanduloso-pilosa, utrinque punctulato-tuberculata, margine uncinato albo-pilosa, petiolis brevibus 0,3—0,7 cm longis. Inflorescentia pauci-(2—3) flora, petiolis multo brevior. Bracteae 2—3 basi connatae, ovatae dense puberulae, media late ovata ad 2 cm longa, lateralibus ovatis vel anguste ovatis, subamplectentibus, ad 1 mm longis. Flores omnes hermaphroditici. Perigonium membranaceum, flavescenti-viride, breviter campanulatum 2 mm longum, deinde elongatum, tubulosum, 3—4 mm longum, brunneascens, induratum, dentibus conniventibus, sparse patule pilosum. Stamina 4. Stylus una cum stigmatis penicillatis mox deciduus. Nucula olivacea ad 1 mm longa, perigonio inclusa cum eo decidua VI—VII.

In rupibus calcareis regionis montanae inferioris et mediae.

Lechkhum. Fauces tl. Ladzhanuri, prope pag. Orpiri. 10.VII.1929. Kemularia-Nathadze; Ibidem. 15.VII.1929. Kemularia-Nathadze. Imerethia. 1877. Brotherus.

A *P. judaica* Strand caulibus laxe foliosis, foliis rotundato-ovato rhombis inflorescentiisque paucifloris differt.

Многолетнее растение с деревянистым корневищем, опущенное оттопыренными белыми волосками, в нижней части густо, в верхней более рас-

сиянино. Стебли короткие 10—20 см высотою, немногочисленные, почти нейтральные, приподнимающиеся, серовато-зеленые, тонкие, не густо, преимущественно в верхней своей части облистенные. Листья округло-яйцевидно ромбические, довольно крупные от 1,5—3 см длиною и от 0,8—2 см шириной, преимущественно 2,0 × 1,5 см пленчатые, снизу сизые с 5 ясными перевесами, сверху зеленые, рассеянно железисто волосистые, с обеих сторон точечно бугорчатые, по краю с крючковатыми или несколько прижатыми белыми ресничками, на коротких 0,3—0,7 см длины черешках. Соцветие немногоцветковое, из 2—3 цветков, намного короче листовых черешков. Прицветников 2—3 густо опущенных, сросшихся при основании, яйцевидных; в случае когда их 3, то средний широко яйцевидный до 2 мм длиною, как бы обхватывающий два боковых яйцевидных или узко яйцевидных до 1 мм длиною прицветника. Цветки только обоеполые; околоцветник вначале пленчатый, коротко-колокольчатый, 2 мм длиною желтовато-зеленый, позже уплотняющийся, вытягивающийся, трубчатый 3—4 мм длиною, буреющий, со сходящимися треугольно-шиловидными зубцами, рассеянно оттопыренно опущенный. Тычинок 4. Столбик вместе с кистевидным рыльцем рано опадающий. Орешек оливковый, до 1 мм длиною, яйцевидный, окружен околоцветником, вместе с ним отваливающийся VI—VII.

На известняковых склонах нижней и средней горной полосы. Лечхуми. Ущелье реки Ладжанури. Близ сел. Орпир. 10.VII.1929. Кемулариа-Натадзе; Там же 15.VII.1929. Кемулариа-Натадзе; Имеретия. 1877. Бротерус.

Описываемая нами лечхумская *P. Kemulariae* рассматривалась кавказскими авторами до сих пор как один вид с восточно средиземноморской *P. judaica* Strand, от которой она, однако, хорошо отличается рядом существенных признаков.

P. Kemulariae m.

1. Стебли редко облистенные, преимущественно в верхней своей части.
2. Листья крупные от 1 $\frac{1}{2}$ —3 см. длиною, округло-яйцевидно ромбические.
3. Соцветие малоцветковое (2—3 цветка).
4. Прицветники яйцевидные или широко яйцевидные.

P. judaica Strand.

1. Стебли густо облистенные по всей своей длине.
2. Листья мелкие 1—1 $\frac{1}{2}$ см длиною, яйцевидно-ланцетные.
3. Соцветие многоцветковое (5 и более цветков) редко меньше.
4. Прицветники линейно-ланцетные или ланцетные.

Наша постенница принадлежит к полиморфной группе видов, наиболее известным из которых является восточно средиземноморская *P. judaica*. Судя по имеющемуся у нас материалу, виды этой группы расселены преимущественно в области Малой Азии, Кавказа и Средней Азии. На Кавказе, помимо *P. judaica*—широко у нас распространенного в предгорьях вида, полиморфный цикл этот представлен более редкими, имею-

щими узкое распространение близкими видами, которые в свое время описал С. Koch ([4], стр. 606—607)—*P. cryptorum*, *P. nitens* и *P. elliptica*. Виды эти, однако, не получили широкого признания и впоследствии отождествлялись с *P. judaica* ([5], стр. 149; [6], стр. 235, 43—44).

Наличие первых двух видов на Кавказе подтверждается нашими наблюдениями. Возможно, дополнительные сборы позволят полностью восстановить все виды С. Koch'a.

От *P. cryptorum* наш вид отличается формой и размерами листьев, а также характером роста: у *P. cryptorum* листья более удлиненные—яйцевидно-эллиптические, к основанию длинно оттянутые, 3—4 см дл., стебли почти прямые, высокие, 30—40 см длиною. От *P. nitens* наша постенница легко отличима отсутствием характерного для этого вида налета на листьях. Наш вид таким образом увеличивает ряд кавказских видов этого цикла.

Академия Наук Грузинской ССР
Тбилисский Ботанический Институт
Отдел систематики и географии
растений

(Поступило в редакцию 9.3.1942)

გორგანია

ა. შეიძლი

ახალი მონაცემები გვ. PARIETARIA-ს კავკასიის ზარაობადებებითა უმცირებელისათვის

რეზუმე

წინამდებარე შენიშვნაში ავტორი აღწერს გვ. *Parietaria*-ს 2 ახალ სახეობას: *P. caespitosa* Jarm. და *P. Kemulariae* Schchian sp. n. ჯერ კიდევ იარმოლენკომ თავის დროზე ([1], გვ. 400) მიაქცია ყურადღება პირველ სახეობას და მისცა მას მხოლოდ სახელწოდება. ამგამად ავტორმა ისარგებლა სახეობის შესწავლის შესაძლებლობით და მოგვცა მისი დიაგნოზი.

1. *P. caespitosa* Jarm. (*nomen nudum*) იზრდება დალისტანია და ინგუშეთში.

აღწერილი სახეობა ყველაზე ახლოს დგას *P. littoralis* Schchian-თან, რომელთაგანაც განირჩევა კორდის შექმნით, მაგარი, წნელისმაგვარი, დაბალი დერობით, მოკლე მიტეცილი მოთეთრო შებუსვით და, ბოლოს, წვრილი რომბულ-ელიფსური ფოთლებით.

2. *Parietaria Kemulariae* m. sp. n. იზრდება ლეჩხუმში შუა ნა ქვედა მთის სარტყლის კირნარ ფერდობებზე.

აბხ. სახეობა აღწერილია იმ მასალების მიხედვით, რომელიც ლ. კემულა-ჩია-ნათაძემ 1929 წ. მდ. ლაჯანურის ხეობაში შეაგროვა.

P. judaica Strand-სგან განსხვავდება ლეროების მეჩხერი შებუსვით, დიდი რომბული ფოთლებითა და მცირე-ყვავილოვანი ყვავილებით. *P. cryptorum* C. Koch-საგან განსხვავდება ფოთლების ფორმით (უკანასკნელის ფოთლები კერცხისებრ-ელიფსურია).

P. nitens C. Koch-საგან განსხვავდება იმ სახეობისათვის დამახასიათებელი ფოთლებზე არსებული ნაფიფქის უქონლობით.

აკრთველოს სირ მეცნიერებათა აკადემია
 თბილისის ბატანიკის ინსტიტუტი
 მუნარეთა გეოგრაფიისა და სისტემატიკის
 განყოფილება

ЦИТИРОВАННАЯ ЛИТЕРАТУРА—ЦИТИРОВАННАЯ ЛИТЕРАТУРА—ЦИТИРОВАННАЯ ЛИТЕРАТУРА

1. Ярмоленко. Род *Parietaria*. Флора СССР, т. V, Москва—Ленинград, 1936.
2. А. Шхиян. Материалы к изучению кавказских представителей р. *Parietaria*. Зам. по сист. и геогр. раст., вып. 5, Тбилиси, 1939.
3. Mertens et Koch in Röhling's Deutschl. Fl. ed. III, 1, 1823.
4. C. Koch in Linnaea XXII (1849). Halle.
5. Boissier. Fl. Orient. IV. Basiliae et Genevae, 1879.
6. Weddell. Urticaceae in DC. Prodr. XVI, 1. Parisiis, 1869.



БОТАНИКА

М. ЭКВТИМИШВИЛИ

НОВЫЕ ДЛЯ ФЛОРЫ КАВКАЗА ВИДЫ РОДА *VICIA*

В процессе обработки рода *Vicia* для «Флоры Грузии» по гербарным материалам Тбилисского Ботанического Института АН ГССР и собранным нами в Мтиулетии материалам выяснилось наличие в нашей флоре двух новых видов и одной разновидности, диагнозы которых приводятся нами ниже.

Vicia Sosnowskyi sp. nova

(Sect. *Cracca* S. F. Gray Nat. Brit. pl. 11 [1821] 614).

Perennis, caulis ascendentibus v. erectis, ad 40—60 cm altis, cum petiolis sparse patentim pilosis. Folia 7—11 cm longa cirrho ramoso revoluto terminata, foliolis 9—12 iugis, oblongo-linearibus vel lanceolatis, obtusis v. acutatis apice mucronulatis, adpresso puberulis, 13—24 mm longis 3—5 mm latis, stipulis semisagittatis, integris, lobis triangularibus, lobulo superiore maiusculo 14—20 mm longo, inferiore 7—9 mm longo. Inflorescentia racemosa 7—11 flora, calyce obliquo, atroviridi, hirsuto corolla 4-plo breviore, dentibus inaequalibus, inferioribus tubo longioribus ad 6 mm longis, lateralibus brevioribus ad 4 mm longis, e basi triangulari lanceolato-subulatis; corolla pallide cyanea 22—24 mm longa, subaperta, vexillo apice emarginato, 22—24 mm longo, lamina ungue aequilata, ungue lamina sua 1,5—2-plo longiore, alis vexillo subaequilongis, carina brevi 16—17 mm longa. Legumen stipitatum, e tubo calycino subexsertum linearis hombeum, basi angustatum apice oblongo rostratum, albo hirsutum, maturum stramineum, interdum cyanescens, 32—37(40) mm longum, 7—8 mm latum. Semina subglobosa a latere subcompressa, fuscescencia marmoraceo-picta, 4—5 mm longa, caruncula oblongo-ovali albo-suffusa 2—2,5 mm longa.

Type: Crescit in Mthiulethia: fauces fl. Aragvae Albae; in pratis pp. Shoncho et Zhuzhuna, in m-te Satkhe. 13.VIII.1940. M. Ekvtimishvili et D. Grigorashvili.—Prope Shoncho. 19.VIII.1936. D. Grigorashvili.

Многолетник с ветвистыми приподымающимися или прямостоячими стеблями, достигающими 40—60 см высоты; стебли и черешки листьев редко оттопыренно-волосистые. Листья 7—11 см дл. заканчиваются ветвистым



Рис. 1. *Vicia Sosnowskyi* Ekv. — общай вид.

1—листочек; 2—цветок, а—чашечка, б—флаг, в—крылья, г—лодочка; 3—боб; 4—семя, 5—спереди, 6—сбоку.

закрученным усиком, листочков 9—12 пар, продолговато-линейных или ланцетных, тупых или заостренных с остроконечием на верхушке, прижато опущенных, 13—24 мм дл., 3—5 мм шир. Прилистники полустреловидные, цельнокрайние, с треугольными долями, верхняя из них крупная, 14—20 мм дл., нижняя 7—9 мм дл. Соцветие—7—11, цветковая кисть 7—13 см дл. Чашечка косая, сине-зеленая, мохнато-опущенная в четыре раза короче венчика, с неравными зубцами, нижние зубцы длиннее ее трубочки, до 6 мм дл., боковые слегка короче, до 4 мм дл., ланцетно-шиловидные с треугольным основанием. Венчик голубовато-синий 22—24 мм дл. нешироко раскрытый. Флаг на верхушке с выемкой, 22—24 мм дл., пластинка флага одной ширины с ноготком, ноготок в 1,5—2 раза длиннее пластинки, крылья почти такой же длины, как и флаг. Лодочка короткая 16—17 мм дл. Боб на ножке, слегка выставляющийся из трубочки чашечки, линейно-ромбический, у ножки суживающийся с продолговатым носиком на конце, с белым мохнатым опушением, зрелый соломенно-желтого цвета, иногда синевато окрашенный, 32—37 (40) мм дл., 7—8 мм шир. Семена почти шаровидные с боков слегка сплюснутые, бурье с мраморным рисунком, 4—4,5 мм дл. Рубчик продолговато-ovalный с белым налетом 2—2,5 мм дл.

Произрастает в Мтиулетии на субальпийских лугах на высоте 1800—2000 м.

Тип: Мтиулетия: ущ. Белой Арагвы, сенокосные луга с. Шончо и Жужуна, гора Сатхе. 13.VIII.1940 г. М. Эквтимишвили и Д. Григорашвили. Мтиулетия: ущ. Белой Арагвы, окр. с. Шончо. 19.III.1936. Д. Григорашвили.

Наш вид более всего близок к *V. variegata* W., последний вид отличается листьями с коротким простым усиком, иногда и без него, с 6—9 парами продолговатых или продолговато-яйцевидных на верхушке притупленных с елва заметным остроконечием листочков, 7—15 мм дл., 3—6 мм шир., 5—8—цветковой кистью; зубцами чашечки треугольными, короче трубочки, венчиком до 20—26 мм дл., широко раскрытой пластинкой флага, равной или немного превышающей ноготок, и ноготком, более узким, чем пластинка.

Vicia Grossheimii sp. nova

(Sect. *Cracca* S. F. Gray Nat. Arr. Brit. pl. 11 [1824] 614).

Syn. *V. variabilis* var. *subalpina* Grossh. Флора Кавказа, II (1930) 368.—
V. variabilis auct. cauc. non Freyn et Sint. pp.—*V. cracca* L. auct. cauc. non L. pp.

Perennis, parce ramosa, adpresso pubescens, caulis debilibus ascendentibus 45—90 cm altis, internodiis longis rectis 4—11 cm longis. Folia

5—10 cm longa cirro ramoso revoluta terminata, foliolis 7—10 iugis oblongo-linearibus vel lanceolatis apice mucronulatis 12—35 mm longis, 2—6 mm latis, stipulis semisagittatis lobis lanceolatis. Inflorescentia racemosa densiflora, folio fulcrante longior, 5—16 mm longa, calyce obliquo dentibus inaequalibus, adpresso puberulo, corolla 3-plo breviore, dentibus inferioribus brevioribus, calycem raro aequantibus, 1,5—2 mm longis, triangulariter-lanceolatis, superioribus brevissimis, triangularibus, vexillo breviter emarginato, lamina longitudine et latitudine unguem aequante, alis vexillum subaequantibus, carina eis breviore, apice macula atro-violacea notata. Legumen glabrum breviter stipitatum, calycis tubo inclusum, 23—30 mm longum, 7—8 mm latum, oblongo-lineare, utrinque subangustatum. Semina oblongo-rotundata fuscescentia, secus carunculam marmoracea, 4 mm longa, 3 mm lata, caruncula linearis brunnea, 4 mm longa. Crescit in Ciscaucasia, Daghestania, Georgia, Azerbeidzhan et Armenia.

In pratis montanis, inter segetes, in rupibus, in dumetis et in schistosis ad 2800 m supra mare.

Type: In viciniis p. Stephan-Tzminda (Kasbek); inter segetes 28.VII.1939. M. Ekvtimiashvili.

Многолетнее, мало ветвистое, прижато-опущенное растение, со слабыми приподымающимися стеблями 45—90 см высоты, с длинными прямыми междуузлинами 4—11 см дл. Листья 5—10 см дл. заканчиваются ветвистым закрученным усиком, листочков 7—10 пар продолговато-линейных или ланцетных с остроконечием на верхушке, 12—35 мм дл., 2—6 мм шир., прилистники полустреловидные с ланцетными долями. Соцветие—густая многоцветковая кисть, длиннее листьев, 5—6 мм дл. Чашечка косая с неравными зубцами, прижато-опущенная, в 3 раза короче венчика, нижние зубцы чашечки короче, редко равны ее трубочке, 1,5—2 мм дл., треугольно-ланцетные, верхние очень короткие, треугольные. Венчик фиолетовый, 11—12 мм дл. Флаг с маленькой выемкой, длина и ширина пластинки равна ноготку, крылья почти равны флагу, лодочка короче их, на верхушке с темно-фиолетовым пятном. Боб голый на короткой ножке, не выставляющийся из трубочки чашечки, 23—30 мм дл., 7—8 мм шир., продолговато-линейный, с обоих концов слегка суженный. Семена продолговато-округлые, бурье с мраморным рисунком вдоль рубчика, 4 мм дл., 3 мм шир. Рубчик линейный, коричневый 4 мм дл.

На горных сенокосных лугах, в посевах, на скалах, в кустарниках и на щебнистых местах до 2800 м н. у. м.

Type: Окр. сел. Степан-Цминда (Казбек). В посевах 28.VII.1939 г. M. Эквтимишивили.

Местонахождения: Предкавказье. Санчара. Альбов! Дигория. Е. и Н. Буш! Балкария. Е. и Н. Буш! Дагестан. Гуниб. Козловский! Мурабы. Введенский! Между с. Леваши и Ходжал-Махи. Введенский! Врх. р.

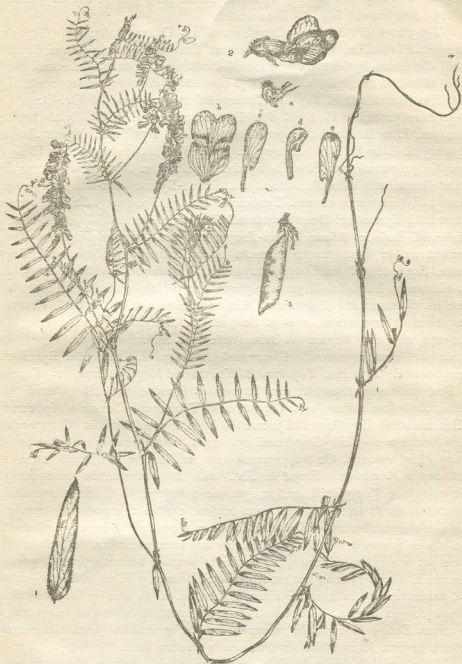


Рис. 2. *Vicia Grossheimii* Ekvtimischvili—общий вид.

1—листочек; 2—цветок, а—чашечка, б—флаг, в, г—крылья; д—лодочка; 3—боб.

Аварского-Койсу. Долуханов! Урочище Хочал-Даг, ущ. р. Тляйсарухского-Койсу. Долуханов! Бамбак. Введенский!

Груз. ССР. Абхазия. Самурзакань, хр. Охачкуе. Альбов! Окр. гр. Кицирха. Шхиян! Мингрелия, г. Мигария. Сосновский! Гора Квира. Сосновский! Сванетия. Чубехеви. Сосновский! Рача. Ущ. Джавы. Мищенко! Между с. Шови и ледн. Буба. Капеллер! Имеретия. Молити. Козловский! Гурия. Ело. Вашаломидзе! Бахмаро. Гросгейм! Рикеты. Альбов! Юг.-Осет. Ср. Эрманское ущ. Е. и Н. Буш! Врх. Эрманское ущ. Е. и Н. Буш! Бритатское ущ. Е. и Н. Буш! Кударский р-н. Е. и Н. Буш! Бас. Малой Лиахви, Шуашхури. Е. и Н. Буш! Дых-су. Е. и Н. Буш! Рокское ущ. Е. и Н. Буш! Врх. Кабустинское ущ. Е. и Н. Буш! Мтиулетия, г. Лекнаури, Пшави, Зетукис-Цвери, с. Каши, Рошкис-хорхи, Ликок-Булалеуртас-мта. д. Григорашвили! Кайшаурская долина. Троицкий! Гудаур. Троицкий! Радде! Гергети. Троицкий! Сулакадзе! Эквтимишвили!! Казбек. Введенский! Харадзе! Эквтимишвили! Коби, с. Абано, Цител-Дзири, г. Элия, Харадзе! Картлия, Триалетский хр. от Кохтинского перевала до г. Кенчикаро. Троицкий! Бакуриани. Козловский! Капеллер! Папушина! Тавкветили, Цихис-Джвари, Даба, Сакочави, Митарба, Шуглиант-убани, Цхра-Цхаро, Кохта, Табисцхурское оз. Козловский! Ломис-мта. Медведев! Атени. Сосновский! Кахетия Лагодехский заповедник, врх. р. Лагодех-оп. Долуханов! Джавахетия, Хачал-гора, окр. оз. Мадатапа. Зедельмайер! М. Эквтимишвили!! Гореловка. Гросгейм! Эквтимишвили!! Шенгелия! Ахалкалаки. Гросгейм! Бугдашен. Зедельмайер! Тушетия, Тианети. З. Канчавели! Мта-Тушетия, с. Гиреви. д. Григорашвили! Азербайджан. Ганджа, г. Кошкар-даг. Долуханов! Армения. Лорийская степь, окр. Воронцовки. Троицкий! Диличан. Гросгейм и Зедельмайер! Нор-Баязет. Гросгейм! Зедельмайер! Артвин. Сосновский!

Новый вид—*Vicia Grossheimii* sp. nova относится к полиморфному циклу *Vicia cracca* L. От произрастающего на Кавказе близкого вида из этой серии *V. variabilis* Freyn et Sint. наш вид отличается следующими признаками: у *V. variabilis* стебли крепкие с короткими извилистыми междуузлями, тогда как у нашего вида стебли слабые с длинными прямыми междуузлями. Листья у *V. variabilis* более короткие, листочки сближенные, более узкие, у нашего вида листья длиннее, листочки на оси листа более расставленные. Кисти у *V. variabilis* рыхлые, односторонние, у *Vicia Grossheimii* кисти густые, неодносторонние. Венчик у *V. variabilis* 10—15 мм дл., пластинка флага длиннее и шире ноготка, тогда как у нашего вида венчик 10—12 мм дл., пластинка флага одинаковой длины и ширины с ноготком. Боб у *V. variabilis* клиновидный, а у нашего вида линейный. Рубчик семени *V. variabilis* короче, чем у нашего вида.

Vicia variabilis Freyn et Sint.—растение с более южным ареалом, произрастает на Малом Кавказе на более или менее сухих местах и на южных склонах, тогда как наш вид приурочен преимущественно к Большому Кавказу

и, хотя произрастает также и на Малом Кавказе, но там встречается на более увлажненных местах и на северо-западных склонах.

Vicia sepium L. var. *longisepala* mihi

A typo differt calycis dentibus tubo sublongioribus, stipulis inferioribus maioribus.

Crescit in Caucasi Magni et Minoris regione subalpina.

От типичного вида отличается ланцетно-шиловидными зубцами чашечки, почти равными ее трубочке, нижние прилистники более крупные.

Местонахождение: Верховья Мзымты, перемычка Хаг-Кицирха, альп. луга. Н. Альбов! Сванетия. Бечо, на альп. лугах Квиши. Сосновский! Озургети, Алжаро-Имеретинский хр., окр. Бахмаро, 2000 м. А. Грос-гейм! Юго-Ост. Гнухское ущ., уроч. Ханикай-Тау, луг из под леса выше с. Диагин, 1900 м. Е. и Н. Буш! Юг.-Ост. Басс. Малой Лиахви, Чапарухское ущ., буково-березовый лес под перевалом Бибильты, 2000 м. Е. и Н. Буш! Юг.-Ост., Чапарухское ущ., лес Скатыком-кад, 1900 м. Е. и Н. Буш! Бакуриани, верх. р. Кция. Козловский! Бакуриани, Кохта. Папушина! Бакуриани, на Имеретинских горах. Козловский! Ломис-мта. Д. Григорашвили! Мтиулетия, Кайшаурская долина, южн. склон. Троицкий!

Академия Наук Грузинской ССР
 Государственный Музей Грузии
 Тбилиси

(Поступило в редакцию 23.10.1942)

გოტანია

მ. ეკვთონიშვილი

გვარ *VICIA*-ს კავკასიის ფლორისათვის ახალი სახელი

რეზუმე

- ჩვენი ახალი სახე. *Vicia Sosnowskyi* განსხვავდება მასთან ახლო მდგომ *Vicia variegata* W.-საგან: უფრო მაღალი ტანით, გრძელ დაგრძეხილ-ულვა-ზანი ფოთოლით, წაგრძელებულ-ხაზურა და ლანცეტისებრი უფრო გრძელი და ვიწრო ფოთოლაქებით, რომელნიც წევტითაა დაბოლოებული. 7—11-კვავილიანი მტევნით, უფრო გრძელი ჯამის ფოთოლაქების კბილებით, ვიწრო ფრით, რომლის ფირფიტა და ფრჩხილი თანაბარი სიგანისაა.

ჩვენი სახე შეგროვილია მთიულეთში, თეთრი არაგვის ხეობაში სოფ. შონჩხისა და უუჯუნას სათიბში, სუბალპიურ მდელოებზე 1800—2000 მ. ექვთიმიშვილისა და დ. გრიგორაშვილის მიერ.

2. ახალი სახეობა *Vicia Grossheimii* ეკუთვნის *V. cracca* L-ს პოლიმონურიულ ჯგუფს, რომელიც მასთან ახლო მდგომ *V. variabilis* Freyn et Sint.-საგნ განსხვავდება: სუსტი—მაღალი ღეროთი, გრძელი მუხლთშორისით, უფრო ხშირი და მოკლე მტევნით, პატარა ზომის გვირგვინით და ხახური პარკით.

ჩვენი სახეობა დამახასიათებელია უფრო მთავარ კავკასიონისათვის, თუმცა მცირე კავკასიონზედაც გვხვდება, სადაც ის უმეტესიდ გავრცელებულია ჩრდილო-დასავლეთ ფერდობებზე და უფრო ტენიან აღვილებში.

3. ახალი ქვე-სახე *V. sepium* L. var. *longisepala* ძირითად სახისაგან განსხვავდება: ლანცეტა-სადგისებრი მილის თანაბარი ჯამის კბილებით და უფრო დიდი ქვედა თანაფოთლებით.

საქართველოს სსრ მეცნიერებათა აკადემია

საქ. სახელმწ. მეზეული
თბილისი

ბოტანიკა

გ. პალაშვილი და ლ. გასილევსკაია

ჩვენი ნაძვისა და სოჭის მორიგლაზ ნედლულად
გამოყენებისათვის

თანამედროვე პირობებში დასმულია საკითხი ადგილობრივ მცენარეები-
დან მთრიმლავი ნივთიერების მიღების შესახებ. ამ მხრივ საყურადღებოა წიწ-
ვიანი მცენარეები, რომლებიც ტანიდებს შეიცავენ. აღნიშნულია, რომ რუსთის
პირობებში [1] ნაძვის ქერქი შეიცავს 10%, ტანიდებს, არატანიდებს კი 90%,
ხოლო საბქოთა კავშირის სხვადასხვა რაიონში [2] ნაძვის ქერქში ტანიდების
რაოდენობა აღწევს 7—12%. ნაძვის მერქნის ყოველწლიური დამზადებიდან
შესაძლებელია 1,5 მილიონი ტონა ნაძვის ქერქის ან 130—150 ათასი ტონა
სუფთა ტანიდების მიღება. ნაძვის ქერქის ექსტრაქტით დათრიმლვის ერთ-ერთ
ნაკლად ითვლება ტყავში მისი მეტად ნელა გაფონება და ადვილად გამორტყება,
რის დაძლვის შესაძლებლობა უკვე მიღებულია გამოყენებით ქიმიის სახელმ-
წიფო ინსტიტუტის მიერ [3]. ამას გარდა, ნაძვის ქერქის ექსტრაქტის ხმარება
სხვა მცენარეთა ექსტრაქტების ნარევთან კარგ შედეგს იძლევა.

შექმნილ ვითარებასთან დაკავშირებით საქართველოს წიწვიანი მცენარე-
ებიდან მთრიმლავ ნივთიერებათა მიღების საკითხი მეტად აქტუალური გახდა.
ლიტერატურული მონაცემები მათი ლირებულების შესახებ თითქმის არ მოი-
პოვება. ჩვენი გამოკვლევა შეადგენს მცირე ნაწილს იმ დიდი მუშაობისას, რო-
მელსაც ბორტანიკის ინსტიტუტი ეწევა ადგილობრივი რესურსების გამოყენების
მიზნით. სხვა მცენარეთა შორის გამოკვლეული იყო:

Abies nordmanniana (Stev.) Spach. და *Picea orientalis* (L.) Link. წირტელი
საქირთა ქერქი. შესწოვლილი იყო ტანიდების ცვალებადობა ადგილსამყოფე-
ლისა და ასაკთან დაკავშირებით. სინჯი ალებული იყო მცენარეზე ორ ადგილას
ნიადაგიდან 1,3 მ სიმილეზე (ფუძე) და ნიადაგიდან 13—18 მ სიმილეზე
(წვერო). ანალიზები ტარდებოდა ერთიანი საკავშირო მეთოდით, მასალის
ექსტრაგირება ხდებოდა პროქტერის წესით, რომელიც იძლევა შედეგების
2—3% -ით შემცირებას. მიღებული შედეგები მოცემულია 1-ლ ცხრილში.

როგორც აღნიშნული ცხრილიდან ჩანს, ნაძვთან შედარებით სოჭი უფრო
ნაკლებ ტანიდებს შეიცავს, ხოლო ტანიდების ვარგისიანობა ფუძესთან მას
უფრო მაღალი აქვს, ვიდრე ნაძვს. როგორც ტანიდების შემცველობით, ისე
ვარგისიანობით, სოჭის ფუძე უფრო მაღალი მაჩვენებლებით ხასიათდება, ვიდრე
მისი წვერო. სოჭის ქერქიდან მიღებული ექსტრაქტი მეტად მდიდარია ფისე-
ბით, სკიპიდარით და სხვა მღებავი ნივთიერებით [2], რის გამო, როგორც
მთრიმლავი ნედლეული, უფრო ნაკლები ხარისხისაა, ვიდრე ნაძვის ქერქიდან
მიღებული ექსტრაქტი.

ნაძვის და სოჭის ქერქის ანალიზების შედეგები %ში

ცხრილი 1

მასალის დასახულება	სინჯის აღების ადგილი	ტანიდები		არატანიდები	ვარგისიანობა
		მერყვეობა	საშუალო		
ახალდაბის სოჭი 70—193 წ.	ფუძე	7,3—9,8	8,4	6,8	53,5
	წვერო	6,1—8,3	7,3	12,3	40
ნაძვი ახალდაბის 70—100 წ.	ფუძე	10,8—11,7	11,2	13,2	45,4
	წვერო	11,3—12,0	11,6	16,0	42,0
ნაძვი ბაკურიანის 85—155 წ.	ფუძე	9,—10,4	9,7	10,9	47,5
	წვერო	9,6—12,0	10,8	14,6	42,2

როგორც მიავე ცხრილიდან ჩანს, ახალდაბის ნაძვი შეიცავს უფრო მეტ ტანიდებს, ვიდრე ბაკურიანის. ფუძესა და წვეროს ერთობერესთან შედარებიდან ირკვევა, რომ ტანიდების რაოდენობა წვეროდან აღებულ მასალაში მეტია, ვიდრე ფუძეში, ხოლო მათი ვარგისიანობა ისევე როგორც სოჭში ფუძეში მეტია. ასაკის მხრივ როგორც სოჭის, ისე ნაძვის ახალგაზრდა და ხნიერი მცენარიდან აღებული ქერქი განსხვავებას არ იძლევა. იაკიმოვისა და ანიკინის [1] გამოკვლევის თანახმად ნაძვში 100 წლის ასაკამდე მთრიმლავების რაოდენობა უცვლელია, ასი წლის შემდეგ ოდნავ მცირდება, ხოლო მცველეობის შემცირება ეტყობა 160 წლის შემდეგ. ჩვენ მიერ გამოკვლეული მცენარეები აღნიშნულ ასაკს გადაცილებული არ ყოფილა.

ჩატარებული გამოკვლევის საფუძველზე შეიძლება ითქვას, რომ ჩვენებული ნაძვი როგორც ტანიდების შემცველობით, ისე ვარგისიანობით, არ ჩამოუვარდება ევროპულ ნაძვს, ამიტომ ჩვენებული ნაძვი ისევე შეიძლება გამოყენებული იქნეს, როგორც მთრიმლავი ნედლეული. რაც შეეხება სოჭს, ის ნაძვთან შედარებით, როგორც მთრიმლავი ნედლეული, ნაკლებ ხარისხიანია, ხოლო ვინაიდან მისი ექსპლოატაცია დიდია და ქერქი ნარჩენის სახით დიდი რაოდენობით რჩება, შეიძლება საკითხი დაისვას მისი ქერქის, როგორც მთრიმლავი ნედლეულის, გამოყენების შესახებ.

საქართველოს სსრ მეცნიერებათა აკადემია

თბილისის ბოტანიკური ინსტიტუტი

მცენარეთა ანატომიისა და ფიზიოლოგიის განყოფილება

(შემოვიდა რედაქციაში 31.9.1942)

БОТАНИКА

М. Н. ЧРЕЛАШВИЛИ и Л. М. ВАСИЛЕВСКАЯ

К ИСПОЛЬЗОВАНИЮ ЕЛИ ВОСТОЧНОЙ И ПИХТЫ КАВКАЗСКОЙ
В КАЧЕСТВЕ ДУБИЛЬНОГО СЫРЬЯ

Резюме

На содержание дубильных веществ были исследованы из местных пород: *Abies nordmanniana* (Stev.) Spach. и *Picea orientalis* (L.) Link. для использования их коры, как дубильного сырья. Химические анализы проводились по единому методу (ВЕМ). В результате проведенных анализов, можно сделать заключение, что восточная ель не уступает европейской ни по содержанию танинов, ни по показателю доброкачественности. Поэтому восточная ель с успехом может быть использована как дубильное сырье. Относительно же кавказской пихты следует отметить, что несмотря на то, что она, как дубильное сырье, уступает ели, но так как она эксплуатируется в широких размерах и ее кора, в виде остатков от заготовок, остается в значительном количестве, потому все же может быть поставлен вопрос об использовании и этой породы как дубильного сырья.

Академия Наук Грузинской ССР
Тбилисский Ботанический Институт
Отдел анатомии и физиологии растений

ЦИТИРОВАННАЯ ЛИТЕРАТУРА—000608770 200605050505

1. Е. В. Вульф. Дубильные растения. Химико-технический справочник, часть IV, вып. II, 1932.
2. Г. Шлыков. Дубильные растения СССР. 1932.
3. П. Я. Якимов. Перспективы эксплоатации елового коры в СССР. Дубильные материалы СССР, вып. 2, 1932.



ЗООЛОГИЯ

С. М. ЮЗБАШЬЯН

К ИЗУЧЕНИЮ ФАУНЫ NIPHARGUS В ГРУЗИИ

Niphargus—один из наиболее известных представителей пещерной фауны, широко распространенный в средней и западной Европе и Западной Азии. Бокоплав этот, встречающийся и вне пещерных водоемов, представлен многочисленными видами, подвидами и местными формами, описанию и систематическому изучению которых посвящено огромное количество работ. Богатая и разнообразная пещерная фауна Грузии, таящая в себе много замечательных форм, оказалась не лишенной и Niphargus. Впервые он был обнаружен Бирштейном [3] в пещере около Кутаиси и описан им под названием *N. borutzkyi* n. sp. Имея, однако, в своем распоряжении материал, состоящий только из самок, Бирштейн не мог дать полного диагноза устанавливаемого им нового вида, в связи с чем систематическое положение последнего оставалось невыясненным. Весной 1941 года мне был доставлен материал из пещеры Сатапле, находящейся в одноименном хребте недалеко от Кутаиси. В этом материале были обнаружены и нифаргусы, добытые из маленьких, питаемых почвенной водой, бассейников в главном зале и левой боковой галлерее этой пещеры. Помимо этого проф. Г. В. Кокочашвили любезно предоставил мне небольшую партию этих бокоплавов, пойманных им в апреле 1933 г. в той же боковой галлерее. При ближайшем исследовании всего этого материала оказалось, что в нем помимо самок (20 экземпляров) имеются еще самцы (6 экз.), причем форма эта весьма близка к *N. borutzkyi* n. sp. Наличие самцов, а также некоторые особенности сатаплинской формы послужили основанием к более детальному изучению ее, результаты которого мы приводим ниже.

Как у самцов, так и у самок описываемой формы вся спинная сторона тела усажена мельчайшими, редко расставленными щетинками. Задний край сегментов метазомы несет со спинной стороны 14—16 щетинок, в связи с чем контур его приобретает фестончатый вид. I сегмент урозомы несет дорзолатерально с каждой стороны по 2 щетинки; II сегмент урозомы в таком же расположении по 4—5 щетинок. Ширина I боковой пластинки больше ее длины; у остальных трех боковых пластинок (II—IV) длина больше ширины. Задний край у эпимера I выпуклый, у эпимера II неровный, у III прямой. Задне-нижний угол у первых двух эпимеров ок-

руглен, у III—прямоугольный. По переднему нижнему краю эпимеры II и III несут по 4—5 шипов. В отношении формы и строения эпимеры существенно не отличают от таковых кутаисской формы.

I антenna почти равна половине длины тела. У ♂ в 16,7 мм длина I антени 8,2 мм при длине жгута в 5,5 мм и длине члеников основания I—1,21, II—1,02, III—0,49 мм. Количество члеников жгута 23—32, наибольшее 27—29. Добавочный жгутик всегда длиннее I членика главного жгута, доходя часто до середины или даже дистального конца II членика жгута. На дистальном конце II

слабо развитого членика добавочного жгутика обычно 2 короткие и 1 длинная щетинка. На дистальных концах члеников главного жгута, начиная от IV членика и кончая предпоследним, чувствительные колбочки, развитые у обоих полов. II антenna равна или слегка превышает половину длины I антени; IV и V членики ее основания почти одинаковой длины, а все основание в целом равно или чуть длиннее основания I антени. У ♂ в 16,7 мм длина II антени 4,4 мм при длине жгута в 1,5 мм, который длиннее V членика основания (1,2 мм). Число члеников жгута 9—13, наибольшее 10—11.

Жевательный бугорок на жвалах хорошо развит. III членик мандибулярного щупика чуть длиннее II и дистально увенчен 9 длинными щетинками. I максилла (рис. 1)



Рис. 1. Maxilla I.

имеет внутреннюю лопасть с 2—3 аникальными щетинками, причем нередко число последних у одной и той же особи слева и справа различно. 7 шипов на наружной лопасти I максиллы дифференцированы различно: внутренний шип с 2—4 более крупными зубчиками и несколькими мелкими зазубринами, 1 шип гладкий, 1 или 2 с 2—3-мя зубчиками, остальные с 1 боковым зубцом. Щупик с 9-ю щетинками на конце II членика, который значительно длиннее I членика. У II максиллы обе лопасти почти равной величины и усажены дистально густыми рядами щетинок с изогнутыми слегка внутрь кончиками; на внутренней стороне внутренней лопасти в верхней ее половине группа из 3—4 таких же щетинок.

Внутренняя лопасть ногочелюсти не доходит до конца I членика щупика и вооружена дистально 3—4 толстыми шипами и 6 слегка опущенными щетинками. Наружная лопасть ногочелюсти несколько переходит средину II членика щупика и несет по своему внутреннему краю 11 толстых постепенно удлиняющихся по направлению к дистальному концу чле-

ника шипов, которые на этом конце незаметно переходят в 9 более тонких и последовательно удлиняющихся, двусторонне-опущенных щетинок. Весь внутренний край II членика щупика также усажен щетинками, которые на III членике сидят лишь на его дистальном конце несколькими группами.

Гнатоподы обеих пар имеют трапециoidalной формы метакарпусы, ширина которых превосходит их длину. Метакарпус I гнатопода имеет прямой задний край с 8—9 пучками щетинок, пальмарный край его косой, выпуклый и заканчивается сильным шипом, за которым расположены еще 4 маленьких последовательно убывающих в длине шипика, имеющих форму письчего пера с пильчатыми краями. На передней стороне дактилюса 6 групп длинных щетинок, в каждой группе по 2—3 щетинки; на задней его стороне 6—8 коротеньких прямых щетинок; зубец у основания дистальной суженной части крепкий с 2-мя притупленными на концах щетинками. II гнатопод отличается от I более крупными размерами своего метакарпуса с выпуклым задним краем, несущим 12—14 пучков щетинок; пальмарный шип его развит сильнее, за ним часто только 3 маленьких шипика. В остальных отношениях метакарпусы обоих гнатопод существенно не отличаются друг от друга.

Переоподы III и IV у кутаисской формы, по описанию

Бирштейна, отличаются от переоподов V—VII тем, что у последних с внутренней стороны дактилюса у основания его когтя имеется добавочный шип, который у первых отсутствует полностью. У ♂ сатаплинской формы на дактилюсах V—VII переоподов имеется хорошо развитый шип и щетинка, у самок наблюдается то же самое; что касается III и IV переоподов, то и они не лишены шипа и щетинки, но первый у ♂ развит значительно слабее (рис. 2), а у ♀ он редуцирован еще сильнее, имея вид изогнутой щетинки. Уропод I ♂ имеет основание, превышающее по длине почти вдвое длину своих ветвей, с 8-ю косо расположеннымми на наружной поверхности шипами и 5-ю щетинками и 1 шипом на переднем крае; наружная ветвь чуть короче внутренней; обе ветви несут по переднему своему краю по 1—2 сильных шипа и аникально по 5 шипов. У ♀ I уропод имеет такое же строение, отличаясь лишь более слабым вооружением своего основания. Основание II уропода по длине лишь слегка превышает длину своих вет-

Рис. 3. Uropod вей, которые равны. Уропод III ♂ (рис. 3) по длине равен

III ♂ или слегка превышает $\frac{1}{2}$ длины тела. Основание его по длине равно $\frac{1}{4}$ длины I членика и несет спереди 4 щетинки,



Рис. 2. Peraeopod

III ♂.



Рис. 3. Uropod вей, которые равны. Уропод III ♂ (рис. 3) по длине равен

III ♂ или слегка превышает $\frac{1}{2}$ длины тела. Основание его по длине равно $\frac{1}{4}$ длины I членика и несет спереди 4 щетинки,

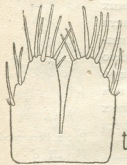
сзади 2 шипа, дистально 3 и 6 длинных крепких шипов. Внутренняя ветвь имеет длину равную $\frac{1}{10}$ длины I членика и вооружена дистально 2 длинными шипами и 1 тонкой щетинкой у своего основания. I членик чуть длиннее II и несет по своему переднему и заднему краям по 4 группы шипов в каждой группе по 3—4 шипа, а в передних группах еще по 1 длинной характерной двусторонне-оперенной щетинке. На II членике спереди 3, сзади 4 группы шипов. У ♀ III уropод в отношении своего основания и I членика существенно не отличается от описанного, кроме длины II членика, который в 2,5—3 раза короче I.

Тельсон (рис. 4) разделен узкой щелью на $\frac{3}{4}$ своей длины; ширина его не меньше длины, концы лопастей несут по 5—7 шипов, наиболее

крупные из которых могут доходить по своей длине до $\frac{2}{3}$ длины лопастей. Последние имеют по 2—3 боковых шипа и нередко еще по 1 шипу изнутри, на своей медиальной стороне. Тонкие, легко изгибающиеся щетинки, расходящиеся на конце на кисточку из тонких волосков, сидят по 1 на концах лопастей и по 2 у основания самого нижнего бокового шипа. Спинная сторона тельсона совершенно лишена пришатков.

Сравнивая описанную выше форму с кутаиской *N. borutzkyi*, мы должны в качестве основного отличия между ними отметить отсутствие у последней на дактилиусах III—IV переопод добавочного шипа, который у ♀ сатаплинской формы имеется, хотя и в значительно более слабо развитом виде, чем у ♂. Очевидно, у кутаиской формы имело место дальнейшая редукция этого образования вплоть до его полного исчезновения, что, по описанию Бирштейна [4], свойственно также и *N. ablaskiri inermis* из пещеры близ Цебельды. Наряду с этим можно указать еще на ряд других признаков, выраженных у кутаиской формы слабее, чем у сатаплинской. Сюда относятся: вооружение тельсона, которое у сатаплинской формы значительно сильнее, имея большее количество шипов и притом более длинных; добавочный жгутик 1 антени, который, по Бирштейну, не доходит до конца I чл. главного жгута, у сатаплинской формы всегда длиннее этого членика; наличие у последней формы на внутренней лопасти I максиллы в ряде случаев 3 щетинок вместо 2-х у кутаиской; более слабое в общем вооружение урозомы у этой же формы и т. п.

Рис. 4. Telson ♂.



Следует, однако, иметь в виду, что имеющиеся данные о кутаиской форме далеко недостаточны для того, чтобы считать окончательно установленными отмеченные различия между обеими популяциями. Не исключается возможность, что при более детальном изучении кутаиской формы она окажется вполне идентичной с сатаплинской. Судя по наблюдениям

над несколькими, к сожалению, плохо сохранившимися экземплярами этого бокоплава, случайно обнаруженными среди креветок из кутаисской пещеры, предположение это представляется весьма вероятным.

Систематическое положение *N. borutzkyi* до сих пор не могло быть точно определено, поскольку самцы этого вида оставались неизвестными. Бирштейн [3] отмечает близость его к *N. foreli* Humbert и в особенности к *N. aquilex* Schellenbergi (Karaman). По системе Schellenberg'a [9] наша форма, имеющая недифференцированные I и дифференцированные III уроподы у самца, длина тела которого превышает 12 мм, должна быть отнесена к группе *stygius*, которая, по Schellenbergу, является прямым продолжением группы *foreli* [10]. От *N. stygius* Schiödte [8] сатаплинская форма, помимо слабого развития шипа на дактилюсе III и IV переопод, отличается, главным образом, менее склоненным пальмарным краем метакорпусов обоих гнатопод и более слабым вооружением тельсона. В остальных отношениях она обнаруживает значительное сходство с типичной формой *N. stygius* и его подвидом *N. stygius costozzae* [10]. С последним сатаплинская форма больше сходится по вооружению сегментов метазомы и I и II сегментов урозомы, но отличается от него отсутствием шипов на спинной стороне тельсона, что является характерным и для *N. stygius stygius*, с которым наша форма имеет целый ряд других общих признаков, в особенности в строении ротовых частей (большая жевательная поверхность жвал, число щетинок на щупике и внутренней лопасти I максиллы и шипов на той же лопасти ногочелюсти). Обе формы сближаются также по строению своих боковых пластинок, эпимер, тельсона и, повидимому, антенн. Отметим, наконец, свойственное сатаплинской форме и обоим подвидам *N. stygius* большое количество щетинок на передней поверхности дактилюса гнатопод, расположенных группами по 2—3 щетинки в каждой.

Приведенные данные позволяют, как мне кажется, считать установленным принадлежность *N. borutzkyi* к группе *stygius*, чем одновременно устанавливается наличие в Грузии третьей группы рода *Niphargus* наряду с известными уже группами *rufeanus* и *foreli*, из которых первая представлена *N. longicaudatus magnus* Birst. и *N. rufeanus iniochilus* Birst. [4] из пещер Абхазии, а вторая *N. abchasicus* Martynow [7] с абхазского побережья и *N. glontii* Behn. [1] из окрестностей Бакуриани. Таким образом, фауна бокопланов-нифаргусов Грузии, несмотря пока на незначительное количество обнаруженных здесь видов¹, представляется довольно разнообразной. Что касается других закавказских республик, то пока нам известны только две

¹ Бирштейн [4] упоминает еще об одном грузинском виде *N. gurjanovae* Birst., описание которого, повидимому, дано в другой его работе, оставшейся мне неизвестной. Этим же автором описана еще одна абхазская форма *N. ablaskiri* n. sp. с подвидом *inermis*, но пока только по самкам, ввиду чего систематическое положение их не может быть определено [4].

формы—одна азербайджанская, описанная Державиным [5] под названием *N. galena* из группы *foreli* и другая из Армении и Нахкрайя—*N. abrikossovi* Birst. из группы *routeanus*, описанная Бирштейном [2] и Державиным [6]. Едва ли можно сомневаться в том, что дальнейшие исследования дадут нам значительное количество новых и при том разнообразных представителей рода *Niphargus*, представляющего большой интерес как в фаунистическом отношении, так и с точки зрения формо- и видообразования в пределах этого обширного рода, характеризующегося также большим разнообразием в экологическом отношении.

Академия Наук Грузинской ССР
 Зоологический Институт
 Тбилиси

(Поступило в редакцию 28.10.1942)

Чтотакондиди

ს. იუზბაშიანი

ათაფლიას მღვიმის *NIPHARGUS*-ის შესახებ

რეზუმე

სათაფლიას მღვიმის *Niphargus*-ი ეკუთხინის სახეობას *N. borutzkyi*, რომელიც აღწერილია ბირშტეინის მიერ ნიფარგუსების იმ პოპულაციების შესწავლის საფუძველზე, რომლებიც შეგროველი იყო ქუთაისის მიდამოშივე მდინარე წყალ-წითელს ნაპირზე მდებარე მღვიმეში [3]. მაგრამ ამ სახეობის დიაგნოზი არ შეიძლება ჩაითვალოს სრულად, რამდენადაც ის მხოლოდ დედლების გამოკვლევაზე დამყარებული. ამ სახეობის ერთ-ერთი უმთავრესი დამახასიათებელი თავისებურება, ბირშტეინის აზრით, გამოიხატება იმაში, რომ III-IV პერიოდის დაკტილუსზე არ არის დამატებითი ეკალი, რომელიც კარგად არის განვითარებული დანარჩენ პერიოდოდებზე. სათაფლიას ფორმის მიმღლის ყველა პერიოდის დაკტილუსები შეიარაღებულია 1 ჯაგრით და 1 ეჭლით, მაგრამ ეს უკანასკნელი უფრო სუსტადაა განვითარებული III და IV პერიოდზე.

სათაფლიას ფორმას ახასიათებს კიდევ სხვა ნიშან-თვისებები, რომლებიც ქუთაისის ფორმასთან შედარებით უფრო კარგადაა განვითარებული:

ტელსონზე კლების რაოდენობა უფრო დიდია, მეტასომის სეგმენტების უკანა კიდეზე 14—16 ჯაგარია, უროსომის I სეგმენტზე ორ-ორი ჯაგარია; II სეგმენტის თითოეულ მხარეზე კი 4—5 ეკალია; I მაქსილის შიგნითა ნაკვთს ხშირად 3 ჯაგარი აქვს, ყბაფების შიგნითა ნაკვთს კი—3—4 მსხვილი ეკალი; ორივე გნატოპოდის დაკტილუსების წინა მხარეზე განლაგებულია 2—3 ჯაგრისაგან შემდგარი 5—6 ჯგუფი.

რაც შეეხება *N. borutzkyi*-ს სისტემატიკურ აღვილს, მამლის პონა შესაძლებლობას გვაძლევს მივაკუთნოთ ეს სახეობა Schellenberg-ის სისტემის ჯგუფს—*Stygius*, რამდენადაც მამალს აქვს დიფერენცირებული III უროპოდი და ორი დიფერენცირებული I უროპოდი, სხეულის სიგრძე კი 12 მმ აღემატება. *N. borutzkyi*—*Niphargus*-ის გვარის მესამე ჯგუფის წარმომადგენელია საქართველოში, სადაც უკვე ნაპოვნია ამ გვარის 7 ფორმა, რომელთა შორის თბილი ეკუთვნის *puteanus*-ის და *foreli*-ის ჯგუფებს.

საქართველოს სსრ მეცნიერებათა აკადემია

ზოოლოგიის ინსტიტუტი

თბილისი

ZOOLOGY

ON THE FAUNA OF NIPHARGUS IN GEORGIA

By S. IUSBASHIAN

Summary

In the present note is described a *Niphargus*-form inhabiting the cave Sataple near Kutaisi. This form belongs to the species *N. borutzkyi* established as such by Birstein [3] who investigated a *Niphargus*-population from the cave on the Zchal-Ziteli shore (also near Kutaisi). But the diagnosis of this species is not complete being but based on the study of females. Birstein considers the absence of an additional thorn on the dactylus of III and IV pereopods, well developed on the other pereopods, as a principal peculiarity of this species. In the Sataple-form the dactyli of all pereopods of the male are armed with a bristle and a thorn, while on pereopods III and IV (Fig. 2) the thorn seems to be a little bit weaker developed than on the posterior ones. At the female this thorn is still more reduced, resembling a bristle on the mentioned anterior pereopods. There are some more characters, which seem to be stronger developed in Sataple-form than in that of Kutaisi. The telson of the first form has a greater number of thorns (Fig. 4), the posterior margin of its metasomasegments being armed with 14—16 bristles, the I urosomsegment dorsolaterally carrying 2 bristles on each side, the II urosomsegment 4—5 thorns, the inner lobe of I maxilla having often 3 bristles (Fig. 1), and the dactylus of both gnathopods carrying on its anterior side 5—6 double and triple groups of bristles.

As regards the systematic position of *N. borutzkyi*, the discovery of the male permits us to refer this species to the *stygius*-group of the genus *Niphargus* according to the system of Schellenberg; in fact, the male has differentiated III uropods (Fig. 3), non differentiated I uropods, and the length of its body

exceeds 12 mm. *N. borutzkyi* Birst. represents the third group of the genus *Niphargus* in Georgia, where representatives of the groups *puteanus* and *foreli* have been already found.

Academy of Sciences of the Georgian SSR

Zoological Institute

Tbilissi

ЦИТИРОВАННАЯ ЛИТЕРАТУРА—СОДОЛЖЕНИЕ СОДЕРЖАНИЕ—REFERENCES

1. А. Л. Бенинг. О некоторых ракообразных окрестностей Бакуриани. Труды биол. ст. НКП Груз. ССР, т. I, 1940.
2. Я. А. Бирштейн. Malacostraca Армении. Тр. Сев. озерн. станции, IV, 1933.
3. J. A. Birstein. Malacostraca der Kutais-Höhlen am Rion. Zool. Anz. Bd. 104. N. 5/6. 1933.
4. Я. А. Бирштейн. К фауне пещерных Amphipoda Абхазии. Бюлл. Моск. Об-ва Исп. Прир., т. XLIX (34), 1940.
5. А. Н. Державин. Бокоплавы Нахичеванской АССР. Тр. Зоол. Инст. Азерб. Фил. АН СССР, т. VIII, 1938.
6. А. Н. Державин. Пресноводные перацариды Талыша. Тр. Зоол. Инст. Азерб. Фил. АН СССР, т. X, 1939.
7. А. В. Мартынов. К познанию пресноводной фауны черноморского побережья Кавказа. Тр. ЗИН, т. I, 1932.
8. A. Schellenberg. Niphargus Probleme. Mittl. Zool. Mus. Berlin. Bd. 19, 1933.
9. A. Schellenberg. Schlüssel d. Amphipoden-Gattung Niphargus. Zool. Anz. Bd. 111, H. 7/8. 1935.
10. A. Schellenberg. Bemerkungen zu meinem Niphargus-Schlüssel. Mittl. Zool. Mus. Berlin. Bd. 22. 1936.

ზოოლოგია

ზ. ექითიშვილი

SCIURUS ANOMALUS GMEL. სისტემატიკური აღგილის საკითხისათვის

ამიერ-კავკასიის ციყვი აღწერილი იყო პირველად 1778 წელს Gmelini-ს მიერ, რომელმაც ის *Sciurus*-ის გვარს მიაკუთვნა და *Sciurus anomalous* უწოდა.

Gmelin-ის შემდეგ მოელი რიგი მკვლევარები (მათ შორის უფრო ფართოდ განიხილა *Sc. anomalous* სატუნინმა, 1928 წ., [5]) თავიანთ ნაშრომებში შეეხენ ამიერ-კავკასიის ციყვს, მაგრამ, მიუხედავად ამისა, აღნიშნული ციყვის სახელწოდება, დიაგნოზი და, უკანასკნელის საფუძველზე, სისტემატიკური აღგილი 1935 წლამდე უცვლელი ჩერდოდა: მხოლოდ 1935 წელს ოგნევმა გააქრთიანა საერთო ნიშნების მიხედვით ამიერ-კავკასიის, სპარსეთისა და სირიის ციყვი ახალ ქვეგვარში, რომელსაც უწოდა *Oreosciurus*; ამ უკანასკნელს ოგნევი 1940 წელს *Tenes* სახელწოდებით სცელის ავტორი თავის კაპიტალურ ნაშრომში ([4], გვ. 426) იღნიშნავს *Oreosciurus*-ს *Tenes* სახელწოდებით შეცვლის მიზეს და ამბობს შემდეგს: Случайно я упустил из вида в работе О. Томаса об африканских белках подстрочное примечание на стр. 468: «*S. persicus* with only $\frac{1}{4}$ cheek-teeth, but similar to true *Sciurus* in all other characters, should form a special subgenus, which might be called *Tenes*».

მიუხედავად ამისა, რომ ტომასი ზერელედ შეეხო ციყვების ამ ჯგუფს, პრიორიტეტი მაინც მას დარჩა, რის გამო ოგნევმა *Oreosciurus*-ი—*Tenes*-ის სახელწოდებით დატოვა.

Tenes ქვეგვარის გარდა, ოგნევმა (1940 წ.) გამოყო *Sciurus*-ის ქვეგვარი. ამ ორი ქვეგვარის ძირითადი დამახასიათებელი ნიშნები შემდეგია: *Tenes* ქვეგვარში შემავალ ფორმებს ბეჭვის შეფერვა წლის განმავლობაში არ ეცვლებათ, მუცელი მომურო-უანგის ფერია სხედადასხება ელფერით ან მოყვითალოა; უკანა კიდურის ტერფზე 6 კორძი აქვთ, ძუძუები 5 წყვილი (p 1—1; a 2—2; i 2—2; სულ 10); ზედაუბაზე ერთი წყვილი ცრუ საძირე (p²) კბილი.

Sciurus ქვეგვარში შემავალ ფორმებს კი ბეჭვის შეფერვა წლის განმავლობაში ეცვლებათ, გარდა მუცელის შეფერვისა, რომელიც მოელი წლის განმავლობაში თეთრია; უკანა კიდურის ტერფზე 4 კორძი აქვთ, ძუძუები 4 წყვილი (p 1—1; a 2—2; i 1—1; სულ 8). ზედა ყბაზე ორი წყვილი ცრუ საძირე (p¹ p²) კბილი აქვთ.

ზემოაღნიშნული ნიშნებით ოგნევი (1940 წ.) *Sciurus*-ის ქვეგვარს მიაკუთვნა ჩრდილოეთის ფორმები, მხოლოდ *Tenes*-ის ქვეგვარში გააქრთიანა სპარსეთის ციყვის სახელწოდებით სამხრეთის შემდეგი ფორმები:

Sciurus (Tenes) persicus persicus Erxl. (გილანის პროვინცია), *Sciurus (Tenes) persicus anomalus* Gmel. (ამიერ-კავკასიისათვის), *Sciurus (Tenes) persicus Syriacus* Ehrenb. (სირია, პალესტინა) და *Sciurus (Tenes) persicus fulvus* Blanf. (შირაზის მიდამოები, სამხრეთ ირანი).

1940—1942 წლებში შესაძლებლობა მომეცა გადამეოვალიერნა ამიტკავებისის სხვადასხვა ადგილას და წლის სხვადასხვა ღროს შეგროვილი *Sciurus anomalus*-ის 49 ეგზემპლარი (30 ♀—18 ♂): საქართველოდან—12 ეგზ.; სომხეთიდან—6 ეგზ. და აღერბაიჯანიდან—31 ეგზემპლარი. ყველა ამ ეგზემპლართა ზომები და ცნობები მათი ზოგიერთი ძირითადი ნიშნების შესახებ მოყვანილია 1-ლ ცხრილში.

კვრილი 1 (1)

დაპირის თარიღი	დაპირის ადგილი	♂ ♀	განაზომები					განაზომები											
			L	C	P	A	1	2	3	4	5	6	7	8	9	10	11	12	13
24.1.1918 . . .	სოფ. დილიქანი. . .	♂	242	158	56	30,5	—	—	—	—	—	—	—	5	—	—	—	—	—
24.1.1918 . . .	" " . . .	♂	211	155	57	—	—	—	—	—	—	—	—	5	—	—	—	—	—
20.1.1939 . . .	სოფ. დუარი . . .	♀	228	141	54	31	—	—	—	—	—	—	—	8	5	—	—	—	—
24.1.1939 . . .	" " . . .	♀	—	—	—	—	—	—	—	—	—	—	—	8	5	1	+	—	—
24.1.1939 . . .	" " . . .	♂	211	137	51	30	—	—	—	—	—	—	—	5	—	+	—	—	—
29.1.1939 . . .	ზაქათალა . . .	♂	222	145	51	31	—	—	—	—	—	—	—	5	1	+	—	—	—
29.1.1939 . . .	სოფ. დუარი . . .	♂	214	129	52	30	—	—	—	—	—	—	—	5	—	+	—	—	—
29.1.1939 . . .	" = . . .	♂	218	139	51	31	—	—	—	—	—	—	—	5	1	+	—	—	—
31.1.1939 . . .	" " . . .	♀	212	141	52	29	—	—	—	—	—	—	—	8	5	1	+	—	—
31.1.1939 . . .	" " . . .	♂	225	115	53	30	—	—	—	—	—	—	—	5	1	+	—	—	—
31.1.1939 . . .	" " . . .	♂	213	134	53	29	—	—	—	—	—	—	—	5	1	+	—	—	—
6.2.1917 . . .	სოფ. ქაჩი . . .	♂	255	157	60	31	—	—	—	—	—	—	—	5	—	+	—	—	—
10.3.1918 . . .	სოფ. დილიქანი. . .	♀	237	158	53,5	29	—	—	—	—	—	—	—	8	5	—	—	—	—
28.3.1918 . . .	სოფ. დუარი . . .	♀	244	156	57	29	—	—	—	—	—	—	—	8	5	1	—	—	—
8.7.1918 . . .	სოფ. დილიქანი. . .	♀	240	162	57	30	—	—	—	—	—	—	—	8	5	—	—	—	—
8.7.1918 . . .	" " . . .	♀	227	115	58	30	—	—	—	—	—	—	—	8	5	—	—	—	—
—8.1904. . .	კუტეაშვილი . . .	♀	—	—	—	—	—	—	—	—	—	—	—	8	5	—	—	—	—
12.9.1938 . . .	ზაქათალა . . .	♂	244	171	55	31	—	—	—	—	—	—	—	5	1	—	—	—	—

၅ ცენტრილუ მასალა რეიცენვების და თვეების მიხედვითაა დასაგიბროვო.



Sciurus anomalus Gmel. სისტემატიკური ადგილის საკითხისათვის

დაცერის თარიღი	დაცერის აღგილი	♂ ♀	განაზომება					მუნიციპალიტეტის რაიონებისა და მუნიციპალიტეტის კულტურული, ტექნიკური კარისტ. რაიონ. უცანა და კულტურული ცენტრის მიზნის ცენტრული სამ. ქმ. რაიონ. (წყვ.)				
			L	C	P	A	8	9	10	11	12	13
1	2	3	4	5	6	7						
17.8.1938 . . .	სოფ. დეარი . . .	♂	244	171	55	31	—	5	1	—	—	—
18.8.1938 . . .	ზაქათალა . . .	♀	225	170	75	25	8	5	1	—	—	—
19.8.1938 . . .	" . . .	♀	223	163	53	23	8	5	1	—	—	—
21.8.1938 . . .	" . . .	♀	233	152	52	32	8	5	1	—	—	—
25.8.1938 . . .	სოფ. დეარი . . .	♀	215	142	52	25	8	5	1	—	—	—
26.8.1938 . . .	ზაქათალა . . .	♀	212	141	52	29	8	5	—	—	—	—
26.8.1938 . . .	სოფ. დეარი . . .	♀	223	154	54	29	8	5	1	—	—	—
26.8.1938 . . .	" . . .	♂	217	132	52	28	—	5	1	—	—	—
26.8.1938 . . .	ზაქათალა . . .	♂	229	144	54	35	—	5	1	—	—	—
26.8.1938 . . .	" . . .	♂	227	149	55	21	—	5	1	—	—	—
28.8.1938 . . .	" . . .	♀	205	145	49	24	8	5	1	—	—	—
28.8.1938 . . .	" . . .	♀	235	155	58	31	8	5	1	—	—	—
30.8.1938 . . .	" . . .	♂	239	185	50	25	—	5	1	—	—	—
30.8.1938 . . .	სოფ. დეარი . . .	♀	221	185	55	23	8	5	1	—	—	—
6.9.1938 . . .	სოფ. დილივენი . . .	♀	238	160	55	28	8	5	1	—	—	—
11.9.1938 . . .	ზაქათალა . . .	♀	—	—	—	—	8	5	—	—	—	—
11.9.1938 . . .	" . . .	♀	233	123	53	28	8	5	1	—	—	—
13.9.1938 . . .	" . . .	♀	230	138	51	21,5	8	5	1	—	—	—
19.9.1938 . . .	" . . .	♀	233	138	53	30,5	8	5	1	—	—	—
7.9.1940 . . .	ბაკურიანის მიდამ.	♀	216	156	58	27	8	5	—	—	—	—
12.9.1940 . . .	" . . .	♀	222	141	54	28	8	5	—	—	—	—
12.9.1940 . . .	" . . .	♂	225	142	55	26	8	5	—	—	—	—
12.9.1940 . . .	" . . .	♀	224	147	55	29	8	5	—	—	—	—
18.9.1940 . . .	" . . .	♂	234	123	53	29	8	5	—	—	—	—
17.10.1940 . . .	" . . .	♀	197	152	55	28	8	5	—	—	—	—
28.11.1938 . . .	ლაგოდები . . .	♀	212	154	58	36	—	5	—	—	—	—
3.12.1938 . . .	" . . .	♀	225	165	58	30	8	5	—	—	—	—
3.9.1938 . . .	" . . .	♀	215	164	57	30	8	5	—	—	—	—
4.12.1939 . . .	" . . .	♂	240	165	56	28	—	5	—	—	—	—
5.12.1939 . . .	" . . .	♂	221	171	58	30	—	5	—	—	—	—
5.12.1939 . . .	" . . .	♀	241	170	59	30	8	5	—	—	—	—

ზემომყვანილი მასალის შესწავლის ასაღმოჩნდა, რომ *Sciurus anomalus*-ის ბეწვის შეფერვა იკვლება წლის გამოცვლიბაში, რაც გამოიხატება იმაში, რომ

ტანის ზედა ნაშილი ზამთრის პერიოდში მუქი მოშავო ფერისაა (მოშავო ფერი კარგადა გამოხატული XII, I, II თვეებში), ზაფხულში კი მუქი მონაცრისფრო-წაბლის ფერისა, მხოლოდ IX, X და III თვეებში ზურგის ფერი გარდამავალია და მოწაბლო-მონაცრისფრო (წაბლის ფერი სკარბობს).

მუცლის მხარეს ზაფხულის პერიოდში ჩალის ფერი აქვს, ზამთარში კი უფრო მტკი და მოვანგო ფერი გადამცრავს. ძუძუები 4 წყვილი აქვს (p 1—1; a 2—2; i 1—1; სულ 8), უკანა კიდურის ტერფზე 5 კორძი აქვს; აქედან ქულის მხარეს მოთავსებული კორძი საჭაოდ წაგრძელებულია. ზედა ყბაზედ ცრუსაძირე გაილი (p²) ერთი წყვილი აქვს.

მე-2 ცხრილი შოგვავს ურთიერთ შედარებისათვის Tenes და Sciurus ქვე-
გვარების დამახასიათებელი ნიშნები და ჩვენი მასალის მიხედვით Sciurus amo-
nalus ძირითადი ნიშნები.

ଓଡ଼ିଆ ୨

Sciurus-s-is ქვეფარის ძირი- თადი ნიშნები	Tenes-s-is ქვეფარის ძირი- თადი ნიშნები	<i>Sciurus anomalus</i> ძირითადი ნიშნები (ჩვენი მასალის მი- ხედვით)
ბეჭვის შეფერება წლის განმაფ- ლობაში ეცელება	ბეჭვის შეფერება წლის განმაფ- ლობაში არ ეცელება	ბეჭვის შეფერება წლის განმაფ- ლობაში ეცელება
წლის ყოველ პერიოდში მუ- ცელი თეთრი ფერისაა	მუცელი მომზრო-ქანდრისფე- რია სხვადასხვა ელფერით ან მოყვითალოა	მუცელის მხარე ზაფხულში ჩა- ლის ფერისა, ზამთარში მუკ- და მოვანგრო ფერი გადა- ჰკრავს.
უკანა კიდურის ტერფზე 4 კორძია	უკანა კიდურის ტერფზე 6 კორძია	უკანა კიდურის ტერფზე 5 კორძია
ძუღუბი 8 ცალი	ძუღუბი 10 ცალი	ძუღუბი 8 ცალი
ზედაყბის ცრუ საძირე კბილი 2 (p ¹ p ²) წყვილია	ზედაყბის ცრუ საძირე კბილი 1 (p ²) წყვილია	ზედაყბაზე ცრუ საძირე კბი- ლი 1 (p ²) წყვილი

როგორც ზემომყვანილი მასალებიდან ჩანს, *Sciurus anomalus* ახლოს დგას ორი ნიშნით *Sciurus*-ის ქვეგვართან, მხოლოდ ერთი ნიშნით—*Tenes*-ის ქვე-გვართან და პირველისაგან განსხვავდება სამი ნიშნით, მეორისაგან კი—ოთი ნიშნით. ეს განსხვავება გვაძლევს საფუძველს ვთქვათ, რომ ამიერ-კავკასიის ციცვი არ შეიძლება მიეკუთვნოს არც *Sciurus* და არც *Tenes* ქვეგვარს, მით უმეტეს არ შეიძლება მისი გამოყოფა *Sciurus (Tenes) persicus* ქვესახედ.

ამიტოვ-კავკასიის ციუგის სისტემატიკური აღგილის შესახებ საკითხთან დაკავშირებით საყურადღებოა აგრეთვე მისი გეოგრაფიული გარეულება.

Sciurus anomalus-ს ფართოდაა გავრცელებული ამიერ-კავკასიაში (ცაყვი გვხვდება დიდი კავკასიონის აღმოსავლეთ ნაწილის სამხრეთ კალთებზე, მთელ

მცირე კავკასიონზე, სამხრეთ-დასავლეთ და დასავლეთ ამიერ-კავკასიაში), სადაც მას უკავია გავრცელების გარეკვეული არეალი და ყველგან იმყოფება თითქმის ერთსა და იმავე ეკოლოგიურ პირობებში (*sc. anomalus* გვხვდება შერეულ ტყეში, მხოლოდ ძირითადად ის ბინადრობს ტყის იმ ზონაში, სადაც მეტია წიფელი, ბოყვი, პარტა, სოჭი და ქვეტყე-თხილი)¹.

მეორე მხრით, აღსანიშნავია, რომ ამიერ-კავკასიის ციცვი არ არის შექრილი *Sc. (Tenes) persicus* გვარცელების არიალში ისე, როგორც ეს უკანასკნელი სახე არ გვხვდება ამიერ-კავკასიაში.

რომ საბოლოოდ გადავწყვიტოთ საკითხი *Sciurus anomalus* სისტემატიკური ადგილის შესახებ, საჭიროა გადავათვალიეროთ *Tenes* ქვეგვარში შემავალი ფორმები და ის ლიტერატურა, რომელიც დროებით ჩვენ ხელთ არა გვაქვს.

საჭართველოს სსრ მეცნიერებათა აკადემია

ზოოლოგიის ინსტიტუტი
თბილისი

(შემოვიდა რედაქციაში 26.10.1942)

ЗООЛОГИЯ

З. С. ЭКВТИМИШВИЛИ

К ВОПРОСУ О СИСТЕМАТИЧЕСКОМ ПОЛОЖЕНИИ *SCIURUS ANOMALUS* GMEL.

Ревюме

Автор на основании изучения 49 экземпляров Закавказской белки из Грузии, Азербайджана и Армении пришел к следующим выводам:

1. Закавказская белка, упоминаемая Огневым [4] под названием *Sciurus (Tenes) persicus anomalus* Gmel. и отнесененная им, таким образом, к подроду *Tenes*, отличается от этого подрода рядом таких признаков: изменяемость окраски в течение года, 5 мозолей на ступне задней конечности (вместо характерных для *Tenes* 6 мозолей), 4 пары сосков (р 1—1; а 2—2; і 1—1), вместо 5 пар у форм *Tenes*.

2. Закавказская белка отличается по ряду признаков и от подрода *Sciurus*, для которого характерны: изменчивость окраски шерсти в течение года, белая окраска брюха, 4 мозоли на ступне задних конечностей, 4 пары ложных коренных зубов (р¹ р²) на верхних челюстях, вместо 1 пары таковых у Закавказской белки.

3. Вследствие приведенных различий, Закавказская белка не может быть причислена ни к одному из упомянутых подродов (*Tenes* и *Sciurus*),

¹ დაკვირვება ამის შესახებ მოვახდინეთ ბორჯომის რაიონში 1940—41 წელს.

69. „მოამბე“, ტ. III, № 10.

а тем более не может быть рассматриваема как подвид вида *Sciurus (Tenes) persicus* Etzl.

4. Данные о географическом распространении Закавказской белки показывают, что ареал ее распространения имеет определенные границы (Закавказье) и не вклинивается в ареал *Sciurus (Tenes) persicus*, подобно тому, как этот последний вид не встречается в Закавказье.

5. Для окончательного разрешения вопроса о систематическом положении *Sciurus anomalus* Gmel. необходимо детальное ознакомление с образами форм, входящих в подрод *Tenes*, а также с некоторыми литературными данными, которыми автор в данное время не располагает.

Академия Наук Грузинской ССР

Зоологический Институт

Тбилиси

СОДЕРЖАНИЕ ЦИТИРОВАННОЙ ЛИТЕРАТУРЫ

1. Б. С. Виноградов. Млекопитающие СССР. Грызуны. Изд. АН СССР, 1933, стр. 16.
2. ე ქ ვ თ ი მ ი ბ ი ლ ი. ბ ე რ კ უ მ ბ ა კ ი ს ხ ა მ ი ს ბ ი ს მ ღ რ ე ბ ე ლ ე ბ ი ს (ბ ე რ კ უ მ ბ ა წ ე რ ი ს). 1941.
3. С. П. Наумов и Н. П. Лавров. Основы биологии промысловых зверей СССР. Изд. "Международная Книга", 1941, стр. 9 и 212.
4. С. Н. Огнев. Звери СССР и прилежащих стран, т. IV. Изд. АН СССР, 1940, стр. 421—433.
5. К. А. Сатунин. Млекопитающие Кавказского края, т. II, 1920, стр. 49—64.
6. М. В. Шидловский. Определитель грызунов Грузии и сопредельных стран. Изд. АН Грузинской ССР, 1941, стр. 24.



ИСТОРИЯ ЛИТЕРАТУРЫ

Л. М. МЕЛИКСЕТ-БЕКОВ

АРХЕТИП ПОЭМЫ «ХОСРОВ И ШИРИН» В АРМЯНСКОЙ РЕДАКЦИИ VII ВЕКА

Произведения древнеармянских историков V—VII вв., с одной стороны—«История Армении» Fausta Византийского и «Опрровержение прехристианских религий»¹ Езника Колбского или Кульпского, а с другой—«История Армении» Моисея Хоренского и таковая же Себеоса, являются ценнейшими документами, в которых в той или иной мере запечатлены отдельные страницы литературного творчества древних армян времен раннего феодализма, т. е. эпохи патриархально-военной монархии (согласно нашей номенклатуре), укладывающейся в рамки господства в Армении династий Арташесидов-Тигранидов-Аршакидов.

Армянская литература указанной эпохи, т. е. начальной стадии, поддается частичной реставрации путем использования определенных методологических приемов, как-то: анализа эпических сюжетов в записи армянских историков и их сравнения с аналогичными сюжетами древних письменных и бесписьменных соседящих народов и племен, с привлечением при этом данных памятников материальной культуры, равно как и памятников речевой культуры; при этом отдельные страницы древнеармянской эпической литературы, конечно, не лишены значения и с точки зрения интересов мировой литературы. Сказанное в равной степени относимо как к сказам, примыкающим к циклу т. н. «странствующих» сюжетов, так и к тем, которые возникли на основе единого мифотворческого, resp. словотворческого, процесса, постигаемого не иначе, как путем применения палеонтологического метода.

Бытование в армянском фольклоре т. н. иранских эпических сюжетов засвидетельствовано такими колossами древнеармянской учености, как Моисей Хоренский—на рубеже VI и VII вв. (согласно нашей хронологии) и Григорий Магистр Паհлавуни—в XI в., из коих первый сохра-

¹ Именно «Опрровержение прехристианских религий», согласно нашему определению, а не «Опрровержение ересей», как некогда установлено было венецианскими мхитаристами и по традиции повторяется и поныне, или «Книга противоречий», как предлагаєт назвать В. К. Чалоян.



нил нам сведения о Бюраспе-Аждахаке (в привеске к кн. I «История Армении»), а второй об Ашдахаке, resp. Аждахаке (в LXXV письме), равно как о Ваҳраме, resp. Бараме Паһлавуни (в XI письме). С другой стороны, древнеармянская письменность не сохранила нам переводов произведений иранской (и грузинской) рыцарской литературы, между тем как на армянском языке сохранились фольклорные версии эпических сюжетов, предлежащие в записях, начиная лишь с 70-х годов прошлого столетия, как-то: повестей о Ростоме и Зале (Шаһнамә), Юсеф и Зулейха, Лейли и Меджлуме, и Мамо и Зинэ [1]. Эти же и подобные им фольклорные версии, очевидно, разумеют армянские поэты-лирики, начиная с XIV века, когда упоминают Шаһнамә (Константин Ерзынкайский, XIV в.) или Ростом-Зала (Саят-Нова, XVIII в.), Фаһрада и Ширина (Иоанн Тлкуранский, XV—XVI вв., Саят-Нова), Лейли и Меджлум (Нагаш-Ионатан, XVII—XVIII вв., Саят-Нова), Скандар-Зулгара, т. е. Александра Македонского (Саят-Нова), Ашик-Кариба (Саят-Нова) и др.

При таком положении вещей выявление архетипа поэмы «Хосров и Ширина» — украшения восточных (ирано-азербайджанской и грузинской) литератур, несомненно, даст возможность заострить внимание на таких стоянках эпохи с Низами Гянджеви и его творчестве, которые доселе были вне поля зрения соответствующих специалистов.

Мы тут оставляем в стороне вопрос о встречах, в отдельных деталях, поэмы «Хосров и Ширина» с армянским сказом об Аре Прекрасном и Шамирам или Семирамиде (рассказ приближенного Хосрова-Пэрвиза Шапура о Шамире, ее могущество и племяннице Ширине и описание поездки Шапура в Армению за Ширина), равно как с эпосом «Давид Сасунский» (рассказ о коне Шэбдиз, двойнике Куркик-Джалала). Но подробности описания пребывания Шапура в Армении, с упоминанием памятников материальной культуры именно Армении и с привлечением, параллельно с этим, некоторых мотивов армянского фольклора, упираются в реальную действительность Армении. Вот и отрывок, содержащий эти подробности [2, 3].

Шапур не спал и не отдыхал в пути. Он проехал в месяц расстояние [отделявшее] Хосрова от Ширина.

Оставляя степь за степью позади, он спешил добраться до армянского нагорья,

Где в летнюю пору собирались эти красавицы.

Когда Шапур приехал, зеленела свежая трава и анемоны соперничали с базиликом.

Голубые камни пожелтели и покраснели, одевшись в цветочное убранство.

От оживленных гор до равнин и степей потянулись замысловатыми узорами полосы цветов.

На алтаре, к которому обращены взоры всего ЕрАка, окружая колонну Аштарака¹,

Стоял монастырь, сложенный из гранита, а в нем престарелые монахи.

В этом древнем монастыре остановился [Шапур], [исполнив все, что требует] обычай принятый у эбдалей.

Премудрый рассказчик, нанизывая жемчужины, так ведет свою речь:

„У подошвы этой горы есть пещера, в ней черный камень, как бы изваяние всадника.

„Каждую весну здесь собираются ветроногие [скакуны] и пасутся около ручейков.

„Раз в тысячу лет из равнины, где ходят табуны, бежит к жеребцу быстроногая кобылица.

„Из за сотни фарсахов стремится она к пещере и протискивается в нее как змея в свою нору.

„Она проявляет страсть к черному камню и сожалением трется об него.

„По воле господа она воспринимает от камня семя. Это кажется чудом, но сердце склонно верить.

„Жеребенок, происшедший от этого семени, обгоняет бег онагра и ход времен.

„Великий мудрец [сообщивший легенду] говорит, что Шэблиз происходил от этого камня⁴.

В заключение данного описания, Низами говорит, как это, впрочем, отмечено и у Ю. Н. Марра [2], что в его время от монастыря уже камня на камне не оставалось; при этом еще раз упоминается Аштарак и имеется указание на источник, протекавший в окрестностях монастыря.

Вникая в содержание приведенного пассажа из Низами, не трудно догадаться, что таковой имеет в виду район в окрестностях Эчмиадзина: как к северу — к линии расположения церквей и монастырей Ошакан, Аштарак, Мугни, հՕվանավանք и Ծամօսավանք, где в Ошакане и поныне стоит т. н. «колонна Мавриция» [4, 5], так и к западу — к линии местонахождения Айгыр-ѓёла или Айгыр-лича, т. е. озера Айгыр, с которым связывается легенда о выходящем из воды жеребце [2], и далее к восточным склонам Алагёза или Арагаца, где местами попадаются пещеры.

Все это, в конечном итоге, естественно, приводит к правильному положению о знакомстве Низами с Арменией, с его природой и бытом [2].

¹ По варианту: Анхарака.

Архетип же поэмы «Хосров и Ширин» в донизамиевской версии дошел до нас в главах XI—XII и отчасти XLIV «Истории» армянского историка бесспорно VII века, притом сасанидской и, во всяком случае, доарабской эпохи, епископа Себеоса, а в сокращенном перифразе — в главе XXIV «Истории» армянского же историка XII века Мхитара Анийского.

При этом необходимо отметить, что выявление архетипа сасанидской эпохи поэмы «Хосров и Ширин», основанного на армянском фольклорном материале (590—602 гг.?), имеет для науки такое же значение, как, напр., запечатленная на сасанидском блюде (III—VII вв.) и восходящая к иранскому фольклору сцена охоты за оленями Барам-Гура и Азадэ, сидящих на верблюдах, каковая сцена впоследствии использована Фирдуси в описании соответствующего эпизода в «Шаннамэ» [6].

Ниже мы воспроизводим в русском переводе самый архетип поэмы «Хосров и Ширин» по Себеосу и Мхитару Анийскому.

I.

По Себеосу [7, 8, 9]

Благочестие царицы Ширин. Приказ Хосрова, чтобы каждый твердо держался религии [своих] отцов¹.

У него (Хосрова)² было много жен, согласно их религии магов, но он взял также жен из христианок, и была у него жена христианка из земли Хужастан (Хузистан), по имени Ширин. Она была бамбиш — царица цариц. Она построила монастырь и церковь близ царской резиденции и вселила в него (в монастырь) священников и служителей [культта], назначила им из казны жалованье и деньги на одежду, разукрасила [церковь] золотом и серебром. И евангелие царства божьего громогласно [и] смело проповедывалось при царском дворе; и никто из старших магов не смел открыть рта и ни слова сказать христианину.

Когда же исполнились [ее] дни и [она] достигла зрелого возраста, [Хосров] в разных местах предал мученической смерти многих из магов, принявших христианство. И отдал он приказ: «Никто из беззаконных да не осмелится перейти в христианство, и никто из христиан да не осмелится перейти в беззаконие; каждый обязан твердо держаться религии своих отцов. Кто же не пожелает придерживаться отцовской религии, а восставши отложился от законов своих отцов, тот подлежит смерти». Но в день великого праздника Благословия³ христиане из монастыря Ширин и иные

¹ По сравнению с переводом Ст. Малкасянца нами допущены некоторые отступления.

² Речь идет о Хосрове II Пэрвизе Сасаниде, 590—628 гг.

³ В подлиннике: «Վոգովանեան», т. е. «Ելօցցւեան», что соответствует празднику «Входа господня в Иерусалим» или т. н. «Вербному воскресенью».

направлялись к вратам царских покояев, [церковно]служением читали евангелие и, получив подарки от царя, уходили. И никто не осмеливался пикнуть им.

Император Маврикий¹ просит у царя Хосрова тело пророка Даниила. Знамения, имевшие место при перенесении тела.

В эти дни греческий царь попросил у царя персов тело умершего человека, которое находилось в городе Шош, в царском казн[охранилищ]е, положенное в медную раку, и которое персы называют Кав-Хосров, а христиане говорят, что это—тело пророка Даниила. И царь Хосров велел исполнить просьбу его (Маврикия). Царица же Ширин очень была встревожена этим, и когда она не смогла изменить волю царя, приказала всем христианам страны постом и молитвами просить Христа, чтобы та благодать не ушла из [родной] страны.

И вся страна собралась на том месте, усиленной мольбой и слезным плачем просила у Христа воспрепятствовать этому. Привели мулов, принесли царский одр, положили на него [тело] и ушли. Как только [носильщики] вышли за городские ворота, внезапно иссякли источники, которые были ключем в городе и вытекли наружу, а весь народ (букв. вся страна) с воплями и возгласами следовал за ними.

И когда они (носильщики) отошли от города стадии на три, мулы, запряженные в одр, внезапно остановились, и никто не мог тронуть их с места. Потом вдруг, сильно брыкаясь, прорвали толпу и [войинский] отряд, и помчались обратно в город. И как только они вошли в городские ворота, опять стали бить ключи реки и потекли воды наружу полным потоком, как прежде.

Немедленно сообщили об этом императору. И он, послав ему (Хосрову) дары, приказал поступить так, как ему угодно. Оставили его (тело пророка Даниила) и удалились.

* * *

... Царь Хосров издал приказ: «Все христиане, находящиеся в моем подданстве, обязаны держаться армянской веры». Армянской вере следуют в ассирийских странах митрополит Каминшов и другие десять епископов, и боголюбивая царица Ширин, и храбрый Сумбат, и главный врач...

¹ Речь идет о византийском императоре Маврикии, 582—602 гг. [5].

II.

По Мхитару Анийскому [10]

...Хосров взял жену христианку, по имени Ширин, и дал ей свободу веры. Она построила близ [царского] дворца монастырь и назначила туда священников. Маврикий попросил у Хосрова тело умершего, которое находилось в царском казн[охраннилище], положенное в медную раку, и которое персы называют Кав-Хосров, а армяне—пророком Даниилом. И когда привели мулов и вынесли [тело] за [городские] ворота стадий на три, они стали брыкаться, и тогда забили водяные ключи. Узнав об этом, император почтил его (Хосрова) подарками...

Тбилисский Государственный Университет

имени Сталина

Кафедра арменологии

(Поступило в редакцию 6.2.1942)

ლიტერატურის ისტორია

ლორე გილიძეთ-გიგი

პოვება «ხოსრო და შირინ»-ის არქეტიპი VII საუკუნის სომხურ რედაქციაში

რეზუმე

ძველ სომხურ მწერლობას არ გააჩნია ტექსტუალური თარგმანები ირანული (და ქართული) რაინდული ლიტერატურიდან. ხოლო თუ სომები პოეტურიკონსები, მოყოლებული XIV საუკუნიდან, სახელდობრ კონსტანტინე ერზინჯალით, იხსენიებენ ამა თუ იმ ეპიკურ თხზულებას, ესეც, უთუოდ, ფოლკლორული ვერსიებიდან უნდა მომდინარეობდეს და არა მწიგნობრულის გზით.

ძველი სომხური ეპოსის აღსაღენად სათანადო ძეირფასი მასალა შემონახულია, ერთი მხრით, ფავსტოს ბიზანტიილის «ისტორია»-ში და ეზნიკ კოლხელის «განჯიქება»-ში, ხოლო მეორე მხრით—მოსე ხორენელისა და სებეოსის ისტორიებში. ამათგან უკანასკნელი, ე. ი. სებეოსი, უცილობლად VII საუკუნის ანუ სასანიანთა ეპოქის ისტორიკოსი, შნიშვნელოვანია იმით, რომ მას დაცული აქვს პოემა «ხოსრო და შირინ»-ის არქეტიპი პრენიზამისეულს სომხურს ფოლკლორულ ვერსიაში. ხოლო სებეოსის ჩანაწერის შემოკლებულს პერიფრაზს წარმოადგენს XII საუკუნის სომებთავე ისტორიკოს მხითარ ანელის ვერსია.

პოემა «ხოსრო და შირინ»-ის სომხური ფოლკლორიდან მომდინარე სასანიანთა ეპოქის (VII ს.) სომხური არქეტიპის გამოვლინებას მეცნიერებისა-

თვის ისეთივე მნიშვნელობა აქვს, როგორც იმავე სასანიანთა ეპოქის (III—VII ს.) სინზე ღლებელი და ირანული ფოლკლორიდან მომდინარე სცენას აქლემებზე შემჯედარ ბარამ-გურისა და აზადეს ნადირობისას ქურციკებზე (ჯირანებზე), რომელიც შემდეგში საუკხოოდ გამოყენებულია ფირდუსის მიერ სათანადო ეპიზოდის ასაწერად «შანგამე»-ში.

რაც შეეხება თვით არქეტიპს, იგი ასეთი შინაარსისაა (სებეოსით):

1. შირინ დელოფლის კეთილმასხურება, ხოსროს ბრძანება, რათა მტკიცედ დარჩნენ მამეულ სჯულში (დაიცვან მამეული სჯული).

მას (ზოსროს) გევრი ცოლი ყავდა მათი მოგვთა სჯულისამებრ, მაგრამ მან ქრისტიანი ცოლებიც შეირთო, და მისი ქრისტიანი ცოლი ულამაზესი სუფისტანით (ხუწისტანით) იყო, სახელად შირინ. იგი იყო ბანბიში, ე. ი. დედოფალთ დელოფალი. მან აღაშენა მონასტერი და ეკლესია სამეფო სადგომს მახლობლად და ჩაისახლა იქ (მონასტერში) მღვდლები და [ღვთის] მსახურნი, დაუნიშნა მათ ჯამაგირი და ტანთსაცმელის ფასი ხაზინითგან, შეამკო [ეკლესია] ოქროვერცხლითა, და ხმიმალლად და გაბედულად ქადაგებდა სამეფო კარად სახარებას სასუფლევლისას. და არავის მოგვთუხუცესთაგან არ შეეძლო პირის გალება და ხმიკრინტის დაძრი ქრისტიანის მიმართ.

როდესაც განიცეს დღენი [მისნი] და [იგი] მომწიფდა, მრავალს იმ მოგვ-
თაგან, რომელიც გაქრისტიანდნენ, [ხოსრომ] მრავალ ადგილს მარტვილობით
მოულო ბოლო, და გასცა ასეთი ბრძინება: «არავინ უსჯულოთაგან არ გაბე-
დოს გაქრისტიანდეს და ორავინ ქრისტიანეთაგან მოიტკის უსჯულოებაში, ორა-
მედ თვითონეული კაცი თვის მამეულ სჯულში მტკიცედ დარჩეს. ხოლო ვინც
არ მოისურვებს მამეული ღმერთი იწამოს, ორამედ ამბობებით გადადგება მა-
მეულ სჯულთ, მიეცეს სიკვდილს». და კურთხვეის (ბზობის) დიდი დღესაცწა-
ულის დღეს ქრისტიანენი შირინის მონასტრით და სხვანიც მიიმართებოდნენ
მეფის სამყოფელ კარად, [ლვთის] მსახურებით კითხულობდნენ სახარებას და
ღებულობდნენ საჩქარო მეფისაგან და ბრუნდებოდნენ, და ორავის შეეძლო
რაიმე საწინააღმდეგო ეტეჭა მათ მიმართ.

2. მავრიკი კეისისარი სთხოვს ხოსროს დანიელ წინასწარმეტყველის გვამს. სასწაული, რომელიც გვამის გადატანის დროს შეიქნენ. ამ დღებში ბერძენთა მეფემ სპარსთა მეფეს სთხოვა გვამი მიცვალებული კაცისა, რომელიც ქალაქ შოშში იმყოფებოდა, მეფის საგანძურში, სპილენძის კუბოში მოთავსებული, რომელსაც სპარსელები კავ-ხოსროს (ქაიხოსროს) უწოდებდნენ, ხოლო ქრისტიანები — დანიელ წინასწარმეტყველად. და ხოსრო მეფემ ბრძანა მისი (მავრიკის) ოხოვნა შეწყნარებულ იქნეს. ხოლო შირინ დელფინთალი მეტად ბლელვებული იყო ამით, და როდესაც ვერ შესძლო შეცვალა მეფის სურვილი, ყველა ქრისტიანებს უბრძანა მარხვითა და ლოცვით შეეცვადრონ ქრისტეს, რათა ის მაღლი [თვისი] ქვეყნიდან არ დაიძრას. და მთელი ქვეყანა (ხალხი) შეიკრიბა იმ ადგილს და დიდი მუდარითა და გოდებით, ცრემლით აღსავსენი, ეველრებოდნენ ქრისტეს, რათა გადატანა შეაჩეროს. [ხოსროს მსახური] შოგიდნენ და მორეცას ჯორები, აგრეთვე მოიტანეს სამეთო სარე-



Այլու դա, ներ դացը հա զամո, թասցընես դա թազուղեն. դա հոգութեան ինքնի յալայիս յարոտ ցացուղեն, շրջագ դամրնեն թարոնո, հոմելնուց մոց յալայի նի հյերուղեն դա ցարու մոմցոնարշուղեն. դա մուլո յացանա (խալեն) ցառա դա լալացեծոտ մուցցըլա մատ.

Հոգորդը կո օնոն (Եռևանու մասնակի) սամո ասկարենու յալայի դամրնեն, չորհեծո, հոմլեծուց սահեցուլնո ուցնեն նեմուլնո, շրջագ նյերուղեն, դա արացու նյեմլու ագուղուգան մատո դամբրա. Նյեմլուց կո շրջագ չորհեծո մուտու կարոտ ցարլցուց խալենու ցրոցա դա [թպալու] ցնուո, դա ցայնեցոտ շյան յալայիսացն մոմարունեն. դա հոգուց յալայիս յարոտ նյեցուղեն, մուտաց անշենշեցնեն մունունուն. դա ցամունցոնարշուղեն նյուլեծո հոգորդը վոնցու.

Ամուս նյեսեց սկրագու ալոնցը կը օնահս, հոմելմաւ, ցայցնացնա հա Եռևանու մցունո, ծրածան մույշցնեն օնց, հոգորդը ման (Եռևանու) մուսուրցա. Դա Ռոցը ոցո (գանուց նոնասկարմերպացըլու ցամու) դա ցամրնեն...

Եռևանու մեցու ցալցու ծրածանը: «Կայլա յի ուստի անունո, հոմելնուց հիմո ծարոնունու յայց (իյնո յայց նյերուղենուն) արան, սոմեստո սահմանունու սնճա ալու արան. Սոմեստո սահմանունուն մուցցըն ասուրաստանուն մեարեցի, յամունցուն մուրուունուրու դա ատո սեցա ցուսկունուսու, լուտունմուցարյ գուցուցալու նորոնո, մենց սումծարու դո լուց յէմծան...

ՏՐԱԼՈՒՆԻՍ ՍԱԿԵԼՈՒԹԻՈՆ
ՄԵՇԱԿԱՆ ԽՈՎԱԿԱՆ ՄԱՐԱՆ
ԱՐՄԵՆՈՒՂՈՑՈՒՆ ԿԱԴԵԳՐԱ

ШИТИРОВАННАЯ ЛИТЕРАТУРА—ՅՈՒԹՈՒՑԱՇԱԼՈ ՊՈՒԹՈՒՆՆԱՐԺԱԾ

1. Ա. Ց ը լ ո յ ս ց տ - ծ ց ո . Խոստացուլու դա Սոմելու լուրջրաթուրա. Կրեթուլու „Խոտա Խոստացուլու կյուլանու“. տօ. 1937, ցը. 281—291.
2. Ю. Н. Марр. Отрывок из Незами, касающийся Кавказа. Бюллетень Кавказского Историко-Археологического Института, № 5. Ленинград, 1929, стр. 21—23.
3. Низами Гянджеви. Поэмы (отрывки). Азербешр. Баку, 1941, стр. 59—63 (Рассказ Шапура о Ширин), стр. 64—65 (Поездка Шапура в Армению за Ширин).
4. J. Strzygowski. Die Baukunst der Armenier und Europa. Band I. Wien, 1918, S. 321.
5. N. Adonz. Les légendes de Mauric et de Constantin V empereurs de Byzance. Extrait de l'Annuaire de l'Institut de Philologie et d'Histoire Orientales, t. II (1933—34)—Bruxelles, 1933, pp. 1—12.
6. Бахрам Гур и Азад. Из Шах-Намэ Фирдуси. Ленинград, 1934.
7. История епископа Себеоса об Ираклии, изд. К. П[атканов]а (на арм. яз.). Спб., 1879, стр. 45—47, 123.
8. История епископа Себеоса, изданье четвертое сличительно по рукописям, с предисловием и примечаниями Ст. Малхасяни (на арм. яз.). Изд. Армфана. Ереван, 1939, стр. 47—48, 125—126.
9. История епископа Себеоса. Перевел с четвертого исправленного армянского издания Ст. Малхасяни. Издание Армфана. Ереван, 1939, стр. 43—44, 104—105.
10. История Мхитара Анийского. Начало главы 17 и приложения, изд. К. П[атканов]а (на арм. яз.). Спб., 1879, стр. 34 (приложение к книге: История епископа Себеоса).

მესამე ტომის სარჩევი - ОГЛАВЛЕНИЕ ТРЕТЬЕГО ТОМА CONTENTS OF THE THOED VOLUME

გათხათიკა—МАТЕМАТИКА—MATHEMATICS

А. К. Харадзе. О тождестве Эйлера—Лагранжа и неравенстве Буняковского—Шварца	1
* А. ხ ა რ ა ძ ე. ეილერ—ლაგრანგის იგივეობისა და ბუნიაკოვსკი—შვარცის უტოლობის შესახებ	5
* A. Kharadzé. Sur l'identité d'Euler—Lagrange et de l'inégalité de Bouuniakowski—Schwarz	7
ი. ფ ი ფ ა უ რ ი. პარაბოლური ყაიდის დიფერენციალური განტოლების მიახლოებითი ამოხსნის შესახებ	9
* И. Д. Лапаури. К вопросу приближенного решения дифференциального уравнения параболического типа.	14
Илья Векуа. Об аппроксимации решений эллиптических дифференциальных уравнений	97
* ი ლ ი ნ ი ვ ე ჭ ა. ელიფსურ დიფერენციალურ განტოლებათა ამოხსნების აპროქსიმაციის შესახებ	101
Илья Векуа. Решение основной краевой задачи для уравнения $\Delta^{n+1}u=0$	213
* ი ლ ი ნ ი ვ ე ჭ ა. ძირითადი სასაზღვრო ამოცანის ამოხსნა განტოლებისათვის $\Delta^{n+1}u=0$	220
К статье А. К. Харадзе «Об одном применении полиномов, аналогичных якобиевым»	305
ი ლ ი ნ ი ვ ე ჭ ა. $\Delta u + \lambda^2 u = 0$ განტოლების ამოხსნების შესახებ	307
* Илья Векуа. О решениях уравнения $\Delta u + \lambda^2 u = 0$	312
N. Tschebotaröw. Notice on the theory of algebras	405
* Б. ჩ ე ბ თ ტ ა რ ი თ ვ ა. შენიშვნა პიცერკომპლექსური რიცხვების შესახებ	412
Л. Г. Магнарадзе. Об одном новом интегральном уравнении теории крыла самолета.	503
* ლ ე მ ბ ა რ ა ძ ე. თვითმფრინავის ფრთის თეორიის ერთი ახალი ინტეგრალური განტოლების შესახებ	508
Ш. Е. Микеладзе. О приближенном интегрировании линейных дифференциальных уравнений с прерывными коэффициентами.	633
* მ ი ქ ე ლ ა ძ ე. წრფივ წყვეტილ კოეფიციენტებიან დიფერენციალური განტოლებების მიხლოებითი ინტეგრირება	639
Н. П. Векуа. О решении смешанной граничной задачи теории ньютонова потенциала для многосвязной области	753

* ვარსკვლავთ აღნიშნული სათაური ეკუთვნის წინა წერილის რეზუმეს ან თარგმანს.

* Заглавие, отмеченное звездочкой, относится к резюме или к переводу предшествующей статьи.

*A title marked with an asterisk applies to a summary or translation of the preceding article.

*Б. Зука. Многогранник с конусами и кубом в теории интегральных уравнений	758
Илья Векуа. К теории сингулярных интегральных уравнений	869
*Ю. Ю. Зука. Сингулярные интегральные уравнения	875
Н. И. Мусхелишвили. Системы сингулярных интегральных уравнений с ядрами типа Коши.	987
*Б. Зука. Сингулярные интегральные уравнения	994
George Chogoshvili. Behaviour of some topological invariants on level surfaces.	995
*Доминго Чарльз. Топологические инварианты на уровнях	998
III. Е. Никладзе. Формулы квадратур с разностями	1001
*Д. Диджевадзе. Методы вычисления интегралов	1003

ФИЗИКА И МАТЕМАТИКА—ТЕОРИЯ УПРУГОСТИ—THEORY OF ELASTICITY

Н. И. Мусхелишвили. Основные граничные задачи теории упругости для плоскости с прямолинейными разрезами	103
*Б. Зука. Дифракция волн на границе сферической оболочки	110
А. Я. Горгидзе и А. К. Рухадзе. О вторичных эффектах при изгибе кругового цилиндра. Сообщение третье	221
*Д. Диджевадзе и др. Дифракция волн на границе сферической оболочки	228
Н. И. Мусхелишвили. К задаче равновесия жесткого штампа на границе упругой полуплоскости, при наличии трения	413
*Б. Зука. Дифракция волн на границе сферической оболочки	418
А. В. Бицадзе. О местных деформациях при сжатии упругих тел	419
*Д. Диджевадзе. Дифракция волн на границе сферической оболочки	423
Илья Векуа. Об изгибе пластинки со свободным краем	641
*Ю. Ю. Зука. Точечные силы в теории упругости	648
А. Я. Горгидзе и А. К. Рухадзе. О вторичных эффектах при кручении армированного кругового цилиндра.	759
*Д. Диджевадзе и др. Дифракция волн на границе сферической оболочки	765

გიდროდინამიკა—ГИДРОДИНАМИКА—HYDRODYNAMICS

Д. Е. Долидзе. Об общей линейной задаче гидродинамики	649
*Ф. Фоменко. Задачи гидродинамики в гидравлике и гидромеханике	656

 მათემატიკის დაფუძნების საკითხები—ВОПРОСЫ ОБОСНОВАНИЯ МАТЕМАТИКИ—
 PROBLEMS OF THE FOUNDATION OF MATHEMATICS

Л. П. Гокиели. О понятии существования в математике. Сообщение второе	III
*Л. Гокиели. Аксиома существования в математике	118
От редакции	305
Л. Б. Хвистек. Об аксиоме Цермело и ее роли в современной математике	981
*Л. Хвистек. О фундаментальной аксиоме Цермело и ее роли в современной математике	984
*L. Chwistek. Sur l'axiome de Zermelo et son rôle dans les mathématiques contemporaines	985

ასტრონომია—АСТРОНОМИЯ—ASTRONOMY

V. Hase. Peculiar changes in the shell spectrum of γ Cassiopeiae in 1940.	15
*З. ჰასე. γ Cassiopeiae-ს გარსის სპექტრის ცვალებადობის შესახებ	19
V. Nikonov. On the photoelectric colorimetry of the B_8 — B_9 stars carried on at the Abastumani Astrophysical Observatory	509
*З. ნიკოლოვი. B_8 — B_9 ტიპის ვარსკვლავთა ელექტროკოლორიმეტრის შესახებ	513
В. Б. Никонов и Э. С. Бродская. Электроколориметрия переменной звезды α^2 Canum Venaticorum	657
*З. ნიკოლოვი და ე. ბროდსკა. ცვალებადი ვარსკვლავის α^2 Canum Venaticorum ელექტროკოლორიმეტრია	659
*V. Nikonov and E. Brodskaja. Photoelectric colorimetry of the variable star α^2 Canum Venaticorum	660

ფიზიკა—ФИЗИКА—PHYSICS

В. И. Мамасахлисов. «Спиновое» излучение электрона	119
*З. მამასახლისოვი. ელექტრონის „სპინური“ გამოსხივება	126
Ю. А. Сикорский. Увеличение диэлектрических потерь в аморфных телах при освещении	127
*ი. სიკორსკი. დიელექტრული დანაკარგების გადიდება ამორფულ სხეულებში მათი გაშუქების დროს	129

В. И. Мамасахлисов. Электронная дезинтеграция берилля	515
*З. მამასახლისოვთვი. ბერილიუმის ბირთვის დაშლა ელექტრონებით.	520
Д. Б. Гогоберидзе и А. И. Груздев. Инфракрасные спектры некоторых органических веществ в твердом, жидким и перекристалленном состоянии	663
*დ. ლოლობერიძე და ა. გრუზევი. მყარ, თხიერ და გადაცივებულ მდგომარეობაში მყოფ ზოგიერთ ორგანული ნივთიერების ინფრაწილის სპექტრები.	669
Н. М. Полиевиков. К теории движения волнового пакета	767
*б. პოლიევკოვთვი. ტალღური პაკეტის ძრობის თეორიისათვის	774
В. И. Мамасахлисов. К теории электронной дезинтеграции берилля.	877
*З. მამასახლისოვთვი. ბერილიუმის ბირთვის დაშლა ელექტრონებით	883
Ю. А. Сикорский. Зависимость диэлектрических потерь от характера электропроводности кристаллов	1005
*ი. სიკორსკი. დიელექტრიკული დანაკარგების დამოკიდებულება კრისტალების ელექტროგამტარობის ხასიათზე	1010

გეოფიზიკა—ГЕОФИЗИКА—GEOPHYSICS

А. Д. Цхакая. К вопросу построения местного гидографа	21
*ი. ცხაკაია. ადგილობრივი ჰოდოგრაფის აგების საკითხისათვის	27
Е. И. Бюс. О предвестниках землетрясения по наблюдениям Мольденгауера над режимом Екатерининского источника в Боржоми	1013
*ე. ბიუსი. მიწისძვრის წინასწარ მაუწყებელი ნიუნების შესახებ მოლდენჰაურის მიერ ბორჯომის (ეკატერინენს) მინერალური წყაროს რეკიმზე ჩატარებული დაკვირვებათა მიხედვით.	1016
*E. Büss. On the «precursors» of earthquakes according to Moldenhauer's observations on the Catherine-Spring in Borjomi (Georgia)	1016

ტექნიკური ფიზიკა—ТЕХНИЧЕСКАЯ ФИЗИКА—TECHNICAL PHYSICS

А. А. Аваков. Экспериментальное исследование износа резцов при малых скоростях резания. Сообщение первое	145
*ა. ავაკოვი. საჭრისების გაცვეთის ექსპრიმენტალური გამოკვლევა მცირე ჭრის სიჩქარეებით ლითონების ჭრის დროს. I	150
*A. Avakoff. Experimental study of the wear of cutting-tools at small speeds. I	151
А. А. Аваков. О температуре при резании. Сообщение второе	541
*ა. ავაკოვი. ტემპერატურის საკითხისათვის ლითონების ჭრის დროს. II	548

808033—ТЕХНИКА—TECHNICS

Г. И. Атабеков. Учет предшествующего стационарного режима при применении операционного исчисления к анализу устанавливающихся процессов	41
*Г. Атабеков. Մասնաւոնալուրո հյումուս զատշալուսինենքա ռազմականութեա օպերատուրա գամուցենքա դրու դամբարանեա գու ձեռարանու անալունեատզու	46
К. С. Завриев. Свободные колебания балок на упругом основании	527
*К. Завриев. Ընդունակութեա գամբարանուրո յունենքա տացուսուցալու հեցա	534
Г. И. Атабеков. Учет влияния трансформации на величину свободных токов в первичных цепях короткого замыкания	535
*Г. Атабеков. Ցանկութեա գազարումաւուս գազարումենքա տացուսուցալու դեբենքա սուսութեա մոյզեա թերտուլ ձորալուրո վրագա	540
К. С. Завриев. Определение динамического коэффициента вынужденных колебаний обобщенным методом последовательных приближений	781
*К. Завриев. Օգնութեա օժանամույսուրո յունուցունենքա գանսանցա տանամութեա ընդունակութեա մոակլուցեա գանհողագույնուրո թյուգուտ	788
А. Г. Назаров и М. Хуберян. К расчету каркасов маскировочных сетей	1019
*А. Назаров и М. Хуберян. Ֆանտահուս կարյալու ձագու սրաւուրո անցարունեատզու	1025

808033—ХИМИЯ—CHEMISTRY

Г. В. Цицишвили. Влияние отталкивания и резонанса на кривую энергии молекулы водорода	29
*Г. Цицишвили. Ջանուսուրո դա հյումոնանսու զարունակութեա նյալճա թուլութեա յերշանքա	32
*G. Zizishvili. Influence of repelition and resonance on energy curve of hydrogen molekule	33
Г. В. Цицишвили. Водородная связь и смещение чистоты. Сообщение первое	35
*Г. Цицишвили. Նյալճա յաջմուրո դա սոենուրո դայլութեա. I . .	38
*G. Zizishvili. Hydrogen bond and shift of frequency. I	38
Ж. А. Ревзидзе, О. Азизашвили и др. Արմենական նայութեա յիմուրո թյալցանուրո	131
*Х. И. Арещидзе, И. С. Айазов и Г. И. Крихели. Изучение ароматических углеводородов из фракции 70—95°C Мирзаанской нефти	135

Н. А. Изгарышев и Э. С. Саркисов. «Парохромовые» покрытия на железе и стали	229
*Б. იზგარიშვილი და ე. სარქისოვი. დამცველი შრეების მიღება რკინია და ფოლადზე ქრომის ქლორიდის ორთქლიდან	232
დ. ერისთავი და დ. ბარნაბაძიშვილი. შევი ქვის მადანში სამცველებოები მანგანუმის განსაზღვრა	235
*Д. И. Эристави и Д. Н. Барнабишили. Определение трехвалентного марганца в марганцевой руде	241
Ф. Н. Тавадзе и М. Д. Цкитишвили. Неметаллические включения в ферромолибдене	315
*ფ. თავაძე და მ. ცქიტიშვილი. არალითონური ჩანართები ფერომოლიბდებზე	322
დ. ერისთავი. მანგანუმის შლამის თვისებათა ფიზიკურ-ქიმიური გამოკვლევა	425
*Д. И. Эристави. Физико-химическое исследование свойств марганцевого шлама	430
Э. С. Саркисов. Электронографическое исследование структуры поверхности «парохромового» покрытия	433
*ე. სარქისოვი. ქრომის ქლორიდის ორთქლით დამუშავებული ფოლადის ზედაპირის სტრუქტურის ელექტრონოგრაფიული გამოკვლევა	436
ა. გახორკიძე. 2-Метилпентана из глюкозы	521
*ა. ნ. გახორკიძე. Синтез 2-метилпентана из глюкозы	526
Г. В. Цицишвили. Таутомерия в пиразоле	671
*გ. ციციშვილი. ტაუტომერია პირაზოლში	674
*G. Zizishvili. Tautomerism in pyrazole	675
ქ. არეშიძე. მირზანის ბენზინის გაკეთილშობილება დეჭიდროგებიზაციული კატალიზის საშუალებით	677
*Х. И. Арешидзе. Облагораживание мирзаанского бензина путем дегидрогенизационного катализа	681
Б. А. Казанский и Х. И. Арешидзе. Исследование катализатора палладия в реакции каталитической циклизации парафинов и в реакции расщепления пентаметиленовых углеводородов	885
*ბ. კაზანსკი და ქ. არეშიძე. კატალიზატორ პალადიუმის გამოკვლევა პარაფინების კატალიზურ ციკლიზაციისა და პენტამეთილენურ ნახშირწყალბადების გაპობის რეაქციებზე	890
*B. Kasansky and C. Areshidze. The investigation of palladium as catalyst in the reactions of catalytic cyclisation of paraffins and the splitting up of pentamethylene hydrocarbons	890
Р. И. Агладзе. Возникновение гальванических пар при электролизе $MnSO_4$	1027
*რ. აგლაძე. მეტალური მარგანეცის ელექტროლიზით მიღების დროს ნორმალური პროცესის დარღვევის მიზეზების ანალიზი	1032

О. Е. Звягинцев и Ш. Н. Мататашвили. Кристаллоалкого-	
ляты галоидных солей двухвалентного кобальта	1035
*м. ზვიაგინი გვივილი და მ. ბათათაშვილი. ორგალენტოვნი კო-	
ბალტის ჰალოიდური მარილების კრისტალოალკოლიატები	1041

მეტალურგია—МЕТАЛЛУРГИЯ—METALLURGY

О. Е. Звягинцев. Энергетические коэффициенты кристаллических	
решеток (ВЭКи) и строение бинарных металлических сплавов	775
*м. ზვიაგინი გვივილი. კრისტალური გისოსების ენერგეტიკული კოეფი-	
ციენტები (800°Б) და ბინარულ-ლითონური შენადნების აღნაგობა	779
О. Е. Звягинцев, Ф. Н. Тавадзе и Е. В. Еленевская.	
Безлитиевые флюсы для сварки алюминиевых сплавов	893
*м. ზვიაგინი გვივილი, ვ. თავაძე და ე. ელენევსკაია. ულითო-	
უმო ფლუსები ალუმინის შენადნების შესაფულებლად	897
Э. С. Саркисов. О жаростойкости парохромовых покрытий	1043
*ე. სარქისოვი. ქრომის ქლორიდის ორთქლიდან მიღებული ("ორთქლ- ქრომირებული") შრეების მდგრადობა მაღალ ტემპერატურაზე	1048

გეოლოგია—ГЕОЛОГИЯ—GEOLOGY

ი. ჯანელიძე. საქართველოს ბელტის პრობლემა. I	49
*А. И. Джанелидзе. Проблема Грузинской глыбы. I	58
ი. ჯანელიძე. საქართველოს ბელტის პრობლემა. II	137
*А. И. Джанелидзе. Проблема Грузинской глыбы. II	142
ქ. ნუცუბიძე. დასავლეთ საქართველოს ქვედა ცირკის პრაქტიკობუ- ბისათვის	243
*К. Нуцубидзе. О нижнемеловых брахиоподах Западной Грузии.	245
ი. ჯანელიძე. დასავლეთ საქართველოს ცარცის გლაუკონიტიანის- ზედა კირქვების ასაკის გამო	437
*А. И. Джанелидзе. К вопросу о возрасте надглаконитовых (орбулиновых) известняков среднего мела Западной Грузии	442
А. Г. Эберзин. О новых видах кардиид из куяльницких отложе- ний Абхазии	549
*ი. ებერზინი. აფხაზეთის კუიალნიკური ნალექების Cardiid-ების ზო- გიერთი ახალი სახის შესახებ	555
*A. Ebbersin. On some new species of Cardiidae from the Kujalnik- deposits of Abkhazia	556
ნ. კანდელაკი. სტალინის მერგების ბუნების შესახებ	557
*Н. Канделаки. О генезисе Сталинских мергелей	561
ა. Л. ცაგარელი. К вопросу о проявлении австрийской фазы в Западной Грузии	789
70. "მოამბე", ტ. III, № 10.	



* ა. ცაგარელი. აქსტრიული ფაზისის საკითხი დასავ. საქართველოში	794
В. П. Колесников. О кавказских оледенениях	797
* გ. ქოლესინი. კავკასიონის გამყინვარებისათვის	801
მ. ფოფხაძე. ლეჩხუმის შუა-ეოცენის მხართფეხიანები	899
* მ. Попхадзе. Плеченогие среднего эоценена Лечхуми	901

აინდუსტრიალური—МИНЕРАЛОГИЯ—MINERALOGY

Г. С. Дзоценидзе. О некоторых вопросах образования альбитовых диабазов	323
* გ. ძოჭენიძე. ალბიტურა დიაბაზების წარმოქმნის ზოგიერთი საკითხის შესახებ	329

პეტროგრაფია—PETROGRAPHY

Н. И. Схиртладзе. Камптонито-мончикитовые жильные породы Кутаисского и Тквибульского районов	803
* ს. ხილტლაძე. ქუთაისისა და ტყიბულის რაიონის კამპტონიტ-მონიკიტების ძარღვის ქანები	810
ს. ხილტლაძე. დასავლეთ საქართველოს ტეშენიტების შესახებ . .	1049
* Н. И. Схиртладзе. О тешенитах Западной Грузии	1053

ბოტანიკა—БОТАНИКА—BOTANY

Ида Манденова. О некоторых астрагалах Месхетии	59
* ი. მანდენიაშვილი. ზოგიერთი ახალი ასტრაგალის შესახებ მესხეთობა	61
Л. И. Джапаридзе и Г. Н. Хунпаришвили. Содержание хлорофилла у некоторых кавказских древесных пород	65
* ლ. ჯაფარიძე. და გ. ხუბწარიძე. ქლოროფილის რაოდენობა ზოგიერთ კავკასიურ მცენარეების შიშებში	67
Л. Л. Декапрелевич. Роль Грузии в происхождении пшеницы. Сообщение второе.	153
* ლ. დეკაპრელევიჩი. საქართველოს როლი ხორბლების წარმოშობაში. II.	160
Л. И. Джапаридзе. К вопросу о распределении водного запаса в стволах спелодревесных хвойных пород	247
* ლ. ჯაფარიძე. მწიფე მერქნიანი წიწვიანი ჯიშების ღეროში წყლის მარაგის განაწილების შესახებ	250
ნ. ბრეგაძე. კურკუკის მცენარეთა თესლების აღმოცენება	253
* Н. Н. Брегадзе. Прорастание семян косточковых растений	260
Л. И. Джапаридзе. Содержание воды у растений разного пола	331
* ლ. ჯაფარიძე. წყლის შემცველობა სხვადასხვა სქესის მცენარეებში	335

Г. В. Канделаки. О некоторых особенностях строения пластида.	
Сообщение третье	337
*გ. კანდელაკი. პლასტიდების ორნაგობის ზოგიერთი თავისებურების შესახებ. III	343
*Galina V. Kandelaki. On some particularities of the plastide structure	343
В. З. Гулисашвили. О лесостепной зоне Восточного Закавказья	345
*ვ. გულისაშვილი. ტყევილის სარტყელი აღმოსავლეთ ამიერ-კავკასიაში	350
Т. А. Кезели. Изменение активности каталазы и пероксидазы у ивы в связи с возрастом и корнеобразованием	353
*თ. კეზელი. კატალაზისა და ბეროექსიდაზის ძეტიურობის ცვალებადობა ტირიფზი, მის ხელვანობასა და დაფენსინებასთან დაკავშირებით	356
Л. Л. Декапрелевич. Роль Грузии в происхождении пшениц.	
Сообщение третье	415
*ლ. დეკაპრელევიჩი. საქართველოს როლი ხორბალთა წარმოშობაში. III	450
Ираида Штэпа. Строение пыльцы кавказских представителей сем. Fagaceae A. Br.	451
*ირაიდა შტეპა. Fagaceae-ს ოჯახის კავკასიის წარმომადგენლების მტკრის მარცვლები	457
Анна Харадзе. К познанию кавказских представителей секции Proselius Stev. рода Astragalus L.	459
*ა. ხარაძე. გვარ Astragalus L. სექტია Proselius Stev.-ის კავკასიის წარმომადგენელთა შესწავლისათვის.	466
პ. ჭრელაშვილი. ჰეტერომოუქსინისა და შენახვის პირობების გავლენა ზოგიერთ ბიოქიმიურ პროცესზე ვაზის რეაცია	571
*М. Н. Чрелашвили. Влияние гетероауксина и условий предпрививочного хранения на биохимические процессы в виноградном побеге	577
Д. И. Сосновский. Материалы к изучению шиповников Закавказья.	683
*დ. სიმბოგი. მასალები ასკილების შესწავლისათვის ამიერ-კავკასიაში.	689
Е. А. Макаревская. Возрастные изменения некоторых веществ листа шелковицы	691
*ე. მაკარევსკაია. ხელვანებასთან დაკავშირებული ზოგიერთ ნივთიერებათა ცვლილების თუთის ფოთოლში.	696
Анна Харадзе. Новые и критические виды рода Astragalus L. секции Proselius Stev. с Кавказа	699
*ა. ხარაძე. გვარ Astragalus L. სექტია Proselius Stev.-ის ახალი და კრიტიკული სახეობაზე კავკასიიდან.	703



Л. Л. Декапрелевич. Грузинский очаг формообразования пшениц	707
*Л. Декапрелевич. ხორბლის ფორმათა წარმოშობის კერა საქართველოში	712
ლ. ჯაფარიძე და ქ. ლეონიძე. ასაკის გავლენა მერქნის მიერ წყლის შთანთქმაზე.	811
*Л. И. Джапаридзе и К. И. Леонидзе. Влияние возраста на поглощение воды древесиной.	813
Е. А. Макаревская. Волнообразный ход физиологических и биохимических процессов в черенках виноградной лозы	815
*ე զ զ օ ნ օ მ ა კ ა რ ე ვ ს კ ა ი օ . ვ ა ზ ი ს კ ა ლ მ ე ბ ზ ი ფ ი ნ ი თ ლ ვ ა უ რ ი დ ა ბ ი თ ქ ი მ ი უ რ ი პ რ ო ც ე ს ე ბ ი ს ტ ა ლ ი ს ე ბ რ ი ვ ი მ ს ე ლ ე ლ ა ბ ა 	820
*E. Makarevskaja. Le cours ondulatoire des processus physiologiques et biochimiques dans les greffes de la vigne.	821
М. Ф. Сахокия. Новые данные о некоторых злаках Кавказа	903
*მ ა ხ ი კ ი ა . ა ხ ა ლ ი მ თ ხ ა ც ე მ ე ბ ი კ ა ვ ა ს ი ს ზ ო გ ი ე რ თ ი მ ა რ ც ლ ვ ა ნ ე ბ ი ს შ ე ს ა ხ ე ბ	906
ქ. ი ლ უ რ ი ძ ე ბ თ ლ ჩ ა ნ ი დ ა ქ . ხ ი დ ა შ ე ლ ი . გ ა დ ა ჭ რ ი ს ა დ გ ი ლ ი ს ა დ ა ჭ რ ი ს ე ლ უ რ ი თ ფ ი ლ ი ს შ ე მ ც ე ლ ე ბ ი ს გ ა ვ ლ ე ნ ა ვ ა ზ ი ს (420A) დ ა ფ ე ს ე ვ ა ნ ე ბ ა ზ ე	907
*К. М. Илуридзе-Молчан и Х. Хиашели. Влияние подрезки и содержания хлорофилла на укореняемость черенков 420A	913
Шушана Кутателадзе. Заметки о некоторых ликорастущих грушах Грузии.	915
*შ უ ზ ა ნ ი ქ უ თ ა თ ე ლ ა ძ ე . ი ღ მ ი ს ა ვ ლ ე თ ს ა ქ ა რ თ ვ ე ლ ო ს ზ ო გ ი ე რ თ გ ა რ ე უ ლ ი მ ს ხ ლ ე ბ ი ს შ ე ს ა ხ ე ბ	920
Анна Шхиан. Новые данные к познанию кавказских постеници.	1057
*ა ზ ხ ი ა ნ ი . ა ხ ა ლ ი მ თ ხ ა ც ე მ ე ბ ი კ 33. Parietaria-ს კ ა ვ ა ს ი ს წ ა რ მ მ ა ღ ე ბ ე ლ თ ა შ ე მ ე ც ნ ე ბ ი ს ა თ ვ ი ს	1062
М. Эквтимишивили. Новые для флоры Кавказа виды рода <i>Vicia</i>	1065
*მ ე ქ თ ი მ ი შ ვ ი ლ ი . გ ვ ა რ <i>Vicia</i> -ს კ ა ვ ა ს ი ს ფ ლ ო რ ი ს ა თ ვ ი ს ა ხ ე ბ ი	1071
მ. ჭ რ ე ლ ა შ ვ ი ლ ი დ ა ლ . გ ა ს ი ლ ე ვ ს კ ა ი ა . ჩ ვ ე ნ ე ბ უ რ ი ნ ა დ ვ ი ს ა დ ა ს ო ჭ ი ს მ თ ხ ი ბ ლ ა ვ ნ ე დ ლ ე უ ლ ა დ გ ა მ უ ე ნ ე ბ ი ს ა თ ვ ი ს	1073
*M. H. Чрелашвили и Л. М. Василевская. К использованию ели восточной и пихты кавказской в качестве дубильного сырья	1075

80606000—ГЕНЕТИКА—GENETICS

В. Л. Менабде. Генетические взаимоотношения *Tr. macha* Dek. et Men. и *Tr. palaeo-colchicum* Men. в системе рода *Triticum* L. 563.

*з. მენაბე. <i>Tr. macha</i> -ს და <i>Tr. palaeo-colchicum</i> -ის გენეტიკური ურთიერთობაზე გვ. <i>Triticum</i> -ის სისტემაში.	569
*V. Menabde. Genetic interrelations of <i>Tr. macha</i> and <i>Tr. palaeo-colchicum</i> within the system of the genus <i>Triticum</i> L.	570
V. Л. Менабде и А. А. Ерицян. К филогенезу <i>Triticum Timopheevi</i> Zhuk.	823
*з. მენაბე და ა. ერიციანი. <i>Triticum Timopheevi</i> -ს ფილოგენეზისათვის.	829
*V. Menabde and A. Eritzian. On the phylogensis of <i>Triticum Timopheevi</i> Zhik.	830

ЧОЛЛОМЕДИЦИНСКАЯ—ЗООЛОГИЯ—ZOOLOGY

D. Н. Кобахидзе. К выяснению местообитаний медицинской пиявки в природных условиях Грузии.	69
*დ. კობახიძე. სამედიცინო წურბელის აღილსამყოფელის გამორჩევა- ზისათვის საქართველოს ბუნებრივ პირობებში	71
H. В. Матикашвили и Н. И. Джапаридзе. Личинки и нимфы клещей <i>Rhipicephalus sanguineus</i> Latr. и <i>Rh. turanicus</i> B. Pom.	73
*Б. მათიკაშვილი და ნ. ჯაფარიძე. <i>Rh. turanicus</i> -ის და <i>Rh. sanguineus</i> -ის ტკიბების მატლები და ნიმფები	77
*N. Matikashvili and N. Japaridze. Larvae and nymphs of ticks <i>Rhipicephalus sanguineus</i> L. and <i>Rh. turanicus</i> B. Pom.	78
C. М. Юзбашьян. О подвидах и внутривидовой диференциации у <i>Troglocaris kutaissiana</i> Sadowsky. Сообщение второе	161
*ს. იუზბაშვილი. ქუთაისის მღვიმის კრევეტის ქვესახეობებისა და სახეობის შიგნითი დიფერენციაციის შესახებ. II	165
*S. Jusbaschjan. On the subspecies and intraspecific differentiation in <i>Troglocaris kutaissiana</i> Sadowsky. II	166
III. М. Супаташвили. Буксусовый комарик (<i>Monorthropalpus buxi</i> Lab.) и борьба с ним в условиях Грузии	713
*მ. სუპათაშვილი. ბზის კოლო (Monorthropalpus buxi Lab.) და ბზი- თან ბრძოლა საქართველოს ბირობებში	715
დავით კობახიძე. ვანცყარტის ფარიანას (<i>Chionaspis evonymi</i> Comst.) პოლულაციის განლაგება საქვებ სუბსტრატზე	717
*Д. Н. Кобахидзе. Распределение популяции бересклетовой щи- товки (<i>Chionaspis evonymi</i> Comst.) на питающем субстрате	722
A. A. Садовский. Макроциллярные щипчики у личинок <i>Ephemeroptera</i>	831
*ა. სადოვსკი. <i>Ephemeroptera</i> -ს მატლების მაქსილარული ჩქინების შესახებ.	836
А. Г. Джанашвили. К вопросу о каннибализме среди некоторых хищных млекопитающих	839

*А. Н. Жабоцкий.	Чтоговорят Медицинские фельдшеры о болезнях	844
Шарко	и заболеваниях	
Д. Г. Гомбовский.	Самодиагностика	
С. М. Юзбашян.	Изучение фауны Niphargus в Грузии	1077
*В. Суббараб.	Биотафлора	1082
*S. Jusbaschjan.	On the fauna of Niphargus in Georgia	1083
В. Г. Георгиевский.	Sciurus anomalus Gmel. История изучения	1085
*З. С. Эквтимишивили.	Систематическое положение Sciurus anomalus Gmel.	1089

088600Л00—ЭМБРИОЛОГИЯ—EMBRYOLOGY

П. С. Чантuriashvili.	Некоторые материалы к вопросу о причинах, вызывающих вольфовскую регенерацию	261
*З. А. Бурчалишвили.	Чтоговорят Медицинские фельдшеры о болезнях	267
З. А. Бурчалишвили.	Гидроцефалии и менингиомы	267
*P. Chanturishvili.	Some materials on the question about causes of Wolf regeneration	267
З. А. Бурчалишвили.	Зигмунт Бурчалишвили о гидроцефалии и менингиомах	269
*В. Л. Канакава.	Распределение пигментных клеток в раннем онтогенезе бесхвостых амфибий	274
П. С. Чантuriashvili.	О линзообразовательных свойствах головного и туловищного эпителия малоазиатской лягушки (Rana macrostomis Blgr.)	579
*З. А. Бурчалишвили.	Мозжечковые язвы (Rana macrostomis Blgr.)	584
*P. Chanturishvili.	Lensformating properties of the head and the body epithelium of the Asiaminor frog	585

088600Л00—ФИЗИОЛОГИЯ—PHYSIOLOGY

И. Бериташвили и Л. Ципуридзе.	О спонтанной электрической активности центральной нервной системы лягушки. Сообщение второе	81
*Ю. Бериташвили.	Доктор Г. Г. Гомбовский. Биоэнергия и биоэлектричество	
П.	Биоэнергия и биоэлектричество	87

*J. Beritashvili and L. Tzkipuridze. The spontaneous electrical activity of the central nervous system of the frog. II	87
И. Бериташвили, А. Брегадзе и Л. Цкипуридзе. Электроэнцефалографические исследования. Сообщение первое.	169
*o. ბერიაშვილი, ა. ბრეგაძე და ლ. ცკიპურიძე. ელექტროენცეფალოგრაფიული გამოკვლევები. I	174
*J. Beritoff, A. Bregadze and L. Tzkipuridze. Investigations in the electroencephalography. I	175
Л. Цкипуридзе. Об участии proprioцепторов в возникновении ритмического рефлекса.	587
*ლ. ცკიპურიძე. პროპრიოცეპტორების მნიშვნელობის ზესახებ რითმული რეფლექსის წარმოშობაზე	592
*L. Tzkipuridze. On the role of the proprioceptors in the origin of rhythmic reflexes	593
L. Tzkipuridze. On the counter relation of the rheobase and chronaxie	929
*ლ. ცკიპურიძე. რეობაზისა და ქრონაქსის ურთიერთ საჭინაოღმდევო ცვლილებათა ზესახებ.	934

ვიზუალი—МЕДИЦИНА—MEDICINE

A. П. Цулукидзе. Роль бактериофага в борьбе с раневой инфекцией	467
*o. წულუკიძე. ბაქტერიოფагის როლი ჭრილობის ინფექციასთან ბრძოლაში	471
ა. ჩარგეიშვილი. დიაგნოსტიკის, მკურნალობის და ექსპერტიზის საკითხები კონტუქტულთა სმენისა და მეტყველების დაზიანების დროს	937
*A. K. Чаргейшили. Вопросы диагностики, лечения и экспертизы поражения слуха и речи у контуженных	942

ფსიქოლოგია—ПСИХОЛОГИЯ—PSYCHOLOGY

რ. ნათაძე. კლასიფიკაციის დაუფლების ძირითადი ეტაპები სასკოლო პერიოდში	275
*P. Натадзе. К развитию операции группирования в школьном периоде	281
ა. მოხიავა. ჩვენი ზეპირი თვლის ოცნებითობიდან გამომდინარე ზოგიერთი სინერგე	473
*A. Мосиава. Некоторые трудности, вытекающие из двадцатичного грузинского устного счета.	480
ბოჯავა. ასოების კითხვეთ ზექმნილი განწყობის როლი კითხვის ჩვევის მოქმედებაში	595

*З. И. Ходжава. Роль установки на чтение отдельных букв в действии навыка чтения целых слов	600
ა. მოსიავა. ჩემი ზეპირი თვლის უცოდითობიდან გამომდინარე ზოგიერთი სიმელე	945
*А. Мосиава. Некоторые трудности, вытекающие из двадцатичности грузинского устного счета	952

0107000—ИСТОРИЯ—HISTORY

ს. ჯანაშვილი. პარიადრი, სკიდისი, მოსხური მთები	603
*С. Н. Джанашвили. Приадр, Скидис, Мосхийские горы	609
ს. ჯანაშვილი. იძერის (ქართლის) სამეფოს პოლიტიკური გეოგრაფიისათვის უძველეს პერიოდში	723
*С. Н. Джанашвили. К политической географии Иберского (Картлийского) царства в древнейший период.	730
გ. გამურელიძე. საქართველოს მოსახლეობის დინამიკა 1873—1926 წლებში	731
*Г. С. Гамкрелидзе. Динамика населения Грузии в 1873—1926 гг.	737
დ. კაპანაძე. დემეტრე თავდადებულის ფულის ზედემულის შინაობისი.	849
*Д. Капанадзе. Содержание легенды медной монеты Димитрия II Самопожертвователя	851

0107000—ФИЛОЛОГИЯ—PHILOLOGY

სიმ. ყაუხეჩიშვილი. „ისტორია და აზმანი შარავანდელთანი“ და ომანე პეტრიშვილი	89
*С. Г. Каухчишилии. «История и восхваление венценосцев» и Иоанн Петрици	96

0607000—ЯЗЫКОВЕДЕНИЕ—LINGUISTICS

ქ. ქიკელიძე. „წინაშე“, „თანა“ და „ზედა“ თანდებულთა სინტაქსური ფუნქციისათვის ძველ ქირთულში. I	177
*К. С. Кекелидзе. К синтаксической функции предлогов „წინაშე“, „თანა“ и „ზედა“ в древнегрузинском. I	182
ა. ზაბიძე. ზმათა გარდამავლობის საკითხისათვის ქართველურ ენებზე. I	183
*А. Г. Шанидзе. К проблеме переходности глаголов в картвельских языках. I	188
არჩ. ჩიქობავა. მახვილის საკითხისათვის ძველ ქართულში. I	191

*Ари. Чикобава. К вопросу об ударении в древнегрузинском языке. I	198
3 л. ფანი ბერიძე. „ინფინიტივის“ ფორმათა წარმოება და მნიშვნელობა უდურ ენაში. I	199
*Вл. Панчвидзе. Образование и значение форм «инфинитива» в удинском языке. I	205
გ. როგავა. კუთვნილებითი აფიქსი ი ქართველურ ენათა ზმნისა და სახელის მორფოლოგიურ კატეგორიებში (ქცევასა და ბრუნვებში). I	207
*Г. В. Рогава. Аффикс притяжательности в морфологических категориях глагола и имени в картвельских языках. I	212
პ. პირილიძე. „წინაშე“, „თანა“ და „ზედა“ თანდებულთა სინტაქსური ფუნქციისათვის ძველ ქართულში. II	283
*К. Кекелидзе. К вопросу о синтаксической функции предлогов „წინაშე“, „თანა“ и „ზედა“ в древнегрузинском. II	287
ა. ზაბოძე. ზმნათა გარდამავლობის საკითხისათვის ქართველურ ენებში. II	289
*А. Г. Шанидзе. К проблеме переходности глаголов в картвельских языках. II	293
არ. ჩიქობაძე. მახვილის საკითხისათვის ძველ ქართულში. II	297
*Ари. Чикобава. К вопросу об ударении в древнегрузинском литературном языке. II	301
ა. ზაბოძე. მდე თანდებულის გენეზისათვის	367
*А. Г. Шанидзе. К генезису грузинского послелога mde mdis	372
არ. ჩიქობაძე. მეორე გრამატიკული კლასის („მდედრობითი სერიას“) გენეზისათვის მთის კავკასიურ ენებში	373
*Ари. Чикобава. К генезису второго грамматического класса в горских кавказских языках	379
ვაჟა-ბერიძე. საგან-სიტყვის ეტიმოლოგიისათვის	381
*В. М. Беридзе. Этимология слова «Sagani»	388
К. В. Ломтатидзе. Относительное местоимение в глагольных формах абхазского языка	389
*ქ. ლომთათიძე. მიმართებითი ნაცვალსახელი აფხაზური ზმნის ფორმებში	395
3 л. ფანი ბერიძე. „ინფინიტივის“ ფორმათა წარმოება და მნიშვნელობა უდურ ენაში. II	397
*В. Н. Панчвидзе. Образование и значение форм «инфинитива» в удинском языке. II	402
ა. ზაბოძე. წოდებითის ფორმის ადგილისათვის გრამატიკაში	481
*А. Г. Шанидзе. О месте звательной формы в грамматике	488
ქ. თოფურია. ზმნის უძველესი სუფიქსისათვის ქართულში	489
*В. Топурия. К вопросу о древнейшей суффиксации глаголов в грузинском языке	496

8. როგავა. კუთვნილებითი აფიქსი ი ქართველურ ენათა ზმნისა და ხა- ხელის მორფოლოგიურ კატეგორიებში (ქცვასა და ბრუნვებში). II	497
*Г. В. Рогава. Аффикс притяжательности в морфологических ка- тегориях глагола и имени в картвельских языках. II	501
არბ. ჩიქობავა. ისტორიულად განსხვავებული ორი მორფოლოგიუ- რი ტიპისათვის ქართულ ბრუნვათა შორის.	619
*Ари. Чикобава. Два исторически различных морфологических типа падежей в древнегрузинском литературном языке.	622
Г. В. Рогава. Абхазско-убыхско-адыгейский суффикс privativum га в мегрельском	625
*გ. როგავა. აუბაზურ-უბისურ-ადილეური გა სუფიქსი privativum მე- გრულში	629
მაკარ ხუბუა. მტკიცებითი ქო ნაწილაკის ხმარებისათვის მეგრულში	631
*М. Хубуа. К употреблению утвердительной частицы ქო და в мегрельском языке.	632
მაკარ ხუბუა. უარყოფითი ნაწილაკი ვა მეგრულში	743
*М. Хубуа. Отрицательная частица ვა в мегрельском	744
მაკარ ხუბუა. თე ნაწილაკის ბუნებისა და მნიშვნელობისათვის მე- გრულში	747
*М. Хубуа. О превербальной частице <i>te</i> в мегрельском	751
ვლ. ფაბჩიძე. ნაწილაკობი კაეშირებითი უდურ ენაში	853
*Вл. Панчвидзе. Сослагательное с частицей ყა და в удинском языке	857
К. В. Ломтатидзе. Об одной фонетической закономерности в абхазо-абазинских диалектах	861
*ქ. ლომთათიძე. ერთი ფონეტიკური კანონზომიერების შესახებ აფ- ხაზურ-აბაზურ დიალექტებში.	867
А. Г. Шанидзе. Изменение системы выражения глагольной кате- гории вида в грузинском и его последствия.	953
*ა. ზაბიძე. ასპექტის გამოხატვის სისტემის შეცვლა ქართულში და მისი შედევები.	958
გ. ახვლედიანი. ხმოვნისა და თანხმოვნის ერთმანეთისაგან გენეზი- სური განსხვავების საკითხისათვის	959
*Г. С. Ахвледiani. К вопросу о генетическом различии между гласными и согласными	963
ვ. თოფურია. მესამე ტიპის ვებითის წარმოება ქართულში	965
*В. Топурия. К образованию форм страдательного залога III ти- пса в грузинском языке.	972
ქ. ლომთათიძე. კითხვითი ფორმები აფხაზურში	973
*К. Ломтатидзе. Вопросительные формы глагола в абхазском языке	979

Оглавление третьего тома

ლიტერატურის ისტორია—ИСТОРИЯ ЛИТЕРАТУРЫ—HISTORY OF LITERATURE

Л. М. Меликет-Беков. Следы «Истории Армении» Фауста Византийского в древнегрузинской литературе	359
*ლეონ მელიქეთგეგი. ფავსტოს ბიზანტიიელის „სომხეთის ისტორიის“ კვალი ძველ ქართულ მწერლობაში	365
ქ. კიკელიძე. ძველი ლიტერატურის ძეგლთა გამოცემისათვის	739
*К. Кекелидзе. К вопросу об издании памятников древней литературы	742
ქ. კიკელიძე. როსტომიანის ერთი საკითხისათვის	845
*К. Кекелидзе. К уяснению одного вопроса из истории Ростомиани	846
Л. М. Меликет-Беков. Архетип поэмы «Хосров и Ширин» в армянской редакции VII века	1091
*ლეონ მელიქეთგეგი. პოემა „ხოსროვ და ზირინ“-ის არქეტიპი VII საუკუნის სომხურ რედაქციაში	1096

ხელოვნების ისტორია—ИСКУССТВО—HISTORY OF ARTS

Ренэ Шмерлинг. К характеристике стилистического различия двух сходных памятников разных эпох—XI и XVII вв.	611
*ჩენე შერლინგი. XI და XVII საუკუნეთა ორი მსგავსი ძეგლის სტილისტიკურ თავისებურებათა დახასიათებისათვის	618
დებულება „საქართველოს სსრ მეცნიერებათა აკადემიის მოამბის“ შესახებ	1116
Положение о «Сообщениях Академии Наук Грузинской ССР»	1117



ଶ୍ରୀମତୀ କିମ୍ବାଲୁ ପାଦମଣି
ସାହୀ, ସ୍ଵର୍ଗ ମେହିରୁ, କାନ୍ଦିଆୟିରୁ
8.4.1941 ରୁ 2.4.1942

1. „მოამბეში“ იძევებდა საქართველოს სსრ მეცნიერებათა აკადემიის მეცნიერ მუშაკებისა და სხვა მეცნიერთა წერილები, რომლებშიც მოყვედ გადმოცემულია მათი გამოკლელების მთავარი შედეგები.
 2. „მოამბე“ ხელმისაწვდომის სარედაქტოორ კოლეგია, რომელსაც ირჩევს საქართველოს სსრ მეცნიერებათა აკადემიის საერთო კრება.
 3. „მოამბე“ გამოდის ყოველთვიურად (თვის ბოლოს), გარდა იღლის-აგვისტოს თვისა—ცალკე ნაკეთობად დაახლოებით 6 ბეჭდური თაბაზის მოცულობით თვითეული. ერთი შლის ჯველა ნაკეთი (სულ 10 ნაცვეთი) შეადგინს ერთ ტომის.
 4. წერილები იძევებდა ერთორთს შემდეგ ენაზე: ქართულად, რუსულად, ფრანგულად, ინგლისურად, გერმანულად. ყველა წერილებს, გარდა წერილების ქართულ ენაზე, აუცილებლად უნდა დაერთოს რეზუმე ქართულ ენაზე. ქართულ წერილებს აუცილებლად უნდა დაერთოს რეზუმე რუსულ ენაზე. წერილებს შეიძლება დაერთოს აგრძელე რეზუმე რომელიმე ზემოთ დასახელებულ ენაზე, აეტორის სურვილის მიხედვით.
 5. წერილის მოცულობა, რეზუმეს და ილუსტრაციების ჩათვლით, არ უნდა აღმატებოდეთ ნახევარ სააგრძოლო თაბაზს (20 ათასი ბეჭდური ნიშანი). ძირითადი ტექსტისა და რეზუმეს მოცულობის შეფარდებას განსაზღვრავს თვით აეტორი. კერძოდ, რეზუმე წერილება შეცვლილი იყოს მთლიან თარგმანით, თუ კი წერილის და თარგმანის საერთო ზომა არ აღმატება ზემოთაღიშნულ ნორმას.
 6. არ შეიძლება წერილების დაყოფა ნაწილებათ სხვადასხვა ნაკეთობებით გამოსაქვეყნებლად.
 7. „მოამბეში“ დასაბეჭდი წერილები უნდა გადაეცეს რედაქტორის მი ატრიექტისათვის, რომლებიც სამეცნიერო აკადემიის სამდგრავი წერილები არიან, რედაქტორი განსაზღვრავს მხოლოდ დაბეჭდების მორიგეობას. დანარჩენი აეტორების წერილები კი, როგორც წესი, გადაეცემა რედაქტორების მიერ სარეცეპტოიდ აკადემიის რომელიმე ნამდგრილ წევრს ან სათანადო დარგის რომელიმე სხვა სპეციალისტს, რის შემდეგ დაბეჭდების საკითხს გადასუვარეს რედაქტორებისა.
 8. წერილები თავისი რეზუმეთი და ილუსტრაციებით წარმოდგენილი უნდა იქნეს აეტორის მიერ საესპიით გამსახურებული დასაბეჭდდად. ფორმულები მკაფიოდ უნდა იყოს ტექსტში ჩაწერილი ხელით. წერილის დასაბეჭდდად მიღების შემდეგ ტექსტში არავითარი შესწორებისა და დამატების შეტანა არ დაიშვება.
 9. ციტირებული ლიტერატურის შესახებ მონაცემები უნდა იყოს შეძლებისდაგვარად სრული: საგიროო აღინიშნოს უზრნალის სახელწოდება, ნომერი სერიისა, ტომისა, ნაკეთისა, გამოცემის წლის, წერილის სრული სათაური; თუ ციტირებულია წიგნი, საკალდებულია ნერნება წიგნის სრული სახელწოდებისა, გამოცემის წლისა და ადგილისა.
 10. ციტირებული ლიტერატურის დასახელება ერთვის წერილს ბოლოში სიის საშიოთ. ლიტერატურაზე მითითებისას ტექსტში ან შენიშვნებში ნაჩერები უნდა იქნეს ნომერი სიის მიხედვით, ჩასმული კვადრატულ ფრჩხილებში.
 11. წერილის ტექსტისა და რეზუმეს ბოლოს აეტორმა უნდა აღინიშნოს სათანადო ენებებს დასახელება და ადგილმდებარებას დაწესებულებისა, რომელშიაც შესრულებულია ნაშრომი. წერილი თარიღდება რედაქტორის შემოსალის დღით.
 12. აეტორს ეძღვავა ერთა კორექტორა გვერდებად შეკრული მკაფიად განსაზღვრული გადით (ჩვეულებრივად, არა უმეტეს ერთი დღისა). დაუკავშირ გადისათვის კორექტორის წარმოუზღვნებლობის შემთხვევაში რედაქტორის უფლება აქვს წერილი დაბეჭდის აეტორის ვიზის გარეშე.
 13. აეტორს უფასოდ ეძღვავა მისი წერილის 50 ამონაბეჭდი და ერთი ცალი. „მოამბეშის“ ნახითისა რომილშემაც მისი წერილის მიღთასებული.



У Т В Е Р Ж Д Е Н О П О Д П Р О Г Р АМ

Президиумом Академии Наук Грузинской ССР

8.4.1941 и 2.4.1942

ПОЛОЖЕНИЕ О «СООБЩЕНИЯХ АКАДЕМИИ НАУК ГРУЗИНСКОЙ ССР»

1. В «Сообщениях» помещаются статьи научных работников Академии Наук Грузинской ССР и других ученых, содержащие сжатое изложение наиболее существенных результатов их исследований.

2. «Сообщениями» руководит Редакционная коллегия, избираемая Общим Собранием Академии Наук Грузинской ССР.

3. «Сообщения» выходят ежемесячно (в конце каждого месяца), за исключением июля и августа, выпусками около 6 печ. листов каждый. Совокупность выпусков за год (всего 10 выпусков) составляет один том.

4. Статьи печатаются на одном из следующих языков: грузинском, русском, французском, английском, немецком. Все статьи, кроме статей на грузинском языке, обязательно снабжаются резюме на грузинском языке. Статьи на грузинском языке обязательно снабжаются резюме на русском языке. Статьи могут быть также снабжены резюме на любом из вышепазванных языков, по желанию автора.

5. Размер статьи, включая резюме и иллюстрации, не должен превышать половины авторского листа (20 тыс. печ. знаков). Соотношение размеров основного текста и резюме определяется самим автором. В частности, резюме может быть заменено полным переводом, при условии, чтобы общий размер статьи и перевода не превышал указанной выше нормы.

6. Разделение статей на части для напечатания в различных выпусках не допускается.

7. Статьи, предназначаемые к напечатанию в «Сообщениях», направляются в Редакцию, которая для авторов, являющихся действительными членами Академии Наук, лишь устанавливает очередность публикаций. Статьи же остальных авторов, как правило, передаются Редколлегией для отзыва одному из действительных членов Академии Наук или же какому-либо другому специалисту по данной области, после чего вопрос о напечатании статьи решается Редколлегией.

8. Статьи должны представляться автором в совершенно готовом для печати виде, вместе с резюме и иллюстрациями. Формулы должны быть четко вписаны от руки. Никакие исправления и добавления после принятия статьи к печати не допускаются.

9. Данные о цитируемой литературе должны быть возможно полными: необходимо указывать название журнала, номер серии, тома, выпуска, год издания, полное заглавие статьи; если цитируется книга, то необходимо указать полное заглавие, год и место издания.

10. Цитируемая литература должна приводиться в конце статьи в виде списка. При ссылке на литературу в тексте статьи или в подстрочных примечаниях, следует указывать номер по списку, заключая его в квадратные скобки.

11. В конце статьи и резюме авторы должны указывать, на соответствующих языках, местонахождение и название учреждения, в котором проведена работа. Статья датируется днем поступления в редакцию.

12. Автору предоставляется одна корректура в сверстанном виде на строго ограниченный срок (обычно не более суток). В случае невозврата корректуры к сроку, редакция вправе печатать статью без авторской визы.

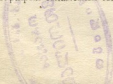
13. Авторы получают бесплатно 50 оттисков своей статьи и выпуск «Сообщений», содержащий эту статью.

Адрес редакции: Тбилиси, ул. Дзержинского, 8.

Ответственный редактор акад. Н. И. Мусхелишвили

Подписана к печати последняя форма 13.2.1943 г. Объем 9 печ лист. Авторских лист. 11,75
Колич. тип. зн. в 1 печ. листе 52.000. УЭ 0531 Заказ № 734 Тираж 600 экз.

Типография Академии Наук Грузинской ССР, Тбилиси, улица А. Церетели, 7.



О. Е. Звягинцев и Ш. Н. Мататашвили. Кристаллоакоголиты галоидные солей двухвалентного кобальта	1035
*М. Чхеидзе и Г. Г. Гомиашвили. Орнаментированный кремний в зоне диффузии борной кислоты	1041
80 ГЛАВА—МЕТАЛЛУРГИЯ—METALLURGY	
Э. С. Саркисов. О жаростойкости парокромовых покрытий	1043
*Д. Саджинидзе. Химический анализ керамических материалов для изготовления керамической посуды	1048
30 ГЛАВА—ПЕТРОГРАФИЯ—PETROGRAPHY	
Б. Сачинский. Флюсовые породы северо-запада Грузии	1049
*Н. И. Схириладзе. О тектониках Западной Грузии	1053
30 ГЛАВА—БОТАНИКА—BOTANY	
Анна Шаман. Новые данные о познании кавказских постенни	1057
*С. Шебабин. Акации Грузии	1062
М. Эквтимишвили. Новые для флоры Кавказа виды рода Vicia	1065
*В. Геворгов. Виды Vicia из Кавказа	1071
В. Чхеидзе. Борная кислота	1073
*Н. М. Чрезашвили и Л. М. Василевская. К использованию ели восточ- ной и пихты кавказской в качестве дубильного сырья	1075
80 ГЛАВА—ЗООЛОГИЯ—ZOOLOGY	
С. М. Юзбашян. К изучению фауны Niphargus в Грузии	1077
*И. Озбадзе. Систематика Niphargus из Грузии	1082
*S. Jashashvili. On the fauna of Niphargus in Georgia	1083
*В. Геворгов. Sciurus anomalus Gmel. Виды Sciurus из Грузии	1085
*С. Эквтимишвили. К вопросу о систематическом положении Sciurus apo- malus Gmel.	1089
40 ГЛАВА—ИСТОРИЯ ЛИТЕРАТУРЫ—HISTORY OF LITERATURE	
Л. М. Меликет-Беков. Архетип поэмы «Хосров и Ширин» в армянской ре- лакции VII века	1091
*Ш. Гурашвили. Земельные земельные участки VII века	1096

4/186

№ 60 3 1946.
ЦЕНА 3 РУБ.

У Т В Е Р Ж Д Е Н О

Президиумом Академии Наук Грузинской ССР

8.4.1941 и 2.4.1942

ПОЛОЖЕНИЕ О «СООБЩЕНИЯХ АКАДЕМИИ НАУК ГРУЗИНСКОЙ ССР»

1. В «Сообщениях» помещаются статьи научных работников Академии Наук Грузинской ССР и других ученых, содержащие скратное изложение наиболее существенных результатов их исследований.

2. «Сообщениями» руководят Редакционная коллегия, избираемая Обшим Собранием Академии Наук Грузинской ССР.

3. «Сообщения» выходят ежемесячно (в конце каждого месяца), за исключением июля и августа, выпусками около 6 печ. листов каждый. Совокупность выпусков за год (всего 10 выпусков) составляет один том.

4. Статьи печатаются на одном из следующих языков: грузинском, русском, французском, английском, немецком. Все статьи, кроме статей на грузинском языке, обязательно снабжаются резюме на грузинском языке. Статьи на грузинском языке обязательно снабжаются резюме на русском языке. Статьи могут быть также снабжены резюме на любом из вышеперечисленных языков, по желанию автора.

5. Размер статьи, включая резюме и иллюстрации, не должен превышать половины авторского листа (20 тыс. печ. знаков). Соотношение размеров основного текста и резюме определяется самим автором. В частности, резюме может быть заменено полным переводом, при условии, чтобы общий размер статьи и перевода не превышил указанной выше нормы.

6. Разделение статей на части для напечатания в различных выпусках не допускается.

7. Статьи, предназначаемые к напечатанию в «Сообщениях», направляются в Редакцию, которая для авторов, являющихся действительными членами Академии Наук, лишь устанавливает очередность публикации. Статьи же остальных авторов, как правило, передаются Редколлегией для отзыва лицу из действительных членов Академии Наук или же какому-либо другому специалисту по данной области, после чего вопрос о напечатании статьи решается Редколлегией.

8. Статьи должны представляться автором в совершенно готовом для печати виде, вместе с резюме и иллюстрациями. Формулы должны быть четко вписаны от руки. Никакие исправления и добавления после принятия статьи к печати не допускаются.

9. Данные о цитируемой литературе должны быть возможно полными: необходимо указывать название журнала, номер серии, тома, выпуска, год издания, полное заглавие статьи; если цитируется книга, то необходимо указать полное заглавие, год и место издания.

10. Цитируемая литература должна приводиться в конце статьи в виде списка. При ссылке на литературу в тексте статьи или в подстрочных примечаниях, следует указывать номер по списку, заключая его в квадратные скобки.

11. В конце статьи и резюме авторы должны указывать, на соответствующих навыках, местонахождение и название учреждения, в котором проведена работа. Статья датируется днем поступления в редакцию.

12. Автору предоставляется одна корректура в сверстанном виде на строго ограниченный срок (обычно не более суток). В случае невозврата корректуры к сроку редакция вправе печатать статью без авторской визы.

13. Авторы получают бесплатно 50 оттисков своей статьи и выпуск «Сообщений», содержащий эту статью.

Адрес редакции: Тбилиси, ул. Дзержинского, 8.